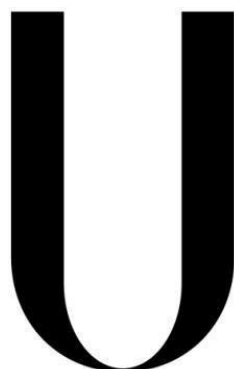


Universidade de Lisboa
Faculdade de Medicina Dentária



LISBOA

UNIVERSIDADE
DE LISBOA

**Validação do Método de Nolla e de Moorrees na Estimativa da Idade
Dentária numa População Portuguesa dos 17 aos 23 anos**

Rodrigo Manuel Guerreiro da Silva

Orientadores:

Professora Doutora Cristiana Maria Palmela Pereira

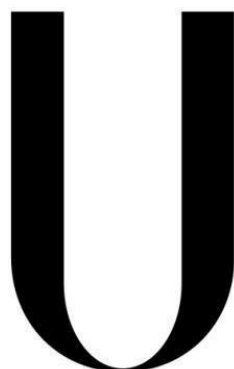
Professor Doutor Rui Filipe Vargas de Sousa Santos

Dissertação

Mestrado Integrado em Medicina Dentária

2020

Universidade de Lisboa
Faculdade de Medicina Dentária



LISBOA

UNIVERSIDADE
DE LISBOA

**Validação do Método de Nolla e de Moorrees na Estimativa da Idade
Dentária numa População Portuguesa dos 17 aos 23 anos**

Rodrigo Manuel Guerreiro da Silva

Orientadores:

Professora Doutora Cristiana Maria Palmela Pereira

Professor Doutor Rui Filipe Vargas de Sousa Santos

Dissertação

Mestrado integrado em Medicina Dentária

2020

Validação do Método de Nolla e de Moorrees na Estimativa da Idade Dentária numa População Portuguesa dos 17
aos 23 anos

AGRADECIMENTOS

Em primeiro lugar, à minha Orientadora **Professora Doutora Cristiana Palmela Pereira**. Após dezassete anos no Regimento de Comandos e quatro missões no Âmbito da NATO e da ONU, tinha como verdade absoluta que, valores como **Disciplina, Espírito de Missão, Lealdade e Honra**, apenas os encontraria, no seu exponente máximo, nas **Forças Armadas**. Estava errado. Uma vez mais a vida encarregou-se de me ensinar mais uma lição, tendo encontrado todos estes valores nesta Professora de elevada Craveira, sendo os mesmos apenas ultrapassados, pela sua vontade de ensinar, e de preparar os seus alunos não só para vida académica, como para o resto das suas vidas. Do fundo do meu coração, obrigado!

Ao meu Coorientador, **Professor Doutor Rui Santos**, pela sua paciência, dedicação inextinguível, prejudicando a sua vida familiar em prol dos seus alunos, o meu muito obrigado.

Ao Diretor do Hospital das Forças Armadas, pólo de Lisboa, **Brigadeiro General Rui Sousa**, pelo facto de, em alturas difíceis devido a Pandemia Covid -19, nunca ter regateado esforços no apoio académico.

Ao meu Comandante, no Teatro de Operações do Afeganistão, **Coronel de Cavalaria José Torcato**, por reconhecer o seu exemplo de líder no âmbito militar, superado pelas suas qualidades humanas, sempre motivando-me e aprendendo com o seu exemplo.

Às minhas Colegas, **Diana, Adriana, Carla, Joana e Cátia**, por me terem recebido na sua equipa e no seu meio, nunca me virando as costas.

Uma palavra especial à **Ana Rodrigues**, pela sua eterna amizade, carinho e camaradagem que revelou ao longo desta jornada final.

À minha Dupla **Daniela Peixoto**, que me acompanha desde os primeiros dias nesta Faculdade, às inúmeras lutas que travámos e sacrifícios que fizemos nesta longa jornada!

À minha mulher **Cláudia**, sempre presente com o seu amor, ao longo de tantos sacrifícios e dificuldades que passámos juntos. Para ti meu eterno **amor**.

E por último, mas não menos importante, à pessoa a quem devo a minha educação como homem, e a minha vida enquanto pessoa, que sozinha criou dois filhos, com poucas condições económicas. Esperando um dia conseguir ser metade do Homem que é, um abraço de eterno amor ao meu **Pai Délio Guerreiro da Silva**.

RESUMO

Introdução: Nas ciências forenses, a estimativa de idade é uma das principais áreas de investigação científica. Na área médico-legal, a estimativa de idade é importante na identificação individual.

Objetivo: O objetivo principal desta investigação consistiu em estimar a idade cronológica de uma população portuguesa entre os 17 e os 23 anos, através da aplicação de metodologias morfológicas aplicadas aos terceiros molares, métodos de Nolla e Moorrees, de forma a verificar qual dos métodos apresenta maior precisão na estimativa da idade dentária.

Materiais e Métodos: Foram selecionadas 348 ortopantomografias numa população dos 12 aos 23 anos dividida em dois grupos etários, dos 12 aos 16 anos e dos 17 aos 23 anos. Foram aplicados os métodos de Nolla e Moorrees para o cálculo da estimativa de idade.

Resultados e Discussão: O coeficiente kappa ponderado de Cohen varia entre 0,848 e 0,923. Os resultados mostraram que os métodos estimam a idade sem diferenças estatisticamente significativas com a idade cronológica. O coeficiente de determinação ajustado para o método de Moorrees é 0,732, para o método de Nolla é de 0,739 e para os dois métodos juntos é de 0,735. Quando comparamos as estimativas de idade pelos dois métodos existem diferenças estatisticamente significativas. Na comparação dos erros entre os dois grupos etários, para o grupo dos 12 aos 16 anos de idade há uma subestimação de aproximadamente 5 meses, no grupo do estudo dos 17 aos 23 anos de idade há uma sobrestimação média de 7,5 meses. Deste modo, há diferenças estatisticamente significativas entre os dois subgrupos.

Conclusão: Conclui-se que os estádios de Nolla e de Moorrees aplicado ao terceiro molar fornecem uma estimativa da idade cronológica na população portuguesa dos 17 aos 23 anos de idade para aplicação médico-legal, apesar de se verificar uma ligeira sobrestimação da idade.

PALAVRAS-CHAVE: Medicina Dentária Forense; Estimativa forense da idade; Método Nolla; Método Moorrees.

ABSTRACT

Introduction: In forensic sciences, age assessment is one of the main fields of research. In the medico-legal area, age estimation is important on individual identification.

Objective: The aim of the present research was to estimate the chronological age of a Portuguese population between 17 and 23 years old, through the application of morphological methodologies applied to third molars - Nolla and Moorrees methods - in order to verify which of the methods has higher accuracy on dental age assessment.

Materials and Methods: The total sample consisted of 348 orthopantomographies aged between 12 and 23 years old. Nolla and Moorrees' age estimation methods were applied by the 2 subgroups: 12 until 16 years and 17 and 23 years.

Results and Discussion: Cohen's weighted kappa coefficient varies between 0.848 and 0.923. The results showed that both methods estimate the age without statistically significant differences with chronological age. The adjusted coefficient of determination for the Moorrees method is 0.732, for the Nolla method it is 0.739 and for the two methods together it is 0.735. When comparing age estimation by the two methods, there are statistically significant differences between them. In the comparison of errors between the two groups, for the 12 to 16 years old group there is an underestimation of approximately 5 months, in the study group between 17 and 23 years old there is an overestimation of 7.5 months. There are statistically significant differences between the two subgroups.

Conclusions: Both methods are applicable in the Portuguese population between 17 and 23 years by the lower third molar. These methods can be used for assessing age in forensic as well as legal contexts, despite a slight overestimation of age.

.

KEYWORDS: Forensic Dentistry; Forensic age estimation; Nolla method; Moorrees method.

ÍNDICE

AGRADECIMENTOS	iii
RESUMO	iv
ABSTRACT	v
ÍNDICE	vi
ÍNDICE DE TABELAS	x
ÍNDICE DE GRÁFICOS	xi
LISTA DE ABREVIATURAS E SIGLAS	xii
1. INTRODUÇÃO	1
1.1 Considerações finais	2
2. OBJETIVOS	3
2.1 Objetivos principais	3
2.1.1 Para o método de Nolla	3
2.1.2 Para o método de Moorrees	3
2.2 Objetivos secundários	3
2.2.1 Comparação das estimativas de idade pelo método de Nolla e pelo método de Moorrees	4
2.2.2 Comparação da estimativa de idade pelo método de Nolla no grupo dos 12 aos 16 anos e no grupo dos 17 aos 23 anos de idade	4
2.2.3 Comparação das estimativas de idade pelo método de Moorrees no grupo dos 12 aos 16 anos e no grupo dos 17 aos 23 anos de idade	4
2.2.4 Comparação da estimativa de idade pelos métodos de Nolla e Moorrees do nosso estudo e pelo método de Demirjian do estudo do índice do terceiro molar na mesma população	4
2.2.5 Comparação da estimativa de idade pelos métodos de Nolla e Moorrees do nosso estudo e pelo método de índice do terceiro molar do estudo do índice do terceiro molar na mesma população	5
2.3 Objetivo final	5

3. MATERIAIS E MÉTODOS	6
3.1 Delineamento experimental	6
3.2 Amostra populacional.....	6
3.2.1 Parâmetros identificativos	6
3.2.2 Parâmetros dentários.....	6
3.2.3 Parâmetros sistémicos.....	7
3.3 Metodologia de recolha de dados	7
3.4 Metodologia de validação de dados.....	8
3.4.1 Validação intra-observador.....	8
3.5 Análise estatística de dados	9
4. RESULTADOS.....	10
4.1 Validação dos dados	10
4.2 Caracterização da amostra	10
4.3 Estimativa de idade pelo estágio de Nolla.....	11
4.4 Estimação da idade pelo estágio de Moorrees	13
4.5 Estimação da idade pelo estágio de Nolla e pelo estágio de Moorrees	14
4.6 Comparação entre as estimativas de Nolla e as de Moorrees.....	15
4.7 Estimação da idade de Nolla e de Moorrees, por sexo	16
4.8 Estimação da idade de Nolla e de Moorrees, por faixa etária (12 aos 16 anos e 17 aos 23 anos)	16
4.9 Comparação das estimativas de Nolla e Moorrees com as obtidas com os estádios de Demirjian ...	17
4.10 Comparação das estimativas de Nolla e Moorrees com as obtidas pelo índice de maturidade do terceiro molar.....	18
5. DISCUSSÃO	20
5.1 Validação dos dados	20
5.2 Caracterização da amostra	20
5.3 Estimativa de idade pelo estágio de Nolla.....	21
5.4 Estimação da idade pelo estágio de Moorrees	21
5.5 Estimação da idade pelo estágio de Nolla e pelo estágio de Moorrees	22
5.6 Comparação entre as estimativas de Nolla e as de Moorrees.....	22
5.7 Estimação da idade de Nolla e de Moorrees, por sexo	23

5.8 Estimação da idade de Nolla e de Moorrees, por faixa etária (12 aos 16 anos e 17 aos 23 anos)	24
5.9 Comparação das estimativas de Nolla e Moorrees com as obtidas com os estádios de Demirjian ...	24
5.10 Comparação das estimativas de Nolla e Moorrees com as obtidas pelo índice de maturidade do terceiro molar	24
6. CONCLUSÕES	26
6.1 Conclusões relativas aos objetivos principais	26
6.2 Conclusões relativas aos objetivos secundários	26
6.3 Conclusões gerais	27
REFERÊNCIAS BIBLIOGRÁFICAS.....	28
ANEXOS	32
Anexo 1 – Cartas de pedido de autorização	32
I - Carta para o Diretor do Hospital das Forças Armadas- Pólo de Lisboa	33
II - Carta para o Presidente da Comissão de Ética do Hospital das Forças Armadas- Pólo de Lisboa.....	34
III - Carta da Comissão de Ética Hospital das Forças Armadas- Pólo de Lisboa	35
Anexo 2 – Classificação de estádios dentários de Nolla ⁽¹²⁾	36
Anexo 3 – Classificação de estádios dentários de Moorrees ⁽¹³⁾	37
Anexo 4 – Aplicação do método Nolla e Moorrees	38
Anexo 5 – Editor de <i>IBM SPSS</i> ®	39
Anexo 6 – Validação de dados	75
I – Validação intra-observador	76
Anexo 7 – Caracterização da amostra	79
I – Caracterização da amostra por Pacientes	80
II – Caracterização da amostra por idade (meses) e Género	81
III – Caracterização da amostra por idades (anos) e OPG.....	82
Anexo 8 – Estimação da idade pelo estádio de Nolla.....	83
I – Tabulação cruzada Dente 38 e 48 - estádios de Nolla, Género do paciente	84
II – Tabulação cruzada Dente 38 - estádios de Nolla, Dente 48 - estádios de Nolla.....	86

III – Regressão linear e variáveis artificiais (dummy)	87
Anexo 9 – Estimação da idade pelo estágio de Moorrees	89
I – Tabulação cruzada Dente 38 e 48 - estádios de Moorrees, Género do paciente	90
II – Tabulação cruzada Dente 38 - estádios de Moorrees, Dente 48 - estádios de Moorrees	92
III – Regressão linear e variáveis artificiais (dummy)	93
Anexo 10 – Estimação da idade pelo estágio de Nolla e pelo estágio de Moorrees	94
I – Tabulação cruzada Dente 38 - estágio de Moorrees * Dente 38 - estágio de Nolla...	96
II – Correlações entre Dente 38 - estágio de Moorrees * Dente 38 - estágio de Nolla.....	97
III – Regressão linear e variáveis artificiais	98
Anexo 11 – Comparação entre as estimativas de Nolla e as de Moorrees	102
Anexo 12 – Estimação da idade de Nolla e de Moorrees, por sexo	107
Anexo 13 – Estimação da idade de Nolla e de Moorrees, por faixa etária (12 aos 16 anos e 17 aos 23 anos)	113
Anexo 14 – Comparação das estimativas de Nolla e Moorrees com as obtidas com os estádios de Demirjian	115
Anexo 15 – Comparação das estimativas de Nolla e Moorrees com as obtidas pelo índice de maturidade do terceiro molar.....	119

ÍNDICE DE TABELAS

Tabela 1 – κ e ρ obtidos na validação intra-observador 10

Tabela 2 – Erro de estimativa e em termos absolutos 17

ÍNDICE DE GRÁFICOS

Gráfico 1 - Distribuição das ortopantomografias por sexo	11
Gráfico 2 – Comparação de idade cronológica (em anos) com os estádios do Método Nolla.....	12
Gráfico 3 – Gráfico disperso simples de estimativa Nolla por idade (em meses) na data da OPG por dente 38- estádios de Nolla.....	12
Gráfico 4 – Gráfico em barra empilhada de idade (anos) na data da OPG por dente 38- estágio de Moorrees	13
Gráfico 5 – Gráfico disperso simples de estimativa Moorrees por idade (meses) na data da OPG por dente 38- estágio Moorrees	14
Gráfico 6 – Gráfico disperso de estimativa Nolla/Moorrees por idade (em meses) na data do OPG.....	15

LISTA DE ABREVIATURAS E SIGLAS

MDF – Medicina Dentária Forense

CF – Ciências Forenses

OPG – Ortopantomografia

FMDUL – Faculdade de Medicina Dentária da Universidade de Lisboa

R^2 – Coeficiente de Determinação

N – Frequência Absoluta

κ – Coeficiente kappa ponderado de Cohen

SEE – Standard Error of the Estimate (Desvio Padrão do Erro de Estimativa)

NATO – Organização do Tratado do Atlântico Norte

HFAR – Hospital das Forças Armadas Pólo de Lisboa

ONU – Organização das Nações Unidas

EXE – Exército

1. INTRODUÇÃO

O conhecimento da idade cronológica é fundamental na prática clínica da Medicina Dentária nos tratamentos realizados na Odontopediatria, na Medicina Dentária Preventiva e na Ortodontia. Contudo, é no contexto médico-legal que se torna única e com aplicação à norma. ⁽¹⁻⁵⁾

A idade cronológica de um indivíduo refere-se ao tempo decorrido desde o seu nascimento até um determinado momento no tempo. Nas situações médico-legais em que esta é desconhecida ou ocultada utilizam-se métodos biológicos para a sua estimativa. ⁽⁶⁾ Assim, a estimativa da idade de um indivíduo subadulto é obtida por comparação do estágio de desenvolvimento de um sistema ou órgão com tabelas e gráficos resultantes da compilação de dados de um grande número de indivíduos de idade conhecida. ⁽⁶⁾

Vários indicadores têm sido usados para estimar a idade: maturação somática, caracteres sexuais secundários, desenvolvimento esquelético e dentário. ⁽⁷⁻⁸⁾ O desenvolvimento dentário, por ser minimamente afetado por fatores ambientais, endócrinos e genéticos, é o indicador que apresenta menor variação em relação à idade cronológica. ⁽⁹⁻¹⁰⁾

Os métodos de estimativa da idade em crianças e adolescentes são variados e baseiam-se, maioritariamente, na observação dos estádios morfológicos de mineralização e erupção dentária. ⁽⁹⁻¹⁰⁾

Em 1960, Nolla publica um estudo no qual estão descritos os diferentes estádios de mineralização com o objetivo de atribuir a cada estágio uma idade real ⁽¹⁵⁾. A autora observou que todos os dentes passam pelos mesmos estádios de mineralização, sendo então possível estimar a idade dentária com base no estágio de mineralização em que determinado dente se encontra. Neste método, são abrangidos todos os dentes permanentes, tanto da mandíbula como da maxila, tendo sido determinados dez estádios de mineralização desde o início da formação da coroa até ao encerramento apical. ⁽¹²⁾

Outro método morfológico de 1963, que se baseia na mineralização e erupção dentária é o método desenhado por Moorrees. ⁽¹³⁾ Este método apresenta esquemas de desenvolvimento dentários, para dentes monorradiculares, ilustrando 13 estádios e outro para os dentes multirradiculares com 14 estádios de desenvolvimento.

1.1 Considerações finais

O objetivo final deste estudo consistiu na validação dos estádios de Nolla e de Moorrees no 3.º molar inferior, recorrendo a radiografias panorâmicas numa população portuguesa entre os 17 e os 23 anos, de forma a verificar a precisão dos métodos morfológicos na estimativa da idade dentária para aplicação em situações médico-legais.

2. OBJETIVOS

2.1 Objetivo principal

O objetivo principal desta investigação consistiu em estimar a idade cronológica de uma população portuguesa entre os 17 e os 23 anos, no âmbito da identificação médico-legal, através da aplicação dos Métodos de Nolla e de Moorrees contemplando os terceiros molares mandibulares com base na análise de radiografias panorâmicas. Para tal foram formuladas as seguintes hipóteses experimentais:

2.1.1 Para o método de Nolla:

H0: Não há diferenças estatisticamente significativas entre a idade cronológica e a idade dentária estimada pelo método de Nolla nos terceiros molares mandibulares.

H1: Há diferenças estatisticamente significativas entre a idade cronológica e a idade dentária estimada pelo método de Nolla nos terceiros molares mandibulares.

2.1.2 Para o método de Moorrees:

H0: Não há diferenças estatisticamente significativas entre a idade cronológica e a idade dentária estimada pelo método de Moorrees nos terceiros molares mandibulares.

H1: Há diferenças estatisticamente significativas entre a idade cronológica e a idade dentária estimada pelo método de Moorrees nos terceiros molares mandibulares.

2.2 Objetivos secundários

Os objetivos secundários desta investigação consistiram em comparar as duas metodologias de estimação da idade e determinar qual a mais precisa quando aplicadas a uma população portuguesa subadulta; comparar a aplicação dos métodos no intervalo de idades do estudo e o intervalo de idades inferior; comparar as metodologias deste estudo com as metodologias do estudo do índice do 3.º molar e do Demirjian à mesma população. Estes objetivos resultaram na formulação das seguintes hipóteses experimentais:

2.2.1 Comparação das estimativas de idade pelo método de Nolla e pelo método de Moorrees

H0: A estimativa da idade cronológica pelo método de Nolla não apresenta diferenças estatisticamente significativas da estimativa da idade pelo método de Moorrees.

H1: A estimativa da idade cronológica pelo método de Nolla apresenta diferenças estatisticamente significativas da estimativa da idade pelo método de Moorrees.

2.2.2 Comparação da estimativa de idade pelo método de Nolla no grupo dos 12 aos 16 anos e no grupo dos 17 aos 23 anos de idade

H0: Não há diferenças estatisticamente significativas entre a idade estimada pelo método de Nolla na população dos 12 aos 16 anos de idade e na população dos 17 aos 23 anos de idade.

H1: Há diferenças estatisticamente significativas entre a idade estimada pelo método de Nolla na população dos 12 aos 16 anos de idade e na população dos 17 aos 23 anos de idade.

2.2.3 Comparação das estimativas de idade pelo método de Moorrees no grupo dos 12 aos 16 anos e no grupo dos 17 aos 23 anos de idade

H0: Não há diferenças estatisticamente significativas entre a idade estimada pelo método de Moorrees na população dos 12 aos 16 anos de idade e na população dos 17 aos 23 anos de idade.

H1: Há diferenças estatisticamente significativas entre a idade estimada pelo método de Moorrees na população dos 12 aos 16 anos de idade e na população dos 17 aos 23 anos de idade.

2.2.4 Comparação da estimativa de idade pelos métodos de Nolla e Moorrees do nosso estudo e pelo método de Demirjian do estudo do índice do terceiro molar na mesma população

H0: A estimativa da idade cronológica pelo método de Nolla e de Moorrees não apresenta diferenças estatisticamente significativas da estimativa da idade pelo método de Demirjian.

H1: A estimativa da idade cronológica pelo método de Nolla e de Moorrees apresenta diferenças estatisticamente significativas da estimativa da idade pelo método de Demirjian.

2.2.5 Comparação da estimativa de idade pelos métodos de Nolla e Moorrees do nosso estudo e pelo método de índice do terceiro molar do estudo do índice do terceiro molar na mesma população

H0: A estimativa da idade cronológica pelo método de Nolla e de Moorrees não apresenta diferenças estatisticamente significativas da estimativa da idade pelo índice do terceiro molar.

H1: A estimativa da idade cronológica pelo método de Nolla e de Moorrees apresenta diferenças estatisticamente significativas da estimativa da idade pelo índice do terceiro molar.

2.3 Objetivo final

O objetivo final deste estudo foi validar os estádios de Nolla e de Moorrees para estimar a idade numa população portuguesa dos 17 anos de idade aos 23 anos de idade, na área médico-legal.

3. MATERIAIS E MÉTODOS

3.1 Delineamento experimental

O estudo foi delineado para ser realizado no Hospital das Forças Armadas Pólo de Lisboa (HFAR-PL), mas devido as contingências da Pandemia Covid-19, e da implementação do estado de emergência e de contingência, e face às características próprias do HFAR-PL, todos os seus recursos foram direcionados unicamente para o apoio as populações, e o estudo não foi realizado. Assim, foi usada uma amostra de conveniência, que foi a amostra selecionada pelo estudo do índice do terceiro molar do Serviço de Estomatologia do Centro Hospitalar Universitário Lisboa Norte, EPE. A população alvo do estudo foi constituída por pacientes do Centro Hospitalar Universitário Lisboa Norte, cuja ficha clínica se encontrava disponível para consulta e que continha associado ao seu processo um exame complementar de diagnóstico – OPG.

O protocolo experimental foi elaborado e enviado para o Diretor do HFAR-PL e para o Presidente da Comissão de Ética do HFAR-PL, tendo em conta o delineamento experimental inicial, o que obteve parecer favorável (Anexo 1).

3.2 Amostra populacional

Da população alvo selecionada e avaliada pelo estudo do índice do terceiro molar, foi selecionada uma amostra populacional para o presente estudo pela observação e análise das OPG e cuja seleção se baseou nos seguintes critérios de inclusão:

3.2.1 Parâmetros identificativos:

- ✓ Idade compreendida entre os 12 e os 23 anos.

3.2.2 Parâmetros dentários:

- ✓ Presença do terceiro molar em todos os quadrantes inferiores;
- ✓ Ausência de tratamento endodôntico prévio realizado nos terceiros molares inferiores;
- ✓ Ausência de lesões de cárie ou restaurações nos terceiros molares inferiores;
- ✓ Ausência de anomalias dentárias congénitas de forma e de posição nos

terceiros molares inferiores;

- ✓ Ausência de sobreposições dentárias ao nível dos terceiros molares inferiores radiograficamente.

3.2.3 Parâmetros sistémicos:

- ✓ Ausência de patologias sistémicas e/ou síndromes.

3.3 Metodologia de recolha de dados

A listagem de pacientes Centro Hospitalar Universitário Lisboa Norte, EPE, com exames imagiológicos associados ao processo foi consultada através do programa informático *SECTRA*®. Foram seleccionadas 348 OPG, correspondentes a 228 pacientes, de ambos os géneros. Foram estas OPG que foram a amostra de conveniência este estudo. Foram recolhidos do programa informático *SECTRA*® os dados dos pacientes incluídos, referentes a:

- ↓ Número do processo;
- ↓ Idade;
- ↓ Género;
- ↓ Data de Nascimento;
- ↓ Data da realização da Ortopantomografia;
- ↓ Idade respetiva aquando da realização da mesma.

De seguida, todas as radiografias panorâmicas que estavam de acordo com os critérios de inclusão e exclusão foram recolhidas do programa informático *SECTRA IDS7*® e guardadas em formato JPEG. Imagens que foram usadas por este estudo.

Todos os dados recolhidos foram registados em três folhas do *Microsoft Excel*®, numeradas de 1 a 3:

- 1: onde constou o número do processo real do paciente e o número da amostra correspondente (será eliminada após a publicação dos resultados das investigações);
- 2: onde foram colocados os números da amostra, o género, a data de nascimento, a data de

realização da OPG e o cálculo da idade aquando da realização da mesma;

-3: que incluiu os dados recolhidos após aplicação dos métodos de Nolla⁽¹²⁾ e de Moorrees⁽¹³⁾ ao terceiro molar nas radiografias panorâmicas, posteriormente inseridos no IBM SPSS®. (Anexos 2, 3, 4 e 5)

Para este estudo foi realizada a folha 3. As folhas 1 e 2 pertencem à amostra selecionada do estudo do índice do terceiro molar.

Aplicou-se a classificação de 0 a 10 nos estádios dentários de Nolla⁽¹²⁾ (Anexo 2) e a classificação de 0 a 14 nos estádios de Moorrees⁽¹³⁾ (Anexo 3). Os ficheiros foram guardados em formato JPEG (Anexo 4).

3.4 Metodologia de validação de dados

Uma vez que este estudo consistiu na realização de diversas classificações, podem ter ocorrido erros experimentais no momento das mesmas, comprometendo a veracidade dos resultados obtidos. Desta forma, e tendo em conta que houve um observador a realizar as medições, foi necessário testar a validade dos resultados através da validação intra-observador.

3.4.1 Validação intra-observador

A variabilidade intra-observador consiste na não reprodutibilidade dos dados, devido a alterações na aplicação dos critérios pelo observador, que podem ou não levar à introdução de erros.

Com o intuito de minimizar esses mesmos erros, a validação dos dados deverá ser alcançada através de uma repetição das observações, com um intervalo de tempo suficientemente grande, de forma a garantir a eliminação do efeito de memória. Deste modo, 10% das medições foram repetidas, aleatoriamente, passado dois meses.

Os dados da primeira observação foram ocultados do observador durante a repetição das medições. Posteriormente, os valores obtidos na primeira medição foram comparados com os da segunda medição. Obteve-se, assim, a concordância entre os resultados do observador, sendo esta medida através do coeficiente kappa ponderado de Cohen (κ), adequado para variáveis ordinais.⁽¹⁴⁾

3.5 Análise estatística de dados

Os respetivos dados inseridos no *Microsoft Excel*[®] foram exportados para o software de análise estatística de dados *IBM SPSS*[®] Statistics 26 (*Statistical Package for the Social Sciences*), no qual foi realizada toda a análise estatística dos dados.

Considerando que o *p-value* é utilizado como alternativa aos pontos de rejeição, de forma a fornecer o menor nível de significância no qual a hipótese nula seria rejeitada, o nível de significância escolhido nos testes realizados foi de 5%. Desta forma, quanto menor for o valor do *p-value* obtido nos testes realizados, mais forte é a evidência contra a hipótese nula, sendo possível rejeitá-la quando o *p-value* é inferior a 0,05.⁽¹⁵⁾

Após a realização da análise descritiva, procedeu-se à análise estatística dos dados. Na validação intra-observador foi utilizado o coeficiente kappa ponderado de Cohen, medida de validação e da concordância de variáveis ordinais. O coeficiente pode ser interpretado, segundo Fleiss *et al.*⁽¹⁴⁾, da seguinte forma:

- ✓ Até 0,39 – Concordância fraca;
- ✓ Entre 0,40 e 0,74 – Concordância satisfatória a boa;
- ✓ Acima de 0,75 – Concordância excelente.

O coeficiente de correlação de Pearson foi utilizado para medir a correlação entre a idade cronológica e as variáveis utilizadas Nolla e Moorrees e definir se este era estatisticamente significativo. As variáveis foram posteriormente avaliadas com base no modelo de regressão linear, analisando a existência de variáveis explicativas pelo teste F e o coeficiente de determinação (R^2), verificando se este é suficientemente explicativo.

4. RESULTADOS

4.1 Validação dos Dados

A concordância intra-observador foi avaliada através do κ bem como do coeficiente de correlação (ordinal) de Spearman (ρ), aplicado a medições calculadas em 33 dentes (9,5% da amostra), observados em dois tempos.

Observamos na Tabela 1 os vários valores de κ e ρ obtidos para a validação intra-observador, para a classificação de Nolla para o dente 38 e para o dente 48, seguida da classificação de Moorrees para o dente 38 e para o dente 48. O valor mais baixo de κ é igual a 0,848 e o valor mais elevado igual a 0,923, enquanto que para ρ os valores variam entre 0,958 e 0,963.

Segundo os intervalos de concordância apresentados por Fleiss ⁽¹⁴⁾, todos os valores de κ na validação intra-observador apresentaram um nível de concordância excelente (Anexo 6). Além disso a correlação ordinal é extremamente elevada (próxima de 1) nas quatro medições.

Tabela 1 – κ e ρ obtidos na validação intra-observador

Método	Dente	κ	ρ
Nolla	38	0,848	0,961
	48	0,860	0,963
Moorrees	38	0,902	0,958
	48	0,923	0,960

4.2 Caracterização da amostra

A amostra do presente estudo consistiu em 348 OPG, de 228 pacientes, das quais 179 (51,4%) são de pacientes femininos e 169 (48,6%) são de pacientes masculinos (Anexo 7, I).

A amostra total consiste entre as idades de 12 aos 23 anos, faixa etária dos 12 anos é a que apresenta o maior número de OPG (52 OPG) enquanto que as faixas etárias dos 20 e 23 anos são as que apresentam o menor número de OPG (16 OPG), não parecendo haver diferenças significativas nas medidas da idade entre os dois sexos (Gráfico 1) (Anexo 7, II e III).

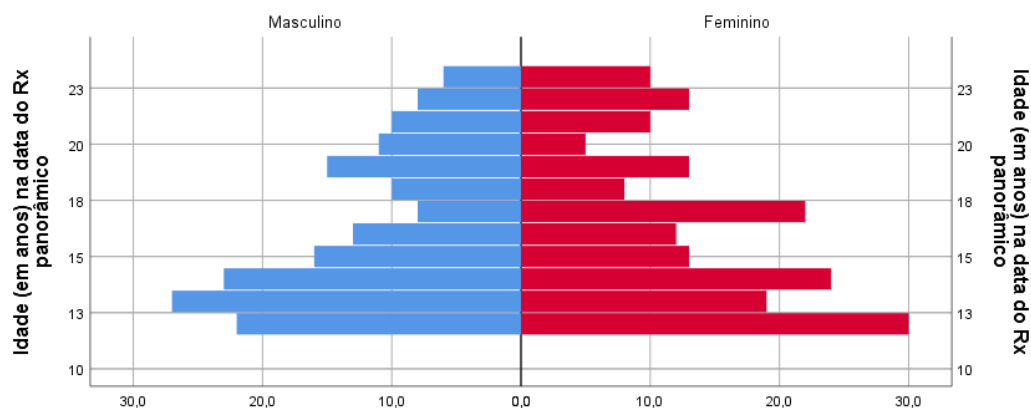


Gráfico 1 - Distribuição das ortopantomografias, diferenciando o género

4.3 Estimativa de idade pelo estágio de Nolla

Procurou-se estimar a idade dentária dos indivíduos através da aplicação da classificação do método de Nolla⁽¹²⁾ em 10 estádios (Anexo 2) nos dentes 38 e 48. Foi selecionado o dente 38 para efeitos de estudo, pois, na comparação dos estádios do dente 38 com os do dente 48, conclui-se que 314 em 326 OPG (96,3%) a classificação do dente 38 é igual à do dente 48. Por conseguinte é indiferente utilizar qualquer um dos dentes (Anexo 8, I).

Podemos observar no Gráfico 2, a distribuição comparativa entre os estádios do método Nolla⁽¹²⁾ e a idade (em anos) da população entre os 12 e os 23 anos, desta maneira, concluímos que enquanto existe uma evolução crescente em termos do estágio (1-10), a mesma situação verifica-se com a média das idades (Gráfico 2) (Anexo 8, II).

Validação do Método de Nolla e de Moorrees na Estimativa da Idade Dentária numa População Portuguesa dos 17 aos 23 anos

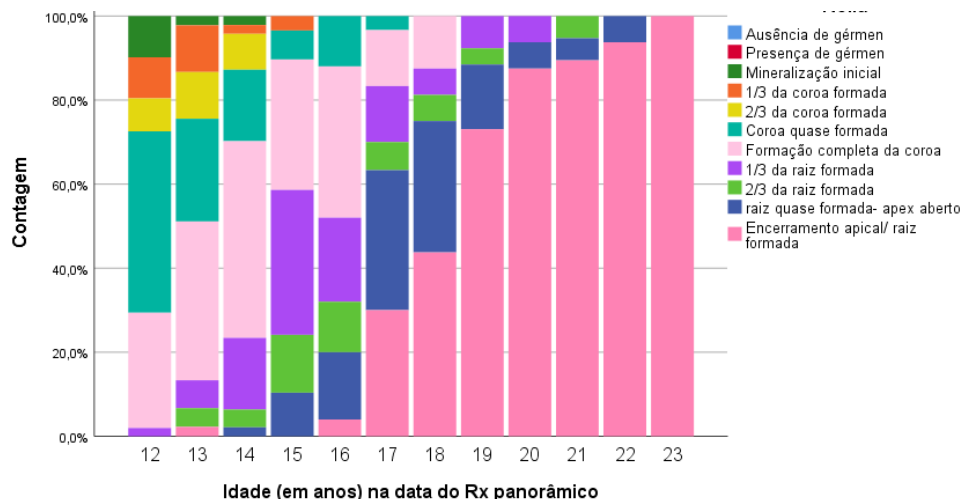


Gráfico 2 – Comparação de idade cronológica (em anos) com os estádios do Método Nolla

A estimação da idade foi realizada utilizando a regressão linear e recorrendo a variáveis artificiais (variáveis *dummy*) binárias para distinguir os estádios de Nolla⁽¹²⁾. Foi obtido um coeficiente de determinação (R^2) ajustado de 0,739, logo este modelo justifica 73,9 por cento da variação da idade, tendo um desvio padrão do erro igual a 21,017 meses (Gráfico 3) (Anexo 8, III).

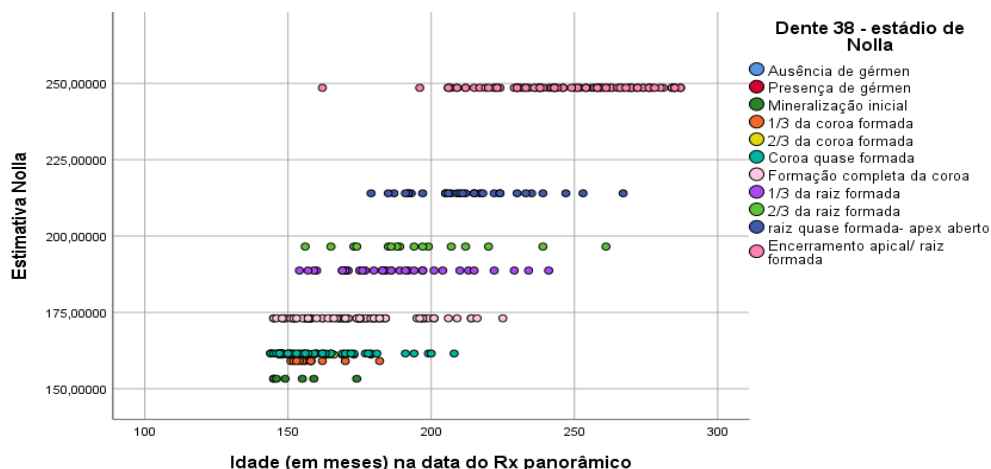


Gráfico 3 – Gráfico disperso simples de estimativa Nolla por idade (em meses) na data da OPG por dente 38- estádios de Nolla

4.4 Estimação da idade pelo estágio de Moorrees

Apurou-se estimar a idade dentária através dos dentes 38 e 48, dos indivíduos através da aplicação da classificação do método Moorrees⁽¹³⁾ em 14 estádios (Anexo 3). É de salientar que na comparação de estádios, em 313 das 326 OPG (96,0%) a classificação do dente 38 é igual à do dente 48. Como tal sendo indiferente utilizar o dente 38 ou o 48, foi selecionado o dente 38 para efeitos de estudo. (Anexo 9,I)

Podemos observar no Gráfico 2, a distribuição comparativa entre os estádios do método Moorrees⁽¹³⁾ e a idade (em anos) da população entre os 12 e os 23 anos. Desta maneira, concluímos que enquanto existe uma evolução crescente em termos do estágio (0-14), a mesma situação verifica-se com a média das idades (Gráfico 4) (Anexo 9, II).

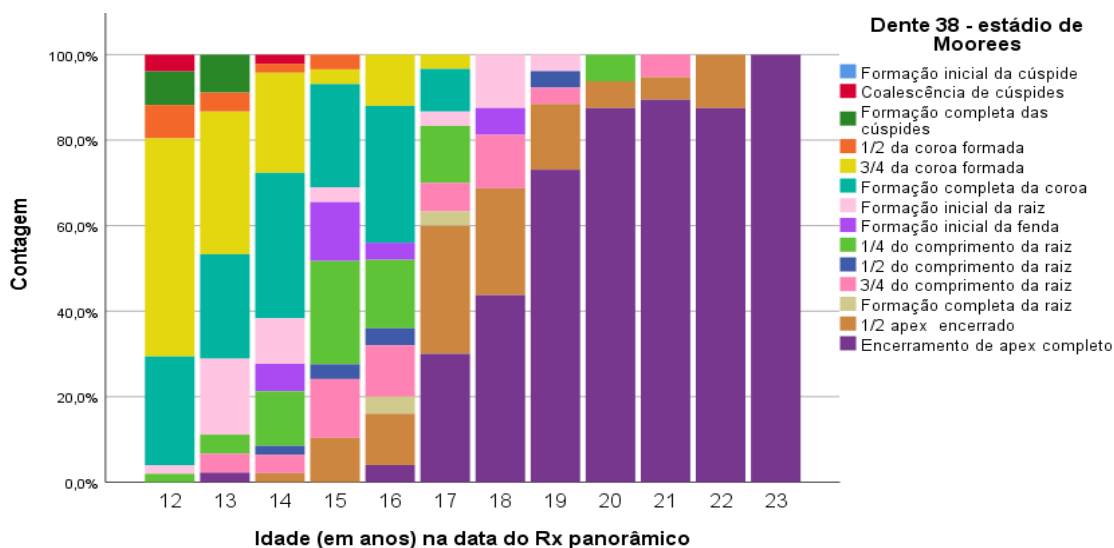


Gráfico 4 – Gráfico em barra empilhada de idade (anos) na data da OPG por dente 38- estágio de Moorrees.

Na estimação da idade utilizando regressão linear e variáveis artificiais foi obtido um R^2 ajustado de 0,732, logo este modelo justifica 73,2 por cento da variação da idade, tendo um desvio padrão do erro igual a 21,32 meses (Gráfico 5) (Anexo 9, III).

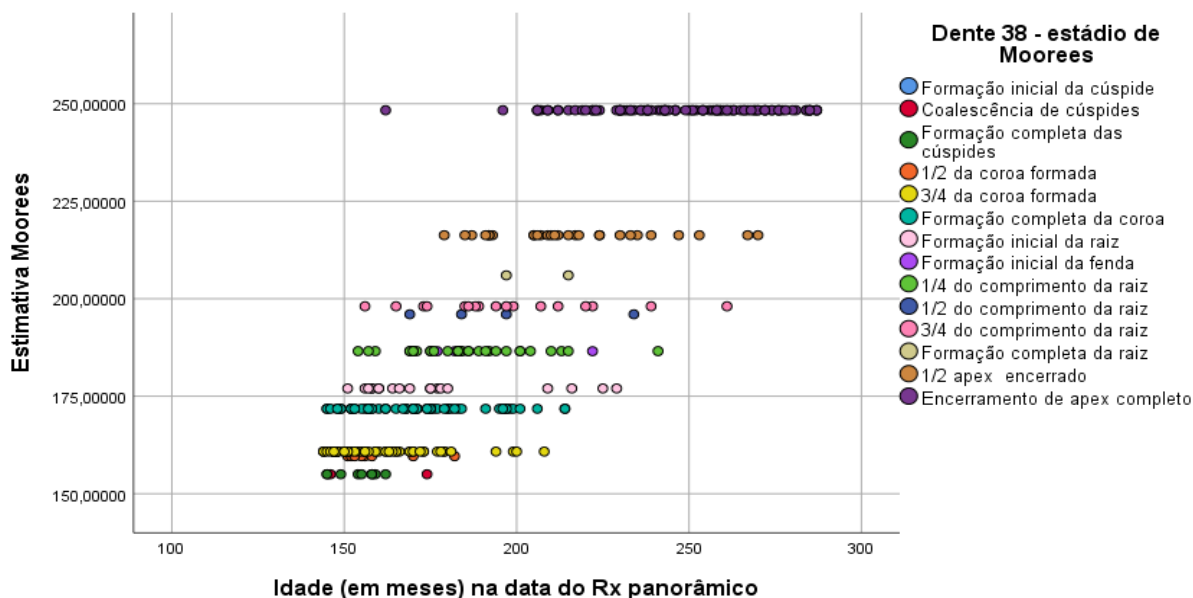


Gráfico 5 - Gráfico disperso simples de estimativa Moorrees por idade (meses) na data da OPG por dente 38- estágio Moorrees

4.5 Estimação da idade pelo estágio de Nolla e pelo estágio de Moorrees

Podemos observar as semelhanças entre os estádios de Nolla⁽¹²⁾ e os de Moorrees⁽¹³⁾. Por exemplo, no estágio 10 (Encerramento apical / raiz formada) de Nolla e no 14 (Encerramento de ápex completo) de Moorrees existem 98 OPG coincidentes. De destacar que tanto um como o outro são os últimos da respetiva classificação, sendo que no estágio 5, ambas as classificações possuem em comum 55 OPG (Anexo 10, I).

A correlação de Spearman (ρ), adequada para medir a associação entre duas variáveis ordinárias, é igual a 0,991 (quase unitária) entre os estádios de Nolla⁽¹²⁾ e os de Moorrees⁽¹³⁾. Isto significa que a ordenação dos dentes é praticamente igual em ambas as metodologias (Anexo 10, II).

A estimação da idade, utilizando regressão linear e variáveis artificiais, obteve um R^2 de 0,735. Comparando este valor com os obtidos com uma única metodologia (0,739 no Nolla e 0,732 no Moorrees) conclui-se que não vale a pena utilizar os dois métodos em simultâneo (um é suficiente para termos um nível de explicação idêntico (Gráfico 5) (Anexo 10, III).

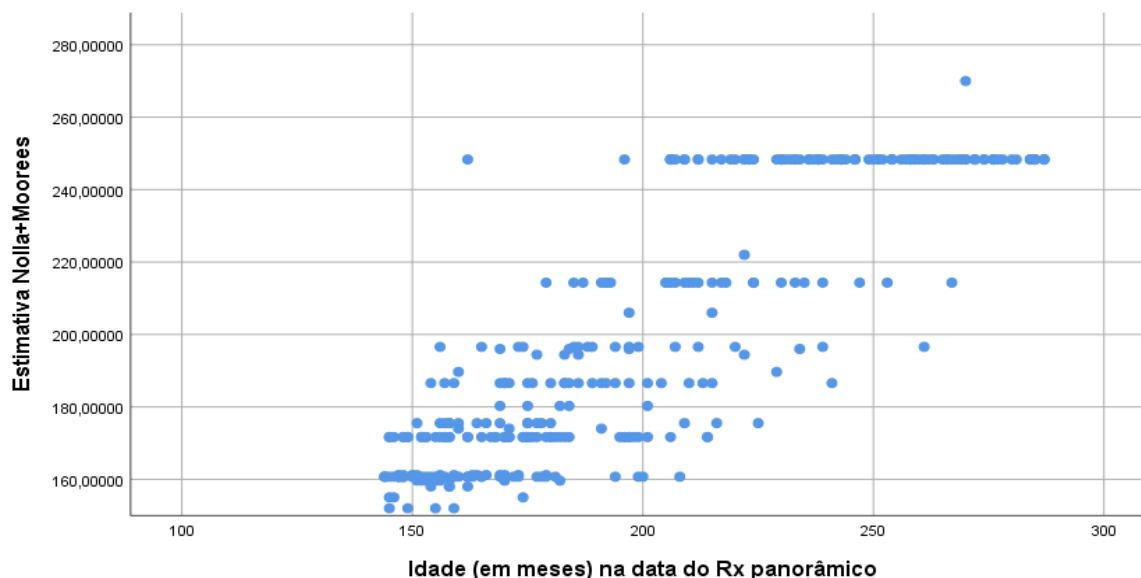


Gráfico 6 – Gráfico disperso de estimativa Nolla/Moorrees por idade (em meses) na data do OPG

4.6 Comparação entre as estimativas de Nolla e as de Moorrees

Foram determinados os erros de estimação e os erros de estimação em termos absolutos. Em médias os erros são nulos (estimativas não enviesadas), tendo os erros absolutos uma média de 16,28 (Nolla), 16,42 (Moorrees) e 16,13 meses (Nolla + Moorrees). Deste modo, não parece haver diferenças significativas entre os três modelos (Anexo 11).

Procurou-se comparar a mediana das estimativas dos três modelos Nolla, Moorrees e Nolla/Moorrees com a idade real, tendo-se obtido *p-values* 0,504, 0,469 e 0,532 respetivamente, não sendo encontradas diferenças significativas. Deste modo, em qualquer um destes modelos as estimativas parecem ser adequadas (Anexo 11).

Ao comparar as estimativas Nolla, Moorrees e Nolla/Moorrees entre si, verificou-se que existe diferenças estatisticamente significativas, com *p-values* 0,003, 0,000 e 0,000 respetivamente (Anexo 11).

Desta maneira, constata-se que, apesar de todos os modelos parecerem ter o mesmo tipo de precisão na estimação, há diferenças entre as estimativas obtidas.

4.7 Estimação da idade de Nolla e de Moorrees, por sexo

Através da tabela de contingência dos estádios por sexo foi possível efetuar o teste de independência, permitindo concluir que não há evidência de existência de associação, isto é, os estádios estão igualmente distribuídos entre os dois sexos nos dois métodos de estadiamento ($p\text{-value} = 0,864$ no Nolla e $p\text{-value}=0,774$ no Moorrees) (Anexo 12).

Uma vez que o teste de normalidade rejeitou a normalidade, aplicou-se o teste de Mann-Whitney de igualdade da mediana da idade entre sexos dentro de cada estágio de Nolla, e posteriormente de cada estágio de Moorrees (Anexo 12).

Desta maneira, é possível afirmar que não há evidência de existência de diferenças na idade mediana entre os dois sexos em qualquer estágio, quer na classificação de Nolla quer na classificação de Moorrees (todos os $p\text{-values}$ são superiores a 0,05).

4.8 Estimação da idade de Nolla e de Moorrees, por faixa etária (12 aos 16 anos e 17 aos 23 anos)

Ao analisar os erros de estimação e os erros de estimação em termos absolutos das estimativas obtidas através dos estádios de Nolla e de Moorrees, podemos observar que os dois métodos são semelhantes, para o grupo de 12 a 16 há uma subestimação média de cerca de 5 meses e no grupo dos 17 aos 23 há uma sobrestimação média de 7,5 meses. Em termos absolutos, o erro médio é de cerca de 13 meses no grupo dos 12 aos 16 e há um erro médio de cerca de 21 meses no grupo dos 17 aos 23. A caracterização dos erros e dos erros em termos absolutos por grupo etário em cada método é apresentada na Tabela 2.

Tabela 2 – Erro de estimativa e em termos absolutos

	Idade superior ou igual a 17 anos							
	Dos 12 aos 16 anos				Dos 17 aos 23 anos			
	Erro de estimação Nolla	Erro em termos absolutos de estimação Nolla	Erro de estimação Moorees	Erro em termos absolutos de estimação Moorees	Erro de estimação Nolla	Erro em termos absolutos de estimação Nolla	Erro de estimação Moorees	Erro em termos absolutos de estimação Moorees
Contagem	199	199	199	199	149	149	149	149
Mínimo	-86,55	0,29	-86,33	0,00	-42,55	0,45	-42,33	0,67
Percentil 25	-15,08	4,92	-14,79	4,44	-9,55	9,45	-10,33	9,67
Mediana	-5,55	10,92	-5,81	10,81	9,45	18,55	9,00	18,33
Percentil 75	3,45	18,71	3,21	18,19	25,45	32,45	26,44	32,00
Máximo	38,45	86,55	39,19	86,33	64,44	64,44	62,94	62,94
Média	-5,29	13,03	-5,46	12,99	7,49	20,88	7,74	21,27
Desvio padrão	16,18	10,92	16,10	10,94	24,05	13,99	24,35	14,05

Como o teste de normalidade não rejeitou a normalidade, aplicou-se o teste t em amostras emparelhadas e há diferenças significativas em ambos os métodos quando comparamos os erros médios de estimação das duas faixas etária ($p\text{-value} = 0$ em ambos os métodos). (Anexo 13).

Aplicou-se igualmente o teste de Mann-Whitney de igualdade da mediana do erro de estimação entre as duas faixas etárias e há também diferenças significativas entre faixas etárias em ambos os métodos ($p\text{-value} = 0$ em ambos os métodos). (Anexo 13)

Sendo assim, concluiu-se que o viés e a precisão das estimativas são diferentes, em ambos os métodos, nas duas faixas etárias.

4.9 Comparação das estimativas de Nolla e Moorrees com as obtidas com os estádios de Demirjian

A estimativa relativamente ao método Demirjian foi realizada no âmbito das investigações para a elaboração das dissertações de mestrado com o índice do terceiro molar (Rodrigues A. Aplicação do Índice de Maturidade do terceiro Molar na Estimativa médico-legal da idade numa população dos 12 aos 23 anos; Santos A. Estimativa Médico-Legal da idade pelo Índice de Maturidade do 3º Molar: Determinação dos pontos de corte para uma população dos 12 aos 23 anos) na amostra de estudo, que foi a nossa amostra de conveniência. Assim, o presente trabalho teve como objetivo a

comparação com os dois métodos em estudo. A estimação da idade também foi realizada utilizando a regressão linear e variáveis artificiais, tendo-se obtido um coeficiente de determinação ajustado de 0,763, e um desvio padrão do erro igual a 20,278 meses (Rodrigues A. Aplicação do Índice de Maturidade do terceiro Molar na Estimativa médico-legal da idade numa população dos 12 aos 23 anos)

Os erros de estimação de Demirjian também são (em média) nulos, e em termos absolutos a média é 15,75 meses, ligeiramente inferior ao de Nolla e ao de Moorrees (Anexo 14).

Quando se separa nas duas faixas etárias, o método de Demirjian tem o mesmo comportamento que os dois métodos em estudo, para o grupo de 12 a 16 anos há uma subestimação média de cerca de 5 meses e no grupo dos 17 aos 23 anos há uma sobrestimação média de 7,5 meses (Anexo 14).

Aplicou-se o teste de Wilcoxon de igualdade da mediana do erro de estimação para comparar os modelos, dois a dois, e há diferenças significativas entre Moorrees e Nolla ($p\text{-value} = 0,003$) e entre Nolla e Demirjian ($p\text{-value} = 0,041$), mas não há entre Moorrees e Demirjian ($p\text{-value} = 0,197$) (Anexo 14).

Se compararmos os modelos em cada uma das faixas etárias, então na faixa 12-16 só há diferença entre Nolla e Moorrees ($p\text{-value} = 0,041$); e na faixa 17-23 há diferenças entre todos os métodos ($p\text{-values}$ entre 0,000 e 0,002) (Anexo 14).

Porquanto, se compararmos médias (teste t), não há diferenças estatisticamente significativas entre os dois modelos em qualquer uma das duas faixas etárias ($p\text{-values}$ entre 0,415 e 0,998) (Anexo 14).

4.10 Comparação das estimativas de Nolla e Moorrees com as obtidas pelo índice de maturidade do terceiro molar

A estimação da idade pelo método do índice do terceiro molar também foi realizada utilizando a regressão linear em função do índice de maturidade do terceiro molar (I_{3M}), tendo-se obtido um coeficiente de determinação ajustado de 0,600, e um desvio padrão do erro igual a 26,318 meses se forem utilizadas todas as observações; e um coeficiente de determinação ajustado de 0,471, e um desvio padrão do erro igual a 20,913 meses se forem excluídas as observações nas quais o índice é nulo. (Rodrigues A. Aplicação do índice de maturidade do terceiro molar na Estimativa médico-legal da idade numa população dos 12 aos 23 anos)

Os erros de estimação obtidas pelo índice de maturidade do terceiro molar também são (em média) nulos, e em termos absolutos a média é 21,18 meses se forem utilizadas todas as observações e 17,35 se forem excluídas $I_{3M} = 0$ (erros claramente superiores aos verificados nas estimativas de Nolla e/ou de Moorrees) (Anexo 15).

Ao dividir em duas faixas etárias, o método baseado no índice de maturidade do terceiro molar tem o mesmo comportamento, mas com erros maiores (para o grupo de 12 a 16 há uma subestimação média de cerca de 11,3 e 7,6 meses e no grupo dos 17 aos 23 há uma sobrestimação média de 15,22 e 10,23 meses). As estimativas de Nolla e de Moorrees são mais precisas (Anexo 15).

Foi aplicado o teste de Wilcoxon de igualdade da mediana do erro de estimação para comparar os modelos, dois a dois, e há diferenças significativas entre Nolla e I_{3M} excluídas as observações $I_{3M} = 0$ ($p\text{-value} = 0,001$) e entre Moore e I_{3M} excluídas as observações $I_{3M} = 0$ ($p\text{-value} = 0,000$). Nos restantes casos não foram detetadas diferenças significativas na mediada (Anexo 15).

Ao comparar os modelos em cada uma das faixas etárias, na faixa 12-16 há diferença entre quaisquer dois métodos; e na faixa 17-23 só não há diferenças entre Nolla e I_{3M} excluídas as observações $I_{3M} = 0$ ($p\text{-value} = 0,37$) e entre Moorrees e I_{3M} excluídas as observações $I_{3M} = 0$ ($p\text{-value} = 0,335$) (Anexo 15).

Se compararmos médias (teste t), há diferenças estatisticamente significativas entre quaisquer dois modelos em qualquer uma das duas faixas etárias, com exceção na faixa 17-23 entre Nolla e I_{3M} excluídas as observações $I_{3M} = 0$ ($p\text{-value} = 0,113$) e entre Moorrees e I_{3M} excluídas as observações $I_{3M} = 0$ ($p\text{-value} = 0,158$) (Anexo 15).

5. DISCUSSÃO

5.1 Validação dos Dados

Sempre que é preciso classificar um conjunto de dados num dado número de classes, vários tipos de enviesamentos podem ocorrer. Com vista à sua minimização é frequente o recurso a momentos diferentes por cada investigador para categorizar os mesmos dados, analisando posteriormente o seu grau de acordo e consequentemente a fiabilidade da classificação. Entre os vários índices, usou-se o coeficiente kappa ponderado de Cohen⁽¹⁴⁾.

Na validação intra-observador, o valor de κ mais baixo obtido foi de 0,848. Tal fator pode estar relacionado com a mudança de abordagem durante as classificações e/ou distorções radiográficas. O valor mais elevado foi de 0,923.

Os estudos originais de Nolla⁽¹²⁾ e Moorrees⁽¹³⁾ não apresentam valores de κ . Os valores de concordância por nós obtidos são compatíveis com uma excelente calibração do observador. Estes valores são semelhantes aos valores apresentados por Gundim *et al.*⁽¹⁶⁾ com a aplicação do método Nolla e por Pérez *et al.*⁽¹⁸⁾ com aplicação do método de Moorrees.

Uma limitação do presente estudo está relacionada com a classificação através dos estádios de Nolla e Moorrees⁽¹²⁻¹³⁾, que pelo facto de classificar em relação ao estágio de mineralização de um dente, por aproximação a um conjunto de figuras é um método subjetivo. Este fator pode levar à obtenção de classificações diferentes, tanto num único observador, como entre observadores. A presença de métodos com várias classificações intermédias, como por exemplo o método de Moorrees, que classifica em 14 estádios diferentes, torna a respetiva classificação, mais difícil.

Outro fator a ser tido em conta é que os autores Nolla e Moorrees utilizaram nos seus estudos radiografias intraorais, ao contrário do presente estudo, no qual foram utilizadas exclusivamente radiografias extraorais (OPG).

5.2 Caracterização da Amostra

A amostra do presente estudo apesar de ser menor que a apresentada por alguns estudos com a aplicação dos mesmos métodos⁽¹²⁻¹³⁾ é superior que a maioria das amostras dos estudos existentes^(16,17), e é representativa.

5.3 Estimativa da idade pelo estágio de Nolla

Procurou-se estimar a idade dentária dos indivíduos através da aplicação da classificação do método Nolla em 10 estádios. Em 314 de 326 OPG (96,3%) a classificação do dente 38 é igual à do dente 48. Observação que coincide com o estudo original de Nolla⁽¹²⁾, que afirma não existir diferença estatisticamente significativa entre o lado direito e esquerdo. Por esta observação, foi utilizado o dente 38.

O presente estudo demonstrou existir uma correlação entre a idade cronológica e os respetivos estádios da classificação de Nolla⁽¹²⁾, à semelhança do apresentado por Gundim, *et al.*⁽¹⁶⁾. O nosso estudo apresentou uma estimação da idade utilizando regressão linear e variáveis artificiais com coeficiente de determinação ajustado de 0,739. O estudo acima referido (Gundim, *et al.*⁽¹⁶⁾) apresentou coeficientes de determinação ligeiramente superiores aos apresentados neste estudo, de 0,7495 e de 0,8507, nos géneros masculino e feminino, respetivamente.

Em 2014, Delgado Tomás⁽¹⁸⁾ estudou a aplicabilidade dos métodos de Nolla e Demirjian numa população portuguesa e espanhola, chegando à conclusão que a capacidade de estimação do método de Nolla diminui a sua precisão à medida que a idade aumenta, sensivelmente, a partir dos 10 anos de idade, tendo determinado um erro de estimação de 23,24 meses, para o segundo molar, semelhante com o do estudo atual, com um erro igual a 21,017 meses.

5.4 Estimação da idade pelo estágio de Moorrees

No presente estudo procurou-se estimar a idade dentária dos indivíduos através da aplicação da classificação do método Moorrees⁽¹³⁾ em 14 estádios. Em 313 de 326 OPG (96,0%) a classificação do dente 38 é igual à do dente 48. Baseado neste resultado, foi usado o dente 38 para classificar. Os nossos resultados estão em consonância com o estudo original de Moorrees⁽¹³⁾, já que o mesmo apenas utilizou o lado esquerdo.

O presente estudo demonstrou existir uma correlação entre a idade cronológica e os respetivos estádios da classificação de Moorrees, assim como uma evolução dos estádios em função da idade, à semelhança do demonstrado no estudo de Pérez *et al.*⁽¹⁷⁾. Note-se que na estimação da idade utilizando regressão linear e variáveis artificiais obteve-se um coeficiente de determinação ajustado de 0,732. Ao contrário do verificado com o método de Nolla discutido anteriormente no ponto 5.3, a aplicação deste método à nossa população apresenta um coeficiente de determinação superior aos

valores apresentados por Pérez *et al.*⁽¹⁷⁾, coeficientes de 0,6830 e de 0,6865, nos lados direito e esquerdo, respetivamente. E, superior ao valor de coeficiente de determinação apresentado por Phillips & Wyk Kotze⁽¹⁹⁾ que obtiveram um coeficiente igual a 0,401.

5.5 Estimação da idade pelo estágio de Nolla e pelo estágio de Moorrees

É evidente constatar as semelhanças entre os estádios de Nolla⁽¹²⁾ e os de Moorrees⁽¹³⁾, apesar da diferença do número de estádios de classificação 10 e 14 respetivamente, assim como foi demonstrado por Gutiérrez, *et al.*⁽²⁰⁾

Podemos observar, no estágio 10 de Nolla (Encerramento apical / raiz formada) e no 14 de Moorrees (Encerramento de ápex completo) existem 98 OPG coincidentes. De destacar que tanto um como o outro são os últimos estádios da respetiva classificação. No estágio 5, ambas as classificações possuem em comum 55 OPG.

A correlação de Spearman, adequada para medir a associação entre duas variáveis ordinais, é igual a 0,991 (quase unitária) entre os estádios de Nolla⁽¹²⁾ e os de Moorrees⁽¹³⁾. Isto significa que a ordenação dos dentes é praticamente igual em ambas as metodologias.

A estimação da idade, utilizando regressão linear e variáveis artificiais, obteve um R^2 ajustado de 0,735. Comparando este valor com os valores obtidos com aplicação de um único método (0,739 no Nolla e 0,732 no Moorrees), conclui-se que não se beneficia da utilização dos dois métodos em simultâneo.

5.6 Comparação entre as estimativas de Nolla e as de Moorrees

Podemos observar que a comparação das estimativas não revelam diferenças significativas entre os três modelos como demonstrado na determinação dos erros de estimação e os erros de estimação em termos absolutos, em médias os erros são nulos (estimativas não enviesadas), tendo os erros absolutos uma média de 16,28 (Nolla), 16,42 (Moorrees) e 16,13 meses (Nolla + Moorrees). Facto que contraria o artigo apresentado por Gutiérrez *et al.*⁽²⁰⁾ que refere que o método de Moorrees é menos preciso que o de Nolla e, que o de Demirjian.

Procurou-se comparar a mediana das estimativas dos três modelos Nolla, Moorrees e Nolla/Moorrees com a idade real, tendo-se obtido *p-values* 0,504, 0,469 e 0,532 respetivamente, não sendo encontradas diferenças significativas. Deste modo, em qualquer um destes modelos as

estimativas parecem ser adequadas. Resultado que contraria o apresentado no estudo de Gutiérrez *et al.*⁽²⁰⁾, onde as diferenças encontradas entre a idade cronológica e a idade dentária estimada pelos três métodos (Nolla, Moorrees e Demirjian) expressa claramente a influência exercida por fatores genéticos e ambientais, como por exemplo, hereditariedade, estado de saúde do indivíduo, nutrição, nível socioeconómico, raça, fatores climáticos, entre outros, que interferem e modificam o processo de desenvolvimento humano.

Porquanto, constata-se que, apesar de todos os modelos parecerem possuir o mesmo tipo de precisão na estimação no nosso estudo, há diferenças entre as estimativas obtidas de acordo com a literatura existente, que refere maior precisão no método de Nolla, em comparação com o de Moorrees.⁽²⁰⁾

5.7 Estimação da idade de Nolla e de Moorrees, por sexo

Na aplicação do teste de Mann-Whitney de igualdade da mediana da idade entre sexos dentro de cada estágio de Nolla e de cada estágio de Moorrees, verificou-se que não há evidência de existência de diferenças na idade mediana entre os dois sexos em qualquer estágio. Esta constatação foi verificada pelo estudo de Cardona *et al.*⁽²¹⁾

No entanto, encontramos na literatura estudos que apontam no sentido contrário como o de Gutiérrez *et al.*⁽²⁰⁾, que afirma existir uma maturação dentária acompanhada de uma evolução progressiva nos estádios, em ambos os métodos, mais precoce para o sexo feminino, demonstrando diferenças significativas entre ambos os géneros, à exceção das idades 7, 9 e 11 anos, principalmente. No estudo referido, é apresentado que no género feminino, para o método de Nolla⁽¹²⁾ existe uma sobrestimação da idade no grupo dos 6 e 8 anos de idade, enquanto que nos grupos 7 e 9 a 11 anos de idade ocorre uma subestimação da mesma. Por outro lado, o método de Moorrees apresenta uma subestimação da idade em todas as faixas etárias.

Segundo Delgado Tomás⁽¹⁸⁾ o método de Nolla apresenta uma precisão que varia consoante o género e a faixa etária, demonstrando ser um melhor preditor da idade, no sexo feminino, até aos 10 anos de idade.

5.8 Estimação da idade de Nolla e de Moorrees, por faixa etária (12 aos 16 anos e 17 aos 23 anos)

Ficaram demonstradas as semelhanças, para o grupo de 12 a 16, para ambos os métodos. Existe uma subestimação média de cerca de 5 meses, evidência que também foi demonstrado por Gutiérrez *et al*, numa população dos 6-18 anos.⁽²⁰⁾

5.9 Comparação das estimativas de Nolla e Moorrees com as obtidas com os estádios de Demirjian

Segundo o presente estudo, o método de Demirjian tem o mesmo comportamento que os dois métodos em estudo, para o grupo de 12 a 16 anos há uma subestimação média de cerca de 5 meses e no grupo dos 17 aos 23 anos há uma sobrestimação média de 7,5 meses. Ao contrário dos valores apresentados por Gutierrez *et al*.⁽²⁰⁾ que, ao fazer a comparação entre os métodos de Demirjian, Nolla e Moorrees, chegou à conclusão de que o método de Demirjian apresenta uma sobrestimação na faixa etária dos 6 aos 11 anos, e uma subestimação na faixa etária dos 12 aos 18 anos.

Porquanto, se compararmos médias (teste t), não há diferenças estatisticamente significativas entre dois quaisquer modelos em qualquer uma das duas faixas etárias (*p-values* entre 0,415 e 0,998). No entanto Gutiérrez *et al*.⁽²⁰⁾ afirma que através da classificação de Demirjian podemos obter uma maior precisão de estimação de idade, em comparação com a de Nolla, e a do Moorrees (o menos preciso). Isto pode dever-se, ao sugerido por alguns estudos que defendem que a utilização de uma quantidade menor de estádios para avaliação do desenvolvimento dentário aumenta a reprodutibilidade.⁽²²⁻²⁴⁾

5.10 Comparação das estimativas de Nolla e Moorrees com as obtidas pelo índice de maturidade do terceiro molar

Ao compararmos o método baseado no índice de maturidade do terceiro molar com a estimativa de Nolla e de Moorrees nos dois grupos etários, verificamos que tem a mesma tendência, com erros maiores. Isto é, para o grupo de 12 a 16 existe uma subestimação média de cerca de 11,3 e 7,6 meses; e, no grupo dos 17 aos 23 há uma sobrestimação média de 15,22 e 10,23 meses. Logo os métodos de Nolla e de Moorrees são mais precisos.

Foi realizada uma comparação com estudos nos quais, a estimação da idade pelo índice de maturidade do terceiro molar foi relacionada com outros métodos morfológicos, como a

classificação de estádios de Demirjian ou o atlas de Londres⁽²⁵⁻²⁸⁾. Estes demonstraram uma melhor estimativa através do índice de maturidade do terceiro molar⁽²⁴⁻²⁶⁾ ou uma igualdade de precisão entre métodos⁽²⁸⁾. Como tal, o nosso estudo, contraria os resultados apresentados por aqueles, uma vez que apresenta uma estimativa mais precisa por métodos morfológicos, nomeadamente Nolla e Moorrees.

Antunovic *et al.*⁽²⁹⁾ num estudo, com objetivos distintos, utilizou uma amostra da população de Montenegro e aplicou nos terceiros molares a estimativa Nolla e o $I_{3M} < 0,08$ para estimar se um indivíduo tem menos de 18 anos ou pelo menos 18 anos. Assim, demonstrou que o $I_{3M} < 0,08$ revelou-se melhor para distinguir menores (menos de 18 anos), em comparação com a estimativa de Nolla estágio 9. No entanto, a aplicação do estágio 9 de Nolla evidenciou melhor desempenho na classificação de adultos (pelo menos 18 anos), confirmando a presente investigação nomeadamente na aplicabilidade do método Nolla.

6. CONCLUSÕES

6.1 Conclusões relativas ao objetivo principal

Suportado nos resultados obtidos, podemos retirar as seguintes conclusões nomeadamente às diversas hipóteses experimentais formuladas:

Não há diferenças estatisticamente significativas entre a idade cronológica e a idade dentária dos indivíduos, estimada através da aplicação dos métodos Nolla e Moorrees nos terceiros molares mandibulares.

6.2 Conclusões relativas aos objetivos secundários

Quanto aos objetivos secundários, que consistiram em comparar as duas metodologias de estimativa da idade e determinar qual a mais precisa quando aplicadas a uma população portuguesa subadulta; comparar a aplicação das mesmas entre o intervalo de idades do estudo e o intervalo de idades inferior; comparar as metodologias deste estudo com as metodologias do estudo do índice do terceiro molar e do Demirjian à mesma população:

- Não há diferenças estatisticamente significativas, entre a precisão das estimativas da idade cronológica obtidas pelo método de Nolla e a precisão das estimativas da idade pelo método de Moorrees, em comparação apresentam-se os dois semelhantes.

- . Há diferenças estatisticamente significativas entre a idade estimada obtida pelo método de Nolla na população dos 12 aos 16 anos de idade e na população dos 17 aos 23 anos de idade, sendo identificada uma subestimação na população dos 12 aos 16 anos e uma sobrestimação na população dos 17 aos 23 anos de idade.

- Há diferenças estatisticamente significativas entre a idade estimada obtida pelo método de Moorrees na população dos 12 aos 16 anos de idade e na população dos 17 aos 23 anos de idade, sendo identificada uma subestimação na população dos 12 aos 16 anos e uma sobrestimação na população dos 17 aos 23 anos de idade.

- A estimativa da idade cronológica pelo método de Nolla e de Moorrees não apresenta, em termos de precisão, diferenças estatisticamente significativas da estimativa da idade pelo método de Demirjian, tanto na população dos 12 aos 16 anos de idade com na dos 17 aos 23 anos de idade, comportando-se da mesma maneira, no entanto, em relação aos erros de estimação em termos absoluto, em média, apresentam valores ligeiramente mais reduzidos.

- A estimativa da idade cronológica pelo método de Nolla e de Moorrees apresenta diferenças estatisticamente significativas da estimativa da idade pelo índice do terceiro molar, sendo a estimativa pelo método Nolla e de Moorrees mais precisa.

6.3 Conclusões gerais

Com base nos resultados obtidos nesta investigação, é possível afirmar que os métodos morfológicos de Nolla e de Moorrees quando aplicados numa população portuguesa dos 17 anos aos 23 anos de idade permitem a estimativa da idade cronológica. Assim, podem ser usados na área médico-legal, como métodos isolados de estimativa da idade na faixa etária dos 17 aos 23 anos de idade.

REFERÊNCIAS BIBLIOGRÁFICAS

1. Olze O, Schmeling A, Taniguchi M, Maeda H, Nieker P, Wernecke, Geserick G. Forensic age estimation in living subjects: The ethnic factor in wisdom tooth mineralization. *International Journal of Legal Medicine* 2004;118(3):170-3.
2. Karaarslan B, Karaarslan E, Ozsevik A, Ertas E. Age Estimation for Dental Patients Using Orthopantomographs. *European Journal of Dentistry* 2010;4(4): 389–394.
3. Bagherian A, Sadeghi M. Assessment of dental maturity of children aged 3.5 to 13.5 years using the Demirjian method in an Iranian population. *Jornal of Oral Science* 2011;53(1):37-42.
4. Grover S, Marya C, Avinash J. Estimation of dental age and its comparison with chronological age: accuracy of two radiographic methods. *Sage Journals* 2012;32-35.
5. Gupta S, Narwal A, Kamboj M, Sharma P, Makkar V, Raman R. Baseline data of facial parameters in the population of Haryana: An anthropometric study. *Jornal of Forensic Dental Sciences* 2019;11(1): 28.
6. Pereira C, Russell L, Fernandes M, Silva R, Santos R. Dental Age Estimation based on Development Dental Atlas Assessment in a Child/Adolescent Population with Systemic Diseases. *Acta Stomatologica Croatica*. 2019;53(4): 307-317.
7. Demirjian A, Goldstein H, Tanner JM. A new system of dental age assessment. *Human Biology*. 1973;45(2): 211.
8. AlQahtani S, Hector M, Liversidje HM. The London Atlas of Human Tooth Development and Eruption. *American Journal of Physical Anthropology*. 2010;142(3):481-490.
9. Anastácio, AC, Serras, C., Santos R, Pereira C. Validation of Cameriere's medical-legal age estimation method using second premolars in a Portuguese population. *Journal of Forensic and Legal Medicine*. 2018;60: 30-34.

10. Oliveira S, Azevedo A, Queiroz R, Ramos J. Documental and biological discrepancy in the determination of age: expert case report. *Brazilian Journal of Surgery and Clinical Research* 2019;27(1):51-56.
11. Balla S, Chinni S, Galic I et al. A cut-off value of third molar maturity index for indicating a minimum age of criminal responsibility: Older or younger than 16 years. *Journal of Forensic and Legal Medicine*. 2019;65:108-112.
12. Nolla C, B.S., D.D.S., M.S. The Development of the Permanent Teeth. Fourth Quarter. 1960, 254-266.
13. Moorrees CFA, Fanning EA, Hunt EE. Age Variation of Formation Stages for Permanent Teeth. *Journal of Dental Research*. 1963;42(6):1490-502.
14. Fleiss, JL, Cohen, J, Everitt, BS. Large sample standard errors of kappa and weighted kappa. *Psychological Bulletin*. 1969;72(5):323-327.
15. Marôco J. *Análise Estatística com o SPSS Statistics*. 6th ed. Pêro Pinheiro: ReportNumber. 2014.
16. Gundim A, Sousa A, Silva J, Oliveira R, Ayamamoto-Silva F, Freitas Silva B. Third molars stage of mineralization and its relation to chronological age: Midwest Brazil sample. *Revista de odontologia da UNESP*. 2014; 43(5).
17. Pérez M, Herrera A, Moreno S, Moreno F. Dental age estimate through six radiographic methods in a group of African descent and Caucasoid mestizos. *Cuadernos de Medicina Forense*. 2016;22(3-4):81-92.
18. Delgado Tomás L, Carmona I, Mónico L. The accuracy of estimating chronological age from Demirjian and Nolla methods in a Portuguese and Spanish sample. *BMC Oral Health*. 2014;14:160.
19. Phillips VM, Wyk Kotze TJ. Dental age related tables for children of various ethnic groups in South Africa. *Journal of Forensic Odontostomatol*. 2009;27:2:29- 44

20. Gutiérrez V, Ortega-Pertuz A. Comparison of Nolla, Demirjian and Moorrees methods for dental age calculation for forensic purposes. *Revista Odontológica Mexicana*. 2017; 21(3):151-159.
21. Cardona A. Aplicación del método de Moorrees, Fanning y Hunt modificado por Smith (1991) para predecir la edad cronológica en subadultos con fines antropológicos y forenses. *Revista Científica de Sistema de Estudios de Postgrado (SEP)*. 2019; 2(1)
22. Dhanjal KS, Bhardwaj MK, Liversidge HM. Reproducibility of radiographic stage assessment of third molars. *Forensic Sci Int*. 2006;S74-7.
23. Maber M, Liversidge HM, Hector MP. Accuracy of age estimation of radiographic methods using developing teeth. *Forensic Sci Int*. 2006;S68-73.
24. Zeng DL, Wu ZL, Cui MY. Chronological age estimation of third molar mineralization of Han in southern China. *Int J Legal Med*. March; 2010,124(2): 119-23.
25. Lizarbe R, Adrianzén C, Quezada-Marquéz M, Gálic I, Cameriere R. Demirjian's stages and Cameriere's third molar maturity index to estimate legal adult age in Peruvian population. *Legal Medicine*. 2017, 25; 59-65.
26. Preeti D, Wadhwan V, Sharma N. Reliability of determining the age of majority: a comparison between measurement of open apices of third molars and Demirjian stages. *Journal of Forensic Odonto-stomatology*. 2018; 36(2): 2-9.
27. Cameriere R, Ferrante L, De Angelis D, Scarpino F, Galli F. The comparison between measurement of open apices of third molars and Demirjian stages to test chronological age of over 18 year olds in living subjects. 2008; 122; 493-397.
28. Correia A, Barbosa D, Alcantara J, Oliveira P, Silva P, Franco A, Bezerra T. Performance and comparison of the London Atlas technique and Cameriere's third molar maturity index (I_{3M}) for allocating individuals below or above the threshold of 18 years. *Forensic Science International*. 2020;317:110512.

- 29.** Antunovic M, Galic I, Zelic K, Nedeljkovic N, Lazic E, Djuric M, Cameriere R. The third molars for indicating legal adult age in Montenegro. *Legal Medicine*. 2018; 33:55-61

ANEXOS

Anexo 1 – Cartas de pedido de autorização

I - Carta para o Diretor do Hospital das Forças Armadas- Pólo de Lisboa

II - Carta para o Presidente da Comissão de Ética do Hospital das Forças Armadas- Pólo de Lisboa.

III - Carta da Comissão de Ética Hospital das Forças Armadas- Pólo de Lisboa

I– Carta para o Diretor do Hospital das Forças Armadas- Pólo de Lisboa

Excelência Senhor Diretor do Hospital das Forças Armadas
Brigadeiro-general

Rui Fernando Gonçalves Teixeira de Sousa



13/05/20

Universidade de Lisboa, 12 de maio de 2020

Venho humildemente, por este meio solicitar autorização para realizar um estudo intitulado *“Validação do Método de Nolla e de Moorrees na Estimativa da Idade Dentária numa População Portuguesa dos 17 aos 23 anos”*, sob a orientação da Professora Doutora Cristiana Maria Palmela Pereira consultora em medicina dentária forense da delegação sul do Instituto Nacional de Medicina Legal e Ciências Forense e do Professor Doutor Rui Filipe Vargas de Sousa Santos.

O objetivo principal desta investigação consiste em estimar a idade cronológica de uma população portuguesa entre os 17 e os 23 anos, no âmbito da identificação médico-legal, através da aplicação dos Métodos de Nolla e Moorees contemplando os terceiros molares mandibulares com base na análise de radiografias panorâmicas.

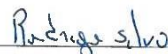
O estudo será realizado durante o ano letivo de 2019/2020 com recurso a 200 ortopantomografias de pacientes submetidos a tratamentos no Departamento de Estomatologia e Imagiologia do Hospital das Forças Armadas em Lisboa.

Os dados necessários do processo clínico para a realização do estudo são o número de processo, data de nascimento, género e a data de realização da ortopantomografia. Não serão recolhidos quaisquer outros dados identificativos dos pacientes.

Em anexo envia-se o protocolo do estudo.

Respeitosamente pede deferimento.

Com a maior estima e admiração,



(Rodrigo Manuel Guerreiro da Silva)

II – Carta para o Presidente da Comissão de Ética do Hospital das Forças Armadas-Polo de Lisboa

Exmo. Sr. Presidente, do Conselho de Ética

Do Hospital das Forças Armadas- PL

Lisboa, 09 de setembro de 2019

Venho por este meio solicitar autorização para realizar um estudo intitulado *“Validação do Método de Nolla e de Moorrees na Estimativa da Idade Dentária numa População Portuguesa dos 17 aos 23 anos”*, sob a orientação da Professora Doutora Cristiana Maria Palmela Pereira e do Professor Doutor Rui Filipe Vargas de Sousa Santos.

O objetivo principal desta investigação consiste em estimar a idade cronológica de uma população portuguesa entre os 17 e os 23 anos, no âmbito da identificação médico-legal, através da aplicação dos Métodos de Nolla e Moorrees contemplando os terceiros molares mandibulares com base na análise de radiografias panorâmicas.

O estudo será realizado durante o ano letivo de 2019/2020 com recurso a 200 ortopantomografias de pacientes submetidos a tratamentos no Departamento de Estomatologia do Hospital das Forças Armadas em Lisboa-PL.

Os dados necessários do processo clínico para a realização do estudo são o número de processo, data de nascimento, género e a data de realização da ortopantomografia. Não serão recolhidos quaisquer outros dados identificativos dos pacientes.

Em anexo envia-se o protocolo do estudo.

Pede deferimento.

Com os melhores cumprimentos,



(Rodrigo Manuel Guerreiro da Silva)

III - Carta da Comissão de Ética Hospital das Forças Armadas- Pólo de Lisboa


S. R.
MINISTÉRIO DA DEFESA NACIONAL
ESTADO-MAIOR-GENERAL DAS FORÇAS ARMADAS
HOSPITAL DAS FORÇAS ARMADAS
DIREÇÃO

Date: **15-outubro-2020** Número: **259416-10-20**
Classificação: **Não classificado** Processo:

Exmo(a). Senhor(a)

Assunto: **Estudo na área da Medicina Dentária**

Para os devidos efeitos informa-se que a Comissão de Ética para a Saúde do Hospital das Forças Armadas (CES-HFAR) apreciou o pedido de parecer para o estudo intitulado "Aplicação do Índice de Maturidade do terceiro Molar na Estimativa Médico-legal da idade numa população dos 14 aos 23 anos", submetido pelo estudante do Mestrado Integrado de Medicina Dentária, Rodrigo Manuel Guerreiro da Silva, tendo como o orientador os Professores Doutores Cristina Palmela Pereira e Rui Santos.

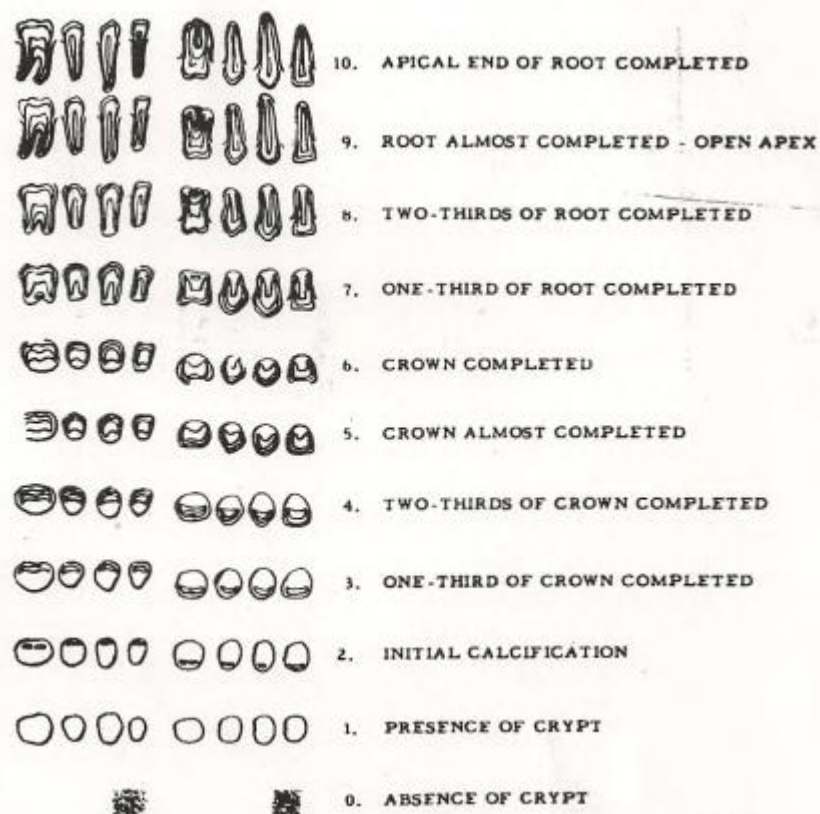
A CES-HFAR deliberou favoravelmente, mas devido às contingências que resultam da pandemia Covid-19, aguarda-se oportunidade para ser redigida Ata com respetivo registo de autorização.

Junto se anexa pedido de realização do estudo e respetiva aprovação.

Com os melhores cumprimentos,

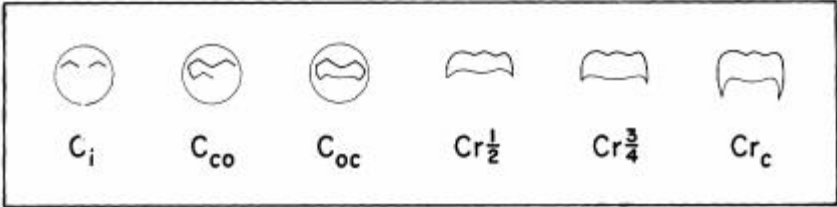

O Diretor do HFAR
Rui Sousa
Brigadeiro-General
Médico

Anexo 2 – Classificação de estádios dentários de Nolla ⁽¹²⁾

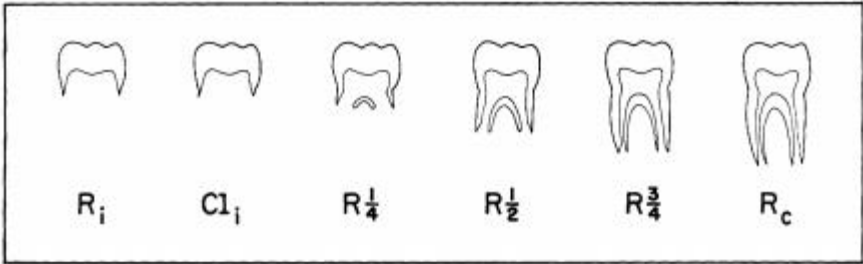


Anexo 3 – Classificação de estádios dentários de Moorrees ⁽¹³⁾

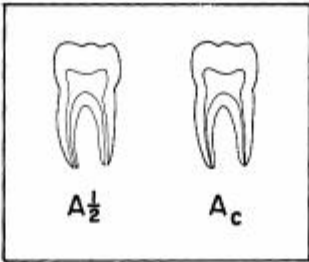
Crown



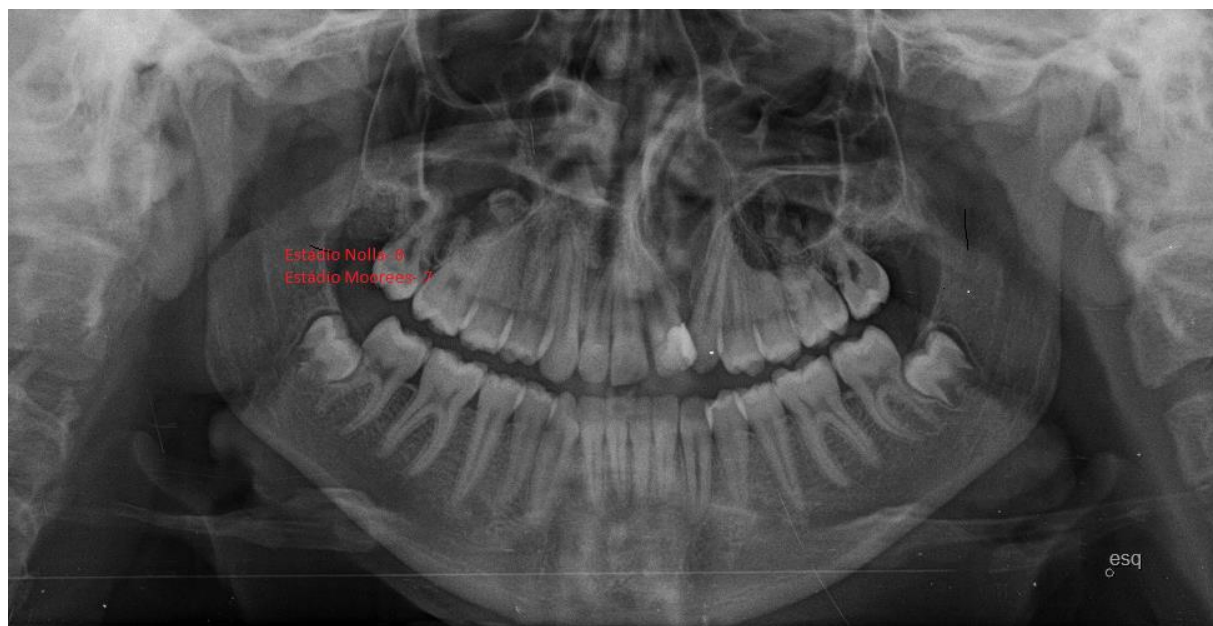
Root



Apex



Anexo 4 – Aplicação dos métodos de Nolla e Moorrees



Anexo 5 – Editor de *IBM SPSS*[®]

Validação do Método de Nolla e de Moorrees na Estimativa da Idade Dentária numa População Portuguesa dos 17 aos 23 anos

spss	N	Processo	Género	Nascimento	Medição	Data_Rx	Idade meses	Idade anos	Dente38 Nolla	Dente38 Moorres	Dente48 Nolla	Dente48 Moorres	PRI_1	RES_1	RES_ABS_1	PRI_2	RES_2	RES_ABS_2	PRI_3	RES_3	RES_ABS_3	Dente38 Nolla2	Dente38 Moorres2	Dente48 Nolla2	Dente48 Moorres2
1	1	12491	0	21/mar/94	1	09-Sep-16	269	22	10	14	10	14	248,54545	20,45455	20,45	248,32653	20,67347	20,67	248,32653	20,67347	20,67				
2	2	55921	1	10-Apr-94	1	06/jun/12	217	18	9	13	10	14	214	3	3	216,28571	0,71429	0,71	214,2963	2,7037	2,7				
3	3	55921	1	10-Apr-94	2	24-Oct-16	270	22	10	14	10	14	248,54545	21,45455	21,45	248,32653	21,67347	21,67	248,32653	21,67347	21,67				
4	4	58662	1	08/jan/95	1	19-Feb-15	241	20	10	14	10	14	248,54545	-7,54545	7,55	248,32653	-7,32653	7,33	248,32653	-7,32653	7,33				
5	5	96557	0	06-May-93	1	21/jan/11	212	17	10	14	10	14	248,54545	-36,54545	36,55	248,32653	-36,32653	36,33	248,32653	-36,32653	36,33				
6	6	142380	0	20-Dec-91	1	31/jan/13	253	21	9	13	10	14	214	39	39	216,28571	36,71429	36,71	214,2963	38,7037	38,7				
7	7	320160	0	02-Feb-97	1	18/jan/17	239	19	8	11	8	11	196,5625	42,4375	42,44	198,05882	40,94118	40,94	196,5625	42,4375	42,44				
8	8	320160	0	03-Feb-97	2	03-Feb-20	276	23	10	14	10	14	248,54545	27,45455	27,45	248,32653	27,67347	27,67	248,32653	27,67347	27,67				
9	9	320226	0	21/nov/96	1	30/jul/09	152	12	5	5	5	5	161,55319	-9,55319	9,55	160,80702	-8,80702	8,81	160,70455	-8,70455	8,7				
10	10	320226	0	21/nov/96	2	28/jan/11	170	14	6	6	6	6	173,07792	-3,07792	3,08	171,7931	-1,7931	1,79	171,67273	-1,67273	1,67				
11	11	322221	0	06-Oct-96	1	21-Aug-14	214	17	6	6	6	6	173,07792	40,92208	40,92	171,7931	42,2069	42,21	171,67273	42,32727	42,33				
12	12	322221	0	06-Oct-96	2	02/jan/19	266	22	10	14	8	11	248,54545	17,45455	17,45	248,32653	17,67347	17,67	248,32653	17,67347	17,67				
13	13	348556	0	08-Apr-97	1	18-Feb-15	214	17	6	6	6	6	173,07792	40,92208	40,92	171,7931	42,2069	42,21	171,67273	42,32727	42,33				
14	14	348556	0	08-Apr-97	2	17-May-16	229	19	7	7	7	7	188,71429	40,28571	40,29	177	52	189,66327	39,33673	39,34					
15	15	348556	0	08-Apr-97	3	22/jan/19	261	21	8	11	8	11	196,5625	64,4375	64,44	198,05882	62,94118	62,94	196,5625	64,4375	64,44				
16	16	368960	1	23/jun/96	1	26-Dec-18	270	22	10	13	10	13	248,54545	21,45455	21,45	216,28571	53,71429	53,71	270	0	0	10	14	10	14
17	17	397134	1	07-Aug-97	1	30/jan/13	185	15	8	11	8	11	196,5625	-11,5625	11,56	198,05882	-13,05882	13,06	196,5625	-11,5625	11,56				
18	18	403142	0	09-Dec-90	1	27-Dec-11	252	21	10	14	10	14	248,54545	3,45455	3,45	248,32653	3,67347	3,67	248,32653	3,67347	3,67				
19	19	439020	1	24-Aug-96	1	13/nov/13	206	17	10	14	10	14	248,54545	-42,54545	42,55	248,32653	-42,32653	42,33	248,32653	-42,32653	42,33				
20	20	446196	0	26-Sep-96	1	24-Sep-19	275	22	1000	1000	10	14													
21	21	495052	1	01-May-98	1	27-Feb-13	177	14	6	7	6	7	173,07792	3,92208	3,92	177	0	0	175,5102	1,4898	1,49				
22	22	495052	1	01-May-98	2	24/jan/17	224	18	10	14	10	14	248,54545	-24,54545	24,55	248,32653	-24,32653	24,33	248,32653	-24,32653	24,33				
23	23	495052	1	01-May-98	3	30-Apr-19	251	20	10	14	10	14	248,54545	2,45455	2,45	248,32653	2,67347	2,67	248,32653	2,67347	2,67				
24	24	504366	1	17/jul/96	1	23/jan/15	222	18	9	11	9	11	214	8	8	198,05882	23,94118	23,94	222	0	0				
25	25	507778	0	30-May-98	1	22/jan/17	223	19	10	14	10	14	248,54545	-25,54545	25,55	248,32653	-25,32653	25,33	248,32653	-25,32653	25,33	9	13	9	13
26	26	526757	0	10-Oct-96	1	09-Oct-14	215	17	9	12	9	12	214	1	1	206	9	9	206	9	9				
27	27	526757	0	10-Oct-96	2	19-Sep-18	263	21	10	14	10	14	248,54545	14,45455	14,45	248,32653	14,67347	14,67	248,32653	14,67347	14,67				
28	28	526757	0	10-Oct-96	3	16-Sep-19	275	22	1000	1000	10	14													
29	29	528002	1	28-Aug-98	1	09-May-16	212	17	9	13	9	13	214	-2	2	216,28571	-4,28571	4,29	214,2963	-2,2963	2,3				
30	30	528002	1	28-Aug-98	2	13/mar/19	246	20	10	14	10	14	248,54545	-2,54545	2,55	248,32653	-2,32653	2,33	248,32653	-2,32653	2,33				
31	31	528002	1	28-Aug-98	3	19/nov/19	254	21	10	14	10	14	248,54545	5,45455	5,45	248,32653	5,67347	5,67	248,32653	5,67347	5,67				
32	32	528002	1	28-Aug-98	4	13/jan/20	256	21	10	14	10	14	248,54545	7,45455	7,45	248,32653	7,67347	7,67	248,32653	7,67347	7,67				
33	33	537685	0	04-Aug-97	1	26-May-17	237	19	10	14	10	14	248,54545	-11,54545	11,55	248,32653	-11,32653	11,33	248,32653	-11,32653	11,33				
34	34	537685	0	04-Aug-97	2	15/nov/17	243	20	10	14	10	14	248,54545	-5,54545	5,55	248,32653	-5,32653	5,33	248,32653	-5,32653	5,33				
35	35	541022	0	26-Aug-98	1	03/mar/17	222	18	10	14	10	14	248,54545	-26,54545	26,55	248,32653	-26,32653	26,33	248,32653	-26,32653	26,33				
36	36	541022	0	26-Aug-98	2	27/jun/18	238	19	10	14	1000	1000	248,54545	-10,54545	10,55	248,32653	-10,32653	10,33	248,32653	-10,32653	10,33				
37	37	555230	1	15/mar/96	1	26/mar/19	276	23	10	14	10	14	248,54545	27,45455	27,45	248,32653	27,67347	27,67	248,32653	27,67347	27,67	10	14	10	14
38	38	573779	1	18-Oct-98	1	25/jul/16	213	17	7	9	7	9	188,71429	24,28571	24,29	186,56	26,44	26,44	186,56	26,44	26,44				
39	39	604151	0	18-Sep-97	1	20-Feb-19	257	21	10	14	10	14	248,54545	8,45455	8,45	248,32653	8,67347	8,67	248,32653	8,67347	8,67				
40	40	618251	1	03/jul/99	1	02/jan/14	173	14	5	5	5	5	161,55319	11,44681	11,45	160,80702	12,19298	12,19	160,70455	12,29545	12,3				
41	41	618251	1	03/jul/99	2	05/jan/16	198	16	6	6	6	6	173,07792	24,92208	24,92	171,7931	26,2069	26,21	171,67273	26,32727	26,33				
42	42	618251	1	03/jul/99	3	26-Feb-19	235	19	9	13	9	13	214	21	21	216,28571	18,71429	18,71	214,2963	20,7037	20,7				
43	43	621872	1	07/jun/99	1	25-Feb-19	236	19	1000	1000	1000	1000													
44	44	645050	0	05/mar/99	1	04-Oct-17	222	18	10	14	10	14	248,54545	-26,54545	26,55	248,32653	-26,32653	26,33	248,32653	-26,32653	26,33				
45	45	645050	0	05/mar/99	2	29/nov/18	236	19	10	14	10	14	248,54545	-12,54545	12,55	248,32653	-12,32653	12,33	248,32653	-12,32653	12,33				
46	46	654915	1	12/jan/00	1	22/mar/13	158	13	6	6	6	6	173,07792	-15,07792	15,08	171,7931	-13,7931	13,79	171,67273	-13,67273	13,67				
47	47	654915	1	12/jan/00	2	18-Apr-19	231	19	10	14	10	14	248,54545	-17,54545	17,55	248,32653	-17,32653	17,33	248,32653	-17,32653	17,33				
48	48	679537	1	23-Apr-98	1	12/jul/13	182	15	6	8	6	8	173,07792	8,92208	8,92	186,55556	-4,55556	4,56	180,26531	1,73469	1,73				
49	49	703806	0	05/jul/00	1	23-May-13	154	12	5	5	5	5	161,55319	-7,55319	7,55	160,80702	-6,80702	6,81	160,70455	-6,70455	6,7				
50	50	703806	0	05/jul/00	2	06/mar/19	224	18	9	13	9	13	214	10	10	216,28571	7,71429	7,71	214,2963	9,7037	9,7				
51	51	705532	0	21/jul/94	1	13-Apr-18	284	23	10	14	10	14	248,54545	35,45455	35,45	248,32653	35,67347	35,67	248,32653	35,67347	35,67				
52	52	705576	0	08-Aug-88	1	23/nov/10	267	22	10	14	10	14	248,54545	18,45455	18,45	248,32653	18,67347	18,67	248,32653	18,67347	18,67				
53	53	705576	0	08-Aug-88	2	25/jan/12	281	23	10	14	10	14	248,54545	32,45455	32,45	248,32653	32,67347	32,67	248,32653	32,67347	32,67				
54	54	742992	0	23-Apr-00	1	04-Apr-18	215	17	10	14	10	14	248,54545	-33,54545	33,55	248,32653	-33,32653	33,33	248,32653	-33,32653	3				

Validação do Método de Nolla e de Moorrees na Estimativa da Idade Dentária numa População Portuguesa dos 17 aos 23 anos

65	65	767359	0	09-Feb-01	4	27/mar/19	217	18	10	14	10	14	248,54545	-31,54545	31,55	248,32653	-31,32653	31,33	248,32653	-31,32653	31,33				
66	66	817227	0	11/jun/00	1	20-Sep-13	159	13	2	3	3	3	153,28571	5,71429	5,71	155	4	4	152	7	7				
67	67	817227	0	11/jun/00	2	07-Dec-16	197	16	6	6	6	6	173,07792	23,92208	23,92	171,7931	25,2069	25,21	171,67273	25,32727	25,33				
68	68	828520	1	14/jun/01	1	25/jul/17	193	16	9	13	9	13	214	-21	21	216,28571	-23,28571	23,29	214,2963	-21,2963	21,3	9	13	9	13
69	69	831745	0	03-Sep-01	1	04-Sep-14	156	13	8	11	8	11	196,5625	-40,5625	40,56	198,05882	-42,05882	42,06	196,5625	-40,5625	40,56				
70	70	848233	1	25-Oct-01	1	23/jun/16	175	14	6	7	6	7	173,07792	1,92208	1,92	177	2	2	175,5102	-0,5102	0,51				
71	71	865598	0	03-Aug-00	1	16-Oct-18	218	18	1000	1000	1000	1000													
72	72	888902	0	11/jan/01	1	06/jan/16	179	14	4	5	4	5	161,53385	17,84615	17,85	160,80702	18,19298	18,19	161,53385	17,84615	17,85				
73	73	888902	0	11/jan/01	2	24/jul/19	222	18	7	8	1000	1000	188,71429	33,28571	33,29	186,55556	35,44444	35,44	194,41837	27,58163	27,58				
74	74	895969	0	21-Dec-01	1	23/jul/14	151	12	3	4	3	4	159,08333	-8,08333	8,08	159,625	-8,625	8,62	159,625	-8,625	8,63	5	5	5	5
75	75	895969	0	21-Dec-01	2	06-May-15	160	13	5	6	5	6	161,55319	-1,55319	1,55	171,7931	-11,7931	11,79	174	-14	14				
76	76	895969	0	21-Dec-01	3	09-Apr-16	171	14	5	6	5	6	161,55319	9,44681	9,45	171,7931	-0,7931	0,79	174	-3	3				
77	77	895969	0	21-Dec-01	4	17/jan/17	180	15	6	6	6	6	173,07792	6,92208	6,92	171,7931	8,2069	8,21	171,67273	8,32727	8,33				
78	78	895969	0	22-Dec-01	6	31/jul/18	199	16	6	6	6	6	173,07792	25,92208	25,92	171,7931	27,2069	27,21	171,67273	27,32727	27,33				
79	79	897841	1	04/mar/01	1	17/mar/19	216	18	6	7	6	7	173,07792	42,92208	42,92	177	39	39	175,5102	40,4898	40,49				
80	80	903243	1	07-Apr-02	1	04/nov/15	162	13	10	14	10	14	248,54545	-86,54545	86,55	248,32653	-86,32653	86,33	248,32653	-86,32653	86,33				
81	81	903243	1	07-Apr-02	2	14-Sep-16	173	14	4	5	4	5	161,53385	11,84615	11,85	160,80702	12,19298	12,19	161,53385	11,84615	11,85	6	6	6	6
82	82	903243	1	07-Apr-02	3	20/mar/18	191	15	5	6	5	6	161,55319	29,44681	29,45	171,7931	19,2069	19,21	174	17	17				
83	83	913073	1	04-May-02	1	03-Apr-17	178	14	6	7	6	7	173,07792	4,92208	4,92	177	1	1	175,5102	2,4898	2,49				
84	84	921909	0	30/jun/02	1	06-Sep-17	182	15	3	4	3	4	159,08333	22,91667	22,92	159,625	22,375	22,38	159,625	22,375	22,37				
85	85	921909	0	30/jun/02	2	06/nov/18	196	16	6	6	6	6	173,07792	22,92208	22,92	171,7931	24,2069	24,21	171,67273	24,32727	24,33				
86	86	921909	0	30/jun/02	3	10-Dec-19	209	17	6	7	6	7	173,07792	35,92208	35,92	177	32	32	175,5102	33,4898	33,49				
87	87	939850	0	22/jul/98	1	27-Aug-10	145	12	6	6	6	6	173,07792	-28,07792	28,08	171,7931	-26,7931	26,79	171,67273	-26,67273	26,67				
88	88	939850	0	22/jul/98	2	03-Oct-18	242	20	10	14	10	14	248,54545	-6,54545	6,55	248,32653	-6,32653	6,33	248,32653	-6,32653	6,33				
89	89	948177	1	26/nov/93	1	12/mar/14	243	20	10	14	10	14	248,54545	-5,54545	5,55	248,32653	-5,32653	5,33	248,32653	-5,32653	5,33				
90	90	954036	1	06/jun/02	1	09/mar/16	165	13	5	5	6	6	161,55319	3,44681	3,45	160,80702	4,19298	4,19	160,70455	4,29545	4,3				
91	91	954036	1	06/jun/02	2	21-Dec-16	174	14	6	6	7	8	173,07792	0,92208	0,92	171,7931	2,2069	2,21	171,67273	2,32727	2,33				
92	92	954036	1	06/jun/02	3	21-Dec-17	186	15	7	8	7	9	188,71429	-2,71429	2,71	186,55556	-0,55556	0,56	194,41837	-8,41837	8,42	7	9	7	9
93	93	954036	1	06/jun/02	4	16/jan/19	199	16	8	11	9	13	196,5625	2,4375	2,44	198,05882	0,94118	0,94	196,5625	2,4375	2,44				
94	94	955386	1	24-Oct-02	5	11/jan/17	170	14	4	5	4	5	161,53385	8,84615	8,85	160,80702	9,19298	9,19	161,53385	8,84615	8,85				
95	95	969374	0	11/jan/03	1	18-Apr-15	147	12	4	5	4	5	161,53385	-14,15385	14,15	160,80702	-13,80702	13,81	161,53385	-14,15385	14,15				
96	96	969374	0	11/jan/03	2	20-Apr-16	159	13	4	5	4	5	161,53385	-2,15385	2,15	160,80702	-1,80702	1,81	161,53385	-2,15385	2,15				
97	97	969374	0	11/jan/03	3	17-Apr-17	171	14	7	9	7	9	188,71429	-17,71429	17,71	186,56	-15,56	15,56	186,56	-15,56	15,56				
98	98	969374	0	11/jan/03	4	16/jan/19	192	16	9	13	9	13	214	-22	22	216,28571	-24,28571	24,29	214,2963	-22,2963	22,3				
99	99	977731	1	08/mar/03	1	11/mar/19	192	16	7	9	7	9	188,71429	3,28571	3,29	186,56	5,44	5,44	186,56	5,44	5,44				
100	100	983091	0	30/mar/03	1	01-Feb-16	154	12	7	9	7	9	188,71429	-34,71429	34,71	186,56	-32,56	32,56	186,56	-32,56	32,56				
101	101	983091	0	30/mar/03	2	08/jan/20	201	16	7	9	7	9	188,71429	12,28571	12,29	186,56	14,44	14,44	186,56	14,44	14,44				
102	102	986534	0	18-Apr-95	1	15/nov/17	270	22	10	14	10	14	248,54545	21,45455	21,45	248,32653	21,67347	21,67	248,32653	21,67347	21,67				
103	103	987077	1	11/nov/89	1	26-May-09	234	19	10	14	10	14	248,54545	-14,54545	14,55	248,32653	-14,32653	14,33	248,32653	-14,32653	14,33				
104	104	987418	1	13-Apr-03	1	16-Sep-19	197	16	9	12	9	12	214	-17	17	206	-9	9	206	-9	9				
105	105	996357	1	14/mar/03	1	03-Oct-16	162	13	5	5	5	5	161,55319	0,44681	0,45	160,80702	1,19298	1,19	160,70455	1,29545	1,3				
106	106	996357	1	14/mar/03	2	02-May-18	181	15	6	6	6	6	173,07792	7,92208	7,92	171,7931	9,2069	9,21	171,67273	9,32727	9,33				
107	107	1003111	0	19/nov/96	1	03/jun/14	210	17	7	9	7	9	188,71429	21,28571	21,29	186,56	23,44	23,44	186,56	23,44	23,44				
108	108	1006134	1	08/jun/98	1	21-Aug-16	218	18	9	13	9	13	214	4	4	216,28571	1,71429	1,71	214,2963	3,7037	3,7				
109	109	1006134	1	08/jun/98	2	04-Oct-18	243	20	10	14	10	14	248,54545	-5,54545	5,55	248,32653	-5,32653	5,33	248,32653	-5,32653	5,33				
110	110	1010044	1	25/jul/03	1	18-Sep-17	169	14	5	5	5	5	161,55319	7,44681	7,45	160,80702	8,19298	8,19	160,70455	8,29545	8,3				
111	111	1041419	1	29/jul/01	1	09-Feb-15	162	13	6	6	6	6	173,07792	-11,07792	11,08	171,7931	-9,7931	9,79	171,67273	-9,67273	9,67				
112	112	1041419	1	29/jul/01	2	14/nov/19	219	18	10	14	10	14	248,54545	-29,54545	29,55	248,32653	-29,32653	29,33	248,32653	-29,32653	29,33	10	14	10	14
113	113	1046665	1	24-Dec-00	1	14-Sep-15	176	14	6	6	6	6	173,07792	2,92208	2,92	171,7931	4,2069	4,21	171,67273	4,32727	4,33				
114	114	1047928	0	03/jul/03	1	18/jul/18	180	15	7	9	7	9	188,71429	-8,71429	8,71	186,56	-6,56	6,56	186,56	-6,56	6,56				
115	115	1049618	1	19-Dec-03	1	29-Sep-17	165	13	5	5	5	5	161,55319	3,44681	3,45	160,80702	4,19298	4,19	160,70455	4,29545	4,3				
116	116	1049618	1	19-Dec-03	2	16/jan/18	168	14	6	6	6	6	173,07792	-5,07792	5,08	171,7931	-3,7931	3,79	171,67273	-3,67273	3,67				
117	117	1053227	1	11-Sep-04	1	29-Sep-16	144	12	5	5	5	5	161,55319	-17,55319	17,55	160,80702	-16,80702	16,81	160,70455	-16,70455	16,7				
118	118	1053679	1	08-Sep-03	1	11/jan/19	184	15	7	9	7	9	188,71429	-4,71429	4,71	186,56	-2,56	2,56	186,56	-2,56	2,56				
119	119	1053679	1	08-Sep-03	1	18/nov/19	194	16	8	11	8	11	196,5625	-2,5625	2,56	198,05882	-4,05882	4,06	196,5625	-2,5625	2,56				
120	120	1053854	1	10																					

Validação do Método de Nolla e de Moorrees na Estimativa da Idade Dentária numa População Portuguesa dos 17 aos 23 anos

132	132	1104160	0	08-Aug-04	1	01-Sep-17	156	13	6	6	6	6	173,07792	-17,07792	17,08	171,7931	-15,7931	15,79	171,67273	-15,67273	15,67					
133	133	1106976	1	10-Sep-04	1	22/jan/18	160	13	5	5	5	5	161,55319	-1,55319	1,55	160,80702	-0,80702	0,81	160,70455	-0,70455	0,7					
134	134	1108380	1	15-Sep-04	1	17-Dec-19	183	15	6	6	6	6	173,07792	9,92208	9,92	171,7931	11,2069	11,21	171,67273	11,32727	11,33					
135	135	1109765	0	25/jun/04	1	26/jan/17	151	12	5	5	5	5	161,55319	-10,55319	10,55	160,80702	-9,80702	9,81	160,70455	-9,70455	9,7	4		5	4	5
136	136	1110697	1	24-Sep-04	1	21/jul/19	177	14	7	8	7	8	188,71429	-11,71429	11,71	186,55556	-9,55556	9,56	194,41837	-17,41837	17,42					
137	137	1121970	1	24-Aug-93	1	29-Apr-16	272	22	10	14	10	14	248,54545	23,45455	23,45	248,32653	23,67347	23,67	248,32653	23,67347	23,67					
138	138	1129532	0	18-Dec-04	1	23/jan/18	157	13	6	6	6	6	173,07792	-16,07792	16,08	171,7931	-14,7931	14,79	171,67273	-14,67273	14,67					
139	139	1135450	0	17/mar/04	1	04/jul/19	183	15	7	9	7	9	188,71429	-5,71429	5,71	186,56	-3,56	3,56	186,56	-3,56	3,56					
140	140	1135450	0	17/mar/04	2	19-Dec-19	189	15	7	9	7	9	188,71429	0,28571	0,29	186,56	2,44	2,44	186,56	2,44	2,44					
141	141	1135510	0	11/jan/05	1	04-Apr-18	158	13	6	7	6	7	173,07792	-15,07792	15,08	177	-19	19	175,5102	-17,5102	17,51					
142	142	1135510	0	11/jan/05	2	20/mar/19	170	14	7	9	7	9	188,71429	-18,71429	18,71	186,56	-16,56	16,56	186,56	-16,56	16,56					
143	143	1136767	0	18-May-03	1	23-May-19	192	16	9	13	9	13	214	-22	22	216,28571	-24,28571	24,29	214,2963	-22,2963	22,3					
144	144	1143553	1	10/nov/04	1	28-Feb-18	159	13	5	5	5	5	161,55319	-2,55319	2,55	160,80702	-1,80702	1,81	160,70455	-1,70455	1,7					
145	145	1143553	1	10/nov/04	2	02/jul/19	175	14	6	6	6	6	173,07792	1,92208	1,92	171,7931	3,2069	3,21	171,67273	3,32727	3,33					
146	146	1152460	0	05-May-04	1	20/jun/18	169	14	7	9	7	9	188,71429	-19,71429	19,71	186,56	-17,56	17,56	186,56	-17,56	17,56					
147	147	1162594	1	16-Oct-01	1	06-Aug-18	201	16	6	6	6	6	173,07792	27,92208	27,92	171,7931	29,2069	29,21	171,67273	29,32727	29,33	5		5	5	5
148	148	1171816	1	10-Aug-93	1	14-May-09	189	15	8	11	8	11	196,5625	-7,5625	7,56	198,05882	-9,05882	9,06	196,5625	-7,5625	7,56					
149	149	1171816	1	10-Aug-93	2	18-Oct-12	230	19	10	14	10	14	248,54545	-18,54545	18,55	248,32653	-18,32653	18,33	248,32653	-18,32653	18,33					
150	150	1172942	0	12/mar/00	1	21-Dec-18	225	18	6	7	6	7	173,07792	51,92208	51,92	177	48	48	175,5102	49,4888	49,49					
151	151	1173413	1	01/nov/98	1	05/jan/18	230	19	10	14	10	14	248,54545	-18,54545	18,55	248,32653	-18,32653	18,33	248,32653	-18,32653	18,33					
152	152	1175504	1	21/jun/05	1	30-May-18	155	12	3	4	1000	1000	159,08333	-4,08333	4,08	159,625	-4,625	4,62	159,625	-4,625	4,63					
153	153	1175504	1	21/jun/05	2	04/jul/18	156	13	4	5	1000	1000	161,15385	-5,15385	5,15	160,80702	-4,80702	4,81	161,15385	-5,15385	5,15					
154	154	1175504	1	21/jun/05	3	16/jul/19	168	14	6	6	1000	1000	173,07792	-5,07792	5,08	171,7931	-3,7931	3,79	171,67273	-3,67273	3,67					
155	155	1178662	0	03/jun/03	1	19-Apr-16	154	12	3	3	3	3	159,08333	-5,08333	5,08	155	-1	1	158	-4	4					
156	156	1178662	0	03/jun/03	2	22-Feb-17	164	13	4	5	4	5	161,15385	2,84615	2,85	160,80702	3,19298	3,19	161,15385	2,84615	2,85					
157	157	1178662	0	03/jun/03	3	25/jan/18	175	14	6	6	6	6	173,07792	1,92208	1,92	171,7931	3,2069	3,21	171,67273	3,32727	3,33					
158	158	1181283	1	23-Oct-01	1	19-Feb-14	147	12	5	5	5	5	161,55319	-14,55319	14,55	160,80702	-13,80702	13,81	160,70455	-13,70455	13,7					
159	159	1181283	1	23-Oct-01	2	20-May-15	162	13	6	6	6	6	173,07792	-11,07792	11,08	171,7931	-9,7931	9,79	171,67273	-9,67273	9,67					
160	160	1181283	1	23-Oct-01	3	19/jan/18	194	16	7	9	7	9	188,71429	5,28571	5,29	186,56	7,44	7,44	186,56	7,44	7,44					
161	161	1187115	1	16-Oct-03	1	12/mar/19	184	15	6	8	6	8	173,07792	10,92208	10,92	186,55556	-2,55556	2,56	180,26531	3,73469	3,73					
162	162	1197193	0	11-Apr-03	1	17-May-17	169	14	6	8	6	8	173,07792	-4,07792	4,08	186,55556	-17,55556	17,56	180,26531	-11,26531	11,27					
163	163	1197193	0	11-Apr-03	2	12/mar/19	191	15	7	9	7	9	188,71429	2,28571	2,29	186,56	4,44	4,44	186,56	4,44	4,44					
164	164	1198283	1	16-Feb-00	1	15-Dec-16	201	16	6	8	6	8	173,07792	27,92208	27,92	186,55556	14,44444	14,44	180,26531	20,73469	20,73					
165	165	1198283	1	16-Feb-00	2	09-Feb-18	215	17	7	9	7	9	188,71429	26,28571	26,29	186,56	28,44	28,44	186,56	28,44	28,44					
166	166	1210363	1	06/jul/05	1	24-Sep-18	158	13	3	3	1000	1000	159,08333	-1,08333	1,08	155	3	3	158	0	0					
167	167	1215196	1	15-Aug-05	1	11/jan/18	148	12	5	5	5	5	161,55319	-13,55319	13,55	160,80702	-12,80702	12,81	160,70455	-12,70455	12,7					
168	168	1227021	1	05/mar/06	1	10/jul/18	148	12	5	5	5	5	161,55319	-13,55319	13,55	160,80702	-12,80702	12,81	160,70455	-12,70455	12,7					
169	169	1230447	1	07/jan/06	1	27/mar/19	158	13	3	3	3	3	159,08333	-1,08333	1,08	155	3	3	158	0	0					
170	170	1234856	1	29/mar/05	1	16-Oct-18	162	13	5	5	5	5	161,55319	0,44681	0,45	160,80702	1,19298	1,19	160,70455	1,29545	1,3					
171	171	1250747	0	01-Oct-96	1	01-Dec-15	230	19	10	14	10	14	248,54545	-18,54545	18,55	248,32653	-18,32653	18,33	248,32653	-18,32653	18,33					
172	172	1250747	0	01-Oct-96	2	31-Aug-18	262	21	10	14	10	14	248,54545	13,45455	13,45	248,32653	13,67347	13,67	248,32653	13,67347	13,67					
173	173	1267486	0	18-May-97	1	07/jan/20	271	22	1000	1000	10	14														
174	174	1279787	1	19-May-03	1	27/jun/18	181	15	5	5	5	5	161,55319	19,44681	19,45	160,80702	20,19298	20,19	160,70455	20,29545	20,3					
175	175	1282209	1	15-Dec-05	1	04-May-18	148	12	5	5	5	5	161,55319	-13,55319	13,55	160,80702	-12,80702	12,81	160,70455	-12,70455	12,7	3		4	3	4
176	176	1292483	0	26-Oct-06	1	29-Oct-18	144	12	5	5	5	5	161,55319	-17,55319	17,55	160,80702	-16,80702	16,81	160,70455	-16,70455	16,7					
177	177	1292483	0	26-Oct-06	2	29/jan/19	147	12	5	5	5	5	161,55319	-14,55319	14,55	160,80702	-13,80702	13,81	160,70455	-13,70455	13,7					
178	178	1292483	0	26-Oct-06	3	31-May-19	151	12	5	5	5	5	161,55319	-10,55319	10,55	160,80702	-9,80702	9,81	160,70455	-9,70455	9,7					
179	179	1292483	0	26-Oct-06	4	11-Oct-19	155	12	5	5	5	5	161,55319	-6,55319	6,55	160,80702	-5,80702	5,81	160,70455	-5,70455	5,7					
180	180	1293704	1	31-Oct-06	1	11-Dec-18	145	12	1000	1000	1000	1000														
181	181	1303051	1	05-Dec-06	1	28/jan/19	145	12	6	6	6	6	173,07792	-28,07792	28,08	171,7931	-26,7931	26,79	171,67273	-26,67273	26,67					
182	182	1303051	1	05-Dec-06	2	07/jan/20	157	13	6	6	6	6	173,07792	-16,07792	16,08	171,7931	-14,7931	14,79	171,67273	-14,67273	14,67					
183	183	1319029	0	01-Feb-07	1	10/jul/19	149	12	6	6	6	6	173,07792	-24,07792	24,08	171,7931	-22,7931	22,79	171,67273	-22,67273	22,67					
184	184	1334855	0	08/mar/07	1	09-Apr-19	145	12	2	3	2	3	153,28571	-8,28571	8,29	155	-10	10	152	-7	7	3		4	3	4
185	185	1338747	1	16-Apr-93	1	27/nov/11	223	18	10	14	10	14	248,54545	-25,54545	25,55	248,32653	-25,3265									

Validação do Método de Nolla e de Moorrees na Estimativa da Idade Dentária numa População Portuguesa dos 17 aos 23 anos

199	199	1432933	1	06/nov/03	1	18-Dec-15	145	12	5	5	5	5	161,55319	-16,55319	16,55	160,80702	-15,80702	15,81	160,70455	-15,70455	15,7				
200	200	1433423	1	15/mar/06	1	23/jul/18	148	12	6	6	6	6	173,07792	-25,07792	25,08	171,7931	-23,7931	23,79	171,67273	-23,67273	23,67				
201	201	1433423	1	15/mar/06	2	17/jul/19	160	13	7	7	7	7	188,71429	-28,71429	28,71	177	-17	17	189,66327	-29,66327	29,66	6	6	6	6
202	202	1449558	1	07-Dec-97	1	25-Oct-18	250	20	10	14	10	14	248,54545	1,45455	1,45	248,32653	1,67347	1,67	248,32653	1,67347	1,67				
203	203	1644188	1	22-Sep-97	1	16-Apr-19	258	21	10	14	10	14	248,54545	9,45455	9,45	248,32653	9,67347	9,67	248,32653	9,67347	9,67				
204	204	1669957	1	03-Apr-03	1	17/jun/16	158	13	6	6	6	6	173,07792	-15,07792	15,08	171,7931	-13,7931	13,79	171,67273	-13,67273	13,67				
205	205	1673747	1	18/mar/04	1	01-Apr-19	180	15	6	7	6	7	173,07792	6,92208	6,92	177	3	3	175,5102	4,4898	4,49	6	7	6	7
206	206	1674493	1	06/jun/96	1	02-Sep-17	254	21	10	14	10	14	248,54545	5,45455	5,45	248,32653	5,67347	5,67	248,32653	5,67347	5,67				
207	207	1674493	1	06/jun/96	2	31-Oct-19	280	23	10	14	10	14	248,54545	31,45455	31,45	248,32653	31,67347	31,67	248,32653	31,67347	31,67	10	14	10	14
208	208	1685662	0	24-Oct-03	1	27-Feb-19	184	15	7	10	7	10	188,71429	-4,71429	4,71	196	-12	12	196	-12	12				
209	209	1705520	0	22-Aug-04	1	23/nov/16	147	12	5	5	5	5	161,55319	-14,55319	14,55	160,80702	-13,80702	13,81	160,70455	-13,70455	13,7				
210	210	1705520	0	22-Aug-04	2	06/jun/18	165	13	6	6	6	6	173,07792	-8,07792	8,08	171,7931	-6,7931	6,79	171,67273	-6,67273	6,67				
211	211	1714120	1	30-Apr-04	1	01/jul/16	146	12	5	5	5	5	161,55319	-15,55319	15,55	160,80702	-14,80702	14,81	160,70455	-14,70455	14,7				
212	212	1714887	1	10/nov/06	1	11/mar/19	148	12	5	5	5	5	161,55319	-13,55319	13,55	160,80702	-12,80702	12,81	160,70455	-12,70455	12,7				
213	213	1731957	0	03/jun/04	1	06/jul/18	169	14	6	7	6	7	173,07792	-4,07792	4,08	177	-8	8	175,5102	-6,5102	6,51	6	6	6	7
214	214	1743437	0	23-Apr-06	1	06/jul/18	146	12	6	6	6	6	173,07792	-27,07792	27,08	171,7931	-25,7931	25,79	171,67273	-25,67273	25,67				
215	215	1743437	0	23-Apr-06	2	19/jun/19	157	13	6	7	6	7	173,07792	-16,07792	16,08	177	-20	20	175,5102	-18,5102	18,51				
216	216	1751920	1	28-Oct-03	1	20/jul/16	152	12	6	6	6	6	173,07792	-21,07792	21,08	171,7931	-19,7931	19,79	171,67273	-19,67273	19,67				
217	217	1773694	1	02/jan/00	1	06-May-19	232	19	10	14	10	14	248,54545	-16,54545	16,55	248,32653	-16,32653	16,33	248,32653	-16,32653	16,33	10	14	10	14
218	218	1778900	0	02/mar/93	1	03/nov/15	272	22	10	14	10	14	248,54545	23,45455	23,45	248,32653	23,67347	23,67	248,32653	23,67347	23,67				
219	219	1802578	0	01-Aug-06	1	08-Apr-19	152	12	6	6	6	6	173,07792	-21,07792	21,08	171,7931	-19,7931	19,79	171,67273	-19,67273	19,67				
220	220	1803099	0	30/nov/99	1	14-Oct-19	238	19	10	14	10	14	248,54545	-10,54545	10,55	248,32653	-10,32653	10,33	248,32653	-10,32653	10,33				
221	221	1812779	1	21-May-01	1	25-Oct-17	197	16	7	9	7	9	188,71429	8,28571	8,29	186,56	10,44	10,44	186,56	10,44	10,44				
222	222	1812779	1	21-May-01	2	21/jan/20	224	18	9	13	9	13	214	10	10	216,28571	7,71429	7,71	214,2963	9,7037	9,7				
223	223	1855957	0	20-Aug-03	1	03-Apr-18	175	14	6	7	6	7	173,07792	1,92208	1,92	177	-2	2	175,5102	-0,5102	0,51				
224	224	1867027	1	20-Aug-95	1	14/mar/11	186	15	7	9	7	9	188,71429	-2,71429	2,71	186,56	-0,56	0,56	186,56	-0,56	0,56				
225	225	1867027	1	20-Aug-95	2	19-Aug-13	215	17	9	13	9	13	214	1	1	216,28571	-1,28571	1,29	214,2963	0,7037	0,7				
226	226	1867027	1	20-Aug-95	3	03-Aug-16	251	20	10	14	10	14	248,54545	2,45455	2,45	248,32653	2,67347	2,67	248,32653	2,67347	2,67				
227	227	1867027	1	20-Aug-95	4	30-May-19	285	23	10	14	10	14	248,54545	36,45455	36,45	248,32653	36,67347	36,67	248,32653	36,67347	36,67	10	14	10	14
228	228	1868770	0	29/mar/00	1	14/mar/13	155	12	6	6	6	6	173,07792	-18,07792	18,08	171,7931	-16,7931	16,79	171,67273	-16,67273	16,67				
229	229	1868770	0	29/mar/00	2	27-Dec-17	212	17	10	14	10	14	248,54545	-36,54545	36,55	248,32653	-36,32653	36,33	248,32653	-36,32653	36,33				
230	230	1876401	1	11/jan/98	1	31/jul/17	234	19	7	10	7	10	188,71429	45,28571	45,29	196	38	38	196	38	38				
231	231	1888861	0	18-Oct-01	1	11/mar/19	208	17	5	5	6	6	161,55319	46,44681	46,45	160,80702	47,19298	47,19	160,70455	47,29545	47,3				
232	232	1891312	0	30-Sep-04	1	03/mar/17	149	12	6	6	6	6	173,07792	-24,07792	24,08	171,7931	-22,7931	22,79	171,67273	-22,67273	22,67				
233	233	1899455	0	09-Sep-98	1	16-Oct-17	229	19	10	14	10	14	248,54545	-19,54545	19,55	248,32653	-19,32653	19,33	248,32653	-19,32653	19,33	10	14	10	14
234	234	1912577	0	16/jun/06	1	13-Feb-19	151	12	6	7	6	7	173,07792	-22,07792	22,08	177	-26	26	175,5102	-24,5102	24,51				
235	235	1936363	0	16/jun/06	1	15/mar/19	152	12	6	6	6	6	173,07792	-21,07792	21,08	171,7931	-19,7931	19,79	171,67273	-19,67273	19,67				
236	236	1941121	0	12-Dec-95	1	18/mar/11	183	15	7	9	7	9	188,71429	-5,71429	5,71	186,56	-3,56	3,56	186,56	-3,56	3,56				
237	237	1948734	0	25/mar/98	1	18/jul/11	159	13	7	9	7	9	188,71429	-29,71429	29,71	186,56	-27,56	27,56	186,56	-27,56	27,56				
238	238	1949481	0	29/mar/99	1	05-May-16	205	17	9	13	9	13	214	-9	9	216,28571	-11,28571	11,29	214,2963	-9,2963	9,3				
239	239	1960809	1	30/jul/04	1	19-Oct-18	170	14	6	6	6	6	173,07792	-3,07792	3,08	171,7931	-1,7931	1,79	171,67273	-1,67273	1,67				
240	240	1970507	0	20/jan/07	1	30-Aug-19	151	12	4	5	4	5	161,55385	-10,15385	10,15	160,80702	-9,80702	9,81	161,5385	-10,15385	10,15				
241	241	1975914	1	01-May-93	1	19/jul/12	230	19	9	13	9	13	214	16	16	216,28571	13,71429	13,71	214,2963	15,7037	15,7				
242	242	1975914	1	01-May-93	2	11-Oct-12	233	19	9	13	9	13	214	19	19	216,28571	16,71429	16,71	214,2963	18,7037	18,7				
243	243	1975914	1	01-May-93	3	11-Apr-13	239	19	9	13	9	13	214	25	25	216,28571	22,71429	22,71	214,2963	24,7037	24,7				
244	244	1975914	1	01-May-93	4	21/nov/13	246	20	10	14	10	14	248,54545	-2,54545	2,55	248,32653	-2,32653	2,33	248,32653	-2,32653	2,33				
245	245	1975914	1	01-May-93	5	11-Dec-14	259	21	10	14	10	14	248,54545	10,45455	10,45	248,32653	10,67347	10,67	248,32653	10,67347	10,67	10	14	10	14
246	246	1995991	0	05-Oct-06	1	13-Feb-19	148	12	6	6	6	6	173,07792	-25,07792	25,08	171,7931	-23,7931	23,79	171,67273	-23,67273	23,67				
247	247	1998864	1	30-Sep-03	1	12-Apr-18	174	14	8	11	8	11	196,5625	-22,5625	22,56	198,05882	-24,05882	24,06	196,5625	-22,5625	22,56				
248	248	1998864	1	30-Sep-03	2	25/mar/19	185	15	9	13	9	13	214	-29	29	216,28571	-31,28571	31,29	214,2963	-29,2963	29,3				
249	249	1998864	1	30-Sep-03	3	03-Feb-20	196	16	10	14	10	14	248,54545	-52,54545	52,55	248,32653	-52,32653	52,33	248,32653	-52,32653	52,33				
250	250	1999750	0	28/nov/02	1	08-Aug-18	188	15	8	11	8	11	196,5625	-8,5625	8,56	198,05882	-10,05882	10,06	196,5625	-8,5625	8,56				
251	251	2016324	0	07/jun/92	1	16/jul/14	265	22	1000	1000	1000	1000													
252	252	2027091	1	11/jun/04	1	19-Sep-18	171	14	6	6	6	6	173,07792	-2,07792	2,08	171,7931	-0,7931	0,79	171,67273	-0,67273	0,67	6	6	6	6
253	253	204																							

Validação do Método de Nolla e de Moorrees na Estimativa da Idade Dentária numa População Portuguesa dos 17 aos 23 anos

[illegible]

Validação do Método de Nolla e de Moorrees na Estimativa da Idade Dentária numa População Portuguesa dos 17
aos 23 anos

333	333	2525751	1	06-May-96	1	07-Sep-18	268	22	10	14	10	14	248,54545	19,45455	19,45	248,32653	19,67347	19,67	248,32653	19,67347	19,67				
334	334	2532360	1	06-Sep-96	1	02/jan/19	267	22	1000	1000	1000	1000													
335	335	2545272	0	12/nov/97	1	08/jul/18	247	20	9	13	9	13	214	33	33	216,28571	30,71429	30,71	214,2963	32,7037	32,7				
336	336	2553325	1	15/nov/99	1	22/jan/19	230	19	10	14	10	14	248,54545	-18,54545	18,55	248,32653	-18,32653	18,33	248,32653	-18,32653	18,33				
337	337	2553325	1	15/nov/99	2	16-Apr-19	233	19	10	14	10	14	248,54545	-15,54545	15,55	248,32653	-15,32653	15,33	248,32653	-15,32653	15,33				
338	338	2572492	1	26/mar/06	1	02/jan/20	165	13	8	11	8	11	196,5625	-31,5625	31,56	198,05882	-33,05882	33,06	196,5625	-31,5625	31,56				
339	339	2573585	1	24-Dec-02	1	12/jun/19	197	16	7	10	7	10	188,71429	8,28571	8,29	196	1	1	196	1	1				
340	340	2573666	1	17/jul/01	1	10-Apr-19	212	17	8	11	8	11	196,5625	15,4375	15,44	198,05882	13,94118	13,94	196,5625	15,4375	15,44				
341	341	2575043	0	11-Apr-97	1	31-Oct-18	258	21	10	14	10	14	248,54545	9,45455	9,45	248,32653	9,67347	9,67	248,32653	9,67347	9,67	10	14	10	14
342	342	2589367	0	17/jul/03	1	31/jan/19	186	15	8	11	8	11	196,5625	-10,5625	10,56	198,05882	-12,05882	12,06	196,5625	-10,5625	10,56				
343	343	2594371	1	06/jul/97	1	04-Feb-19	258	21	10	14	1000	1000	248,54545	9,45455	9,45	248,32653	9,67347	9,67	248,32653	9,67347	9,67				
344	344	2601054	1	09-Oct-02	1	03-Apr-19	197	16	8	11	8	11	196,5625	0,4375	0,44	198,05882	-1,05882	1,06	196,5625	0,4375	0,44				
345	345	2612960	1	10/nov/98	1	19/mar/19	244	20	10	14	10	14	248,54545	-4,54545	4,55	248,32653	-4,32653	4,33	248,32653	-4,32653	4,33				
346	346	2625459	0	30/nov/01	1	08-May-19	209	17	10	14	10	14	248,54545	-39,54545	39,55	248,32653	-39,32653	39,33	248,32653	-39,32653	39,33				
347	347	2675681	0	22-Dec-95	1	14-Oct-19	285	23	10	14	1000	1000	248,54545	36,45455	36,45	248,32653	36,67347	36,67	248,32653	36,67347	36,67				
348	348	2686228	0	09-Aug-99	1	18/nov/19	243	20	10	14	10	14	248,54545	-5,54545	5,55	248,32653	-5,32653	5,33	248,32653	-5,32653	5,33				

Validação do Método de Nolla e de Moorrees na Estimativa da Idade Dentária numa População Portuguesa dos 17 aos 23 anos

[illegible]

Validação do Método de Nolla e de Moorrees na Estimativa da Idade Dentária numa População Portuguesa dos 17 aos 23 anos

[illegible]

Validação do Método de Nolla e de Moorrees na Estimativa da Idade Dentária numa População Portuguesa dos 17 aos 23 anos

[illegible]

Validação do Método de Nolla e de Moorrees na Estimativa da Idade Dentária numa População Portuguesa dos 17 aos 23 anos

[illegible]

Validação do Método de Nolla e de Moorrees na Estimativa da Idade Dentária numa População Portuguesa dos 17 aos 23 anos

[illegible]

Validação do Método de Nolla e de Moorrees na Estimativa da Idade Dentária numa População Portuguesa dos 17
aos 23 anos

0	0	0	0	0	0	0	0	1	0	0	0	0	0	0	0	0	0	0	0	0	0	1	0
0	0	0	0	0	0	0	1	0	0	0	0	0	0	0	0	0	0	0	0	0	1	0	0
0	0	0	0	0	0	0	0	1	0	0	0	0	0	0	0	0	0	0	0	0	0	1	0
0	0	0	0	0	0	0	0	1	0	0	0	0	0	0	0	0	0	0	0	0	0	1	0
0	0	0	0	0	0	1	0	0	0	0	0	0	0	0	0	0	0	0	0	1	0	0	0
0	0	0	0	0	1	0	0	0	0	0	0	0	0	0	0	0	0	1	0	0	0	0	0
0	0	0	0	0	0	1	0	0	0	0	0	0	0	0	0	0	0	1	0	0	0	0	0
0	0	0	0	0	0	1	0	0	0	0	0	0	0	0	0	0	0	0	1	0	0	0	0
0	0	0	0	0	0	0	0	1	0	0	0	0	0	0	0	0	0	0	0	0	0	1	0
0	0	0	0	0	0	0	0	1	0	0	0	0	0	0	0	0	0	0	0	0	0	1	0
0	0	0	0	0	0	1	0	0	0	0	0	0	0	0	0	0	0	1	0	0	0	0	0
0	0	0	0	0	0	0	0	1	0	0	0	0	0	0	0	0	0	0	0	0	0	1	0
0	0	0	0	0	0	0	0	1	0	0	0	0	0	0	0	0	0	0	0	0	0	1	0
0	0	0	0	0	0	0	0	1	0	0	0	0	0	0	0	0	0	0	0	0	0	1	0
0	0	0	0	0	0	0	0	1	0	0	0	0	0	0	0	0	0	0	0	0	0	1	0
0	0	0	0	0	0	0	0	1	0	0	0	0	0	0	0	0	0	0	0	0	0	1	0
0	0	0	0	0	0	0	0	1	0	0	0	0	0	0	0	0	0	0	0	0	0	1	0
0	0	0	0	0	0	0	0	1	0	0	0	0	0	0	0	0	0	0	0	0	0	1	0
0	0	0	0	0	0	0	0	1	0	0	0	0	0	0	0	0	0	0	0	0	0	1	0

Validação do Método de Nolla e de Moorrees na Estimativa da Idade Dentária numa População Portuguesa dos 17
aos 23 anos

spss	Número	Número do Processo	Número do Rx	Género do paciente	Data de Nascimento	Data do Rx panorâmico	Idade (em meses) na data do Rx panorâmico	Idade (em anos) na data do Rx panorâmico	Idade superior ou igual a 17 anos	Dente 38 - estágio de Nolla	Dente 38 - estágio de Moorrees	Dente 48 - estágio de Nolla	Índice de Maturidade - dente 38	Índice de Maturidade - dente 48	Estadiamento de Demirjian	Dente 48 - estágio de Moorrees	Estimativa Nolla	Erro de estimativa Nolla	Erro em termos absolutos de estimativa Nolla	Estimativa Moorrees	Erro de estimativa Moorrees	Erro em termos absolutos de estimativa Moorrees	Estimativa Nolla+Moorrees
1	1	12491	1	0	21/mar/94	09-Sep-16	269	22	1	10	14	10	0	0	6	14	248,54545	20,45455	20,45	248,32653	20,67347	20,67	248,32653
2	2	55921	1	1	10-Apr-94	06/jun/12	217	18	1	9	13	10	0	0	6	14	214	3	3	216,28571	0,71429	0,71	214,2963
3	3	55921	2	1	10-Apr-94	24-Oct-16	270	22	1	10	14	10	0	0	6	14	248,54545	21,45455	21,45	248,32653	21,67347	21,67	248,32653
4	4	58662	1	1	08/jan/95	19-Feb-15	241	20	1	10	14	10	0	0	6	14	248,54545	-7,54545	7,55	248,32653	-7,32653	7,33	248,32653
5	5	96557	1	0	06-May-93	21/jan/11	212	17	1	10	14	10	0	0	6	14	248,54545	-36,54545	36,55	248,32653	-36,32653	36,33	248,32653
6	6	142380	1	0	20-Dec-91	31/jan/13	253	21	1	9	13	10	0	0	6	14	214	39	39	216,28571	36,71429	36,71	214,2963
7	7	320160	1	0	02-Feb-97	18/jan/17	239	19	1	8	11	8	0,264	0,284	5	11	196,5625	42,4375	42,44	198,05882	40,94118	40,94	196,5625
8	8	320160	2	0	03-Feb-97	03-Feb-20	276	23	1	10	14	10	0	0	6	14	248,54545	27,45455	27,45	248,32653	27,67347	27,67	248,32653
9	9	320226	1	0	21/nov/96	30/jul/09	152	12	0	5	5	5	0,924	0,928	2	5	161,55319	-9,55319	9,55	160,80702	-8,80702	8,81	160,70455
10	10	320226	2	0	21/nov/96	28/jan/11	170	14	0	6	6	6	0,544	0,492	3	6	173,07792	-3,07792	3,08	171,7931	-1,7931	1,79	171,67273
11	11	322221	1	0	06-Oct-96	21-Aug-14	214	17	1	6	6	6	0,613	0,613	3	6	173,07792	40,92208	40,92	171,7931	42,2069	42,21	171,67273
12	12	322221	2	0	06-Oct-96	02/jan/19	266	22	1	10	14	8	0,186	0,186	5	11	248,54545	17,45455	17,45	248,32653	17,67347	17,67	248,32653
13	13	348556	1	0	08-Apr-97	18-Feb-15	214	17	1	6	6	6	0,603	0,855	3	6	173,07792	40,92208	40,92	171,7931	42,2069	42,21	171,67273
14	14	348556	2	0	08-Apr-97	17-May-16	229	19	1	7	7	7	0,409	0,464	4	7	188,71429	40,28571	40,29	177	52	189,66327	
15	15	348556	3	0	08-Apr-97	22/jan/19	261	21	1	8	11	8	0	0	6	11	196,5625	64,4375	64,44	198,05882	62,94118	62,94	196,5625
16	16	368960	1	1	23/jun/96	26-Dec-18	270	22	1	10	13	10	0	0	6	13	248,54545	21,45455	21,45	216,28571	53,71429	53,71	270
17	17	397134	1	1	07-Aug-97	30/jan/13	185	15	0	8	11	8	0,212	0,2	4	11	196,5625	-11,5625	11,56	198,05882	-13,05882	13,06	196,5625
18	18	403142	1	0	09-Dec-90	27-Dec-11	252	21	1	10	14	10	0,161	0,15	5	14	248,54545	3,45455	3,45	248,32653	3,67347	3,67	248,32653
19	19	439020	1	1	24-Aug-96	13/nov/13	206	17	1	10	14	10	0	0	6	14	248,54545	-42,54545	42,55	248,32653	-42,32653	42,33	248,32653
20	20	446196	1	0	26-Sep-96	24-Sep-19	275	22	1	1000	1000	10	0,051	0,051	7	14							
21	21	495052	1	1	01-May-98	27-Feb-13	177	14	0	6	7	6	0,379	0,474	3	7	173,07792	3,92208	3,92	177	0	0	175,5102
22	22	495052	2	1	01-May-98	24/jan/17	224	18	1	10	14	10	0	0	6	14	248,54545	-24,54545	24,55	248,32653	-24,32653	24,33	248,32653
23	23	495052	3	1	01-May-98	30-Apr-19	251	20	1	10	14	10	0	0	6	14	248,54545	2,45455	2,45	248,32653	2,67347	2,67	248,32653
24	24	504366	1	1	17/jul/96	23/jan/15	222	18	1	9	11	9	0,158	0,259	5	11	214	8	8	198,05882	23,94118	23,94	222
25	25	507778	1	0	30-May-98	22/jan/17	223	19	1	10	14	10	0,112	0,079	5	14	248,54545	-25,54545	25,55	248,32653	-25,32653	25,33	248,32653
26	26	526757	1	0	10-Oct-96	09-Oct-14	215	17	1	9	12	9	0,274	0,21	5	12	214	1	1	206	9	9	206
27	27	526757	2	0	10-Oct-96	19-Sep-18	263	21	1	10	14	10	0	0	6	14	248,54545	14,45455	14,45	248,32653	14,67347	14,67	248,32653
28	28	526757	3	0	10-Oct-96	16-Sep-19	275	22	1	1000	1000	10	0	0	6	14							
29	29	528002	1	1	28-Aug-98	09-May-16	212	17	1	9	13	9	0,233	0,14	5	13	214	-2	2	216,28571	-4,28571	4,29	214,2963
30	30	528002	2	1	28-Aug-98	13/mar/19	246	20	1	10	14	10	0	0	6	14	248,54545	-2,54545	2,55	248,32653	-2,32653	2,33	248,32653
31	31	528002	3	1	28-Aug-98	19/nov/19	254	21	1	10	14	10	0	0	6	14	248,54545	5,45455	5,45	248,32653	5,67347	5,67	248,32653
32	32	528002	4	1	28-Aug-98	13/jan/20	256	21	1	10	14	10	0	0	6	14	248,54545	7,45455	7,45	248,32653	7,67347	7,67	248,32653
33	33	537685	1	0	04-Aug-97	26-May-17	237	19	1	10	14	10	0	0	6	14	248,54545	-11,54545	11,55	248,32653	-11,32653	11,33	248,32653
34	34	537685	2	0	04-Aug-97	15/nov/17	243	20	1	10	14	10	0	0	6	14	248,54545	-5,54545	5,55	248,32653	-5,32653	5,33	248,32653
35	35	541022	1	0	26-Aug-98	03/mar/17	222	18	1	10	14	10	0	0	6	14	248,54545	-26,54545	26,55	248,32653	-26,32653	26,33	248,32653
36	36	541022	2	0	26-Aug-98	27/jun/18	238	19	1	10	14	1000	0	0	6	1000	248,54545	-10,54545	10,55	248,32653	-10,32653	10,33	248,32653
37	37	555230	1	1	15/mar/96	26/mar/19	276	23	1	10	14	10	0	0	6	14	248,54545	27,45455	27,45	248,32653	27,67347	27,67	248,32653
38	38	573779	1	1	18-Oct-98	25/jul/16	213	17	1	7	9	7	0,17	0,174	3	9	188,71429	24,28571	24,29	186,56	26,44	26,44	186,56
39	39	604151	1	0	18-Sep-97	20-Feb-19	257	21	1	10	14	10	0	0	6	14	248,54545	8,45455	8,45	248,32653	8,67347	8,67	248,32653
40	40	618251	1	1	03/jul/99	02/jan/14	173	14	0	5	5	5	1,161	1,292	2	5	161,55319	11,44681	11,45	160,80702	12,19298	12,19	160,70455
41	41	618251	2	1	03/jul/99	05/jan/16	198	16	0	6	6	6	0,714	0,905	2	6	173,07792	24,92208	24,92	171,7931	26,2069	26,21	171,67273
42	42	618251	3	1	03/jul/99	26-Feb-19	235	19	1	9	13	9	0,091	0,145	5	13	214	21	21	216,28571	18,71429	18,71	214,2963
43	43	621872	1	1	07/jun/99	25-Feb-19	236	19	1	1000	1000	1000	0,082	0,064	4	1000							
44	44	645050	1	0	05/mar/99	04-Oct-17	222	18	1	10	14	10	0	0	6	14	248,54545	-26,54545	26,55	248,32653	-26,32653	26,33	248,32653
45	45	645050	2	0	05/mar/99	29/nov/18	236	19	1	10	14	10	0	0	6	14	248,54545	-12,54545	12,55	248,32653	-12,32653	12,33	248,32653
46	46	654915	1	1	12/jan/00	22/mar/13	158	13	0	6	6	6	0,383	0,408	3	6	173,07792	-15,07792	15,08	171,7931	-13,7931	13,79	171,67273
47	47	654915	2	1	12/jan/00	18-Apr-19	231	19	1	10	14	10	0	0	6	14	248,54545	-17,54545	17,55	248,32653	-17,32653	17,33	248,32653
48	48	679537	1	1	23-Apr-98	12/jul/13	182	15	0	6	8	6	0,322	0,27	4	8	173,07792	8,92208	8,92	186,55556	-4,55556	4,56	180,26531
49	49	703806	1	0	05/jul/00	23-May-13	154	12	0	5	5	5	0,691	0,933	2	5	161,55319	-7,55319	7,55	160,80702	-6,80702	6,81	160,70455
50	50	703806	2	0	05/jul/00	06/mar/19	224	18	1	9	13	9	0,112	0,245	5	13	214	10	10	216,28571	7,71429	7,71	214,2963
51	51	705532	1	0	21/jul/94	13-Apr-18	284	23	1	10	14	10	0	0	6	14	248,54545	35,45455	35,45	248,32653	35,67347	35,67	248,32653
52	52	705576	1	0	08-Aug-88	23/nov/10	267	22	1	10	14	10	0	0	6	14	248,54545	18,45455	18,45	248,32653	18,67347	18,67	248,32653
53	53	705576	2	0	08-Aug-88	25/jan/12	281	23	1	10	14	10	0	0	6	14	248,54545	32,45455	32,45	248,32653	32,67347	32,67	248,32653
54	54	742992	1	0	23-Apr-00	04-Apr-18	215	17	1	10	14	10	0	0	6	14	248,54545	-33,54545	33,55	248,32653	-33,32653	33,33	248,32653
55	55	749361	1	0	14-Dec-00	28/jun/13	150	12	0	5	5	5	1,06	1,048	2	5	161,55319	-11,55319	11,55	160,80702	-10,80702	10,81	160,70455
56	56	749361	2	0	14-Dec-00	16-Dec-15	180	15	0	6	6	6	0,403	0,53	3	6	173,07792	6,92208	6,92	171,7931	8,2069	8,21	171,67273
57	57																						

Validação do Método de Nolla e de Moorrees na Estimativa da Idade Dentária numa População Portuguesa dos 17 aos 23 anos

62	62	767359	1	0	09-Feb-01	07/jan/15	166	13	0	4	5	4	0,75	0,74	2	5	161,15385	4,84615	4,85	160,80702	5,19298	5,19	161,15385
63	63	767359	2	0	09-Feb-01	20/mar/18	205	17	1	9	13	9	0,155	0,088	4	13	214	-9	9	216,28571	-11,28571	11,29	214,2963
64	64	767359	3	0	09-Feb-01	10/jul/18	209	17	1	9	13	9	0,086	0,09	4	13	214	-5	5	216,28571	-7,28571	7,29	214,2963
65	65	767359	4	0	09-Feb-01	27/mar/19	217	18	1	10	14	10	0,075	0,059	5	14	248,54545	-31,54545	31,55	248,32653	-31,32653	31,33	248,32653
66	66	817227	1	0	11/jun/00	20-Sep-13	159	13	0	2	3	3	1,527	1,306	1	3	153,28571	5,71429	5,71	155	4	152	
67	67	817227	2	0	11/jun/00	07-Dec-16	197	16	0	6	6	6	0,877	0,696	2	6	173,07792	23,92208	23,92	171,7931	25,2069	25,21	171,67273
68	68	828520	1	1	14/jun/01	25/jul/17	193	16	0	9	13	9	0,096	0,1	5	13	214	-21	21	216,28571	-23,28571	23,29	214,2963
69	69	831745	1	0	03-Sep-01	04-Sep-14	156	13	0	8	11	8	0,168	0,207	5	11	196,5625	-40,5625	40,56	198,05882	-42,05882	42,06	196,5625
70	70	848233	1	1	25-Oct-01	23/jun/16	175	14	0	6	7	6	0,393	0,37	3	7	173,07792	1,92208	1,92	177	-2	175,5102	
71	71	865598	1	0	03-Aug-00	16-Oct-18	218	18	1	1000	1000	1000	0,218		4	1000							
72	72	888902	1	0	11/jan/01	06/jan/16	179	14	0	4	5	4	0,881	0,959	2	5	161,15385	17,84615	17,85	160,80702	18,19298	18,19	161,15385
73	73	888902	2	0	11/jan/01	24/jul/19	222	18	1	7	8	1000	0,172		4	1000	188,71429	33,28571	33,29	186,55556	35,44444	35,44	194,41837
74	74	895969	1	0	21-Dec-01	23/jul/14	151	12	0	3	4	3	1,002	1,16	1	4	159,08333	-8,08333	8,08	159,625	-8,625	8,62	159,625
75	75	895969	2	0	21-Dec-01	06-May-15	160	13	0	5	6	5	0,976	0,926	2	6	161,55319	-1,55319	1,55	171,7931	-11,7931	11,79	174
76	76	895969	3	0	21-Dec-01	06-Apr-16	171	14	0	5	6	5	0,639	0,946	2	6	161,55319	9,44681	9,45	171,7931	-0,7931	0,79	174
77	77	895969	4	0	21-Dec-01	17/jan/17	180	15	0	6	6	6	0,805	0,784	2	6	173,07792	6,92208	6,92	171,7931	8,2069	8,21	171,67273
78	78	895969	5	0	22-Dec-01	31/jul/18	199	16	0	6	6	6	0,652	0,658	2	6	173,07792	25,92208	25,92	171,7931	27,2069	27,21	171,67273
79	79	897841	1	1	04/mar/01	17/mar/19	216	18	1	6	7	6	0,122	0,14	5	7	173,07792	42,92208	42,92	177	39	175,5102	
80	80	903243	1	1	07-Apr-02	04/nov/15	162	13	0	10	14	10	0,498	0,885	2	14	248,54545	-86,54545	86,55	248,32653	-86,32653	86,33	248,32653
81	81	903243	2	1	07-Apr-02	14-Sep-16	173	14	0	4	5	4	0,386	0,705	2	5	161,15385	11,84615	11,85	160,80702	12,19298	12,19	161,15385
82	82	903243	3	1	07-Apr-02	20/mar/18	191	15	0	5	6	5	0,298	0,653	2	6	161,55319	29,44681	29,45	171,7931	19,2069	19,21	174
83	83	913073	1	1	04-May-02	03-Apr-17	178	14	0	6	7	6	0,992	0,863	2	7	173,07792	4,92208	4,92	177	1	175,5102	
84	84	921909	1	0	30/jun/02	06-Sep-17	182	15	0	3	4	3	0,469	0,776	3	4	159,08333	22,91667	22,92	159,625	22,375	22,38	159,625
85	85	921909	2	0	30/jun/02	06/nov/18	196	16	0	6	6	6	0,233	0,328	4	6	173,07792	22,92208	22,92	171,7931	24,2069	24,21	171,67273
86	86	921909	3	0	30/jun/02	10-Dec-19	209	17	1	6	7	6	0,115	0,235	5	7	173,07792	35,92208	35,92	177	32	175,5102	
87	87	939850	1	0	22/jul/98	27-Aug-10	145	12	0	6	6	6	0,992	0,93	2	6	173,07792	-28,07792	28,08	171,7931	-26,79	171,67273	
88	88	939850	2	0	22/jul/98	03-Oct-18	242	20	1	10	14	10	0	0	6	14	248,54545	-6,54545	6,55	248,32653	-6,32653	6,33	248,32653
89	89	948177	1	1	26/nov/93	12/mar/14	243	20	1	10	14	10	0,05	0,033	5	14	248,54545	-5,54545	5,55	248,32653	-5,32653	5,33	248,32653
90	90	954036	1	1	06/jun/02	09/mar/16	165	13	0	5	5	6	0,694	0,441	2	6	161,55319	3,44681	3,45	160,80702	4,19298	4,19	160,70455
91	91	954036	2	1	06/jun/02	21-Dec-16	174	14	0	6	6	7	0,576	0,264	2	8	173,07792	0,92208	0,92	171,7931	2,2069	2,21	171,67273
92	92	954036	3	1	06/jun/02	21-Dec-17	186	15	0	7	8	7	0,297	0,158	3	9	188,71429	-2,71429	2,71	186,55556	-0,55556	0,56	194,41837
93	93	954036	4	1	06/jun/02	16/jan/19	199	16	0	8	11	9	0,19	0,057	4	13	196,5625	2,4375	2,44	198,05882	0,94118	0,94	196,5625
94	94	955386	1	1	24-Oct-02	11/jan/17	170	14	0	4	5	4	1,15	1,04	2	5	161,15385	8,84615	8,85	160,80702	9,19298	9,19	161,15385
95	95	969374	1	0	11/jan/03	16-Apr-15	147	12	0	4	5	4	1,019	0,881	2	5	161,15385	-14,15385	14,15	160,80702	-13,80702	13,81	161,15385
96	96	969374	2	0	11/jan/03	20-Apr-16	159	13	0	4	5	4	0,539	0,752	3	5	161,15385	-2,15385	2,15	160,80702	-1,80702	1,81	161,15385
97	97	969374	3	0	11/jan/03	17-Apr-17	171	14	0	7	9	7	0,327	0,234	3	9	188,71429	-17,71429	17,71	186,56	-15,56	15,56	186,56
98	98	969374	4	0	11/jan/03	16/jan/19	192	16	0	9	13	9	0,198	0,098	4	13	214	-22	22	216,28571	-24,28571	24,29	214,2963
99	99	977731	1	1	08/mar/03	11/mar/19	192	16	0	7	9	7	0,203	0,217	4	9	188,71429	3,28571	3,29	186,56	5,44	5,44	186,56
100	100	983091	1	0	30/mar/03	01-Feb-16	154	12	0	7	9	7	0,275	0,235	4	9	188,71429	-34,71429	34,71	186,56	-32,56	32,56	186,56
101	101	983091	2	0	30/mar/03	08/jan/20	201	16	0	7	9	7	0,049	0,06	5	9	188,71429	12,28571	12,29	186,56	14,44	14,44	186,56
102	102	986534	1	0	18-Apr-95	15/nov/17	270	22	1	10	14	10	0	0	6	14	248,54545	21,45455	21,45	248,32653	21,67347	21,67	248,32653
103	103	987077	1	1	11/nov/89	26-May-09	234	19	1	10	14	10	0,092	0,035	5	14	248,54545	-14,54545	14,55	248,32653	-14,32653	14,33	248,32653
104	104	987418	1	1	13-Apr-03	16-Sep-19	197	16	0	9	12	9	0,184	0,133	4	12	214	-17	17	206	-9	9	206
105	105	996357	1	1	14/mar/03	03-Oct-16	162	13	0	5	5	5	0,89	0,97	2	5	161,55319	0,44681	0,45	160,80702	1,19298	1,19	160,70455
106	106	996357	2	1	14/mar/03	02-May-18	181	15	0	6	6	6	0,588	0,666	3	6	173,07792	7,92208	7,92	171,7931	9,2069	9,21	171,67273
107	107	1003111	1	0	19/nov/96	03/jun/14	210	17	1	7	9	7	0,242	0,288	4	9	188,71429	21,28571	21,29	186,56	23,44	23,44	186,56
108	108	1006134	1	1	08/jun/98	21-Aug-16	218	18	1	9	13	9	0,148	0,195	5	13	214	4	4	216,28571	1,71429	1,71	214,2963
109	109	1006134	2	1	08/jun/98	04-Oct-18	243	20	1	10	14	10	0	0	6	14	248,54545	-5,54545	5,55	248,32653	-5,32653	5,33	248,32653
110	110	1010044	1	1	25/jul/03	18-Sep-17	169	14	0	5	5	5	0,787	0,848	2	5	161,55319	7,44681	7,45	160,80702	8,19298	8,19	160,70455
111	111	1041419	1	1	29/jul/01	09-Feb-15	162	13	0	6	6	6	0,495	0,622	3	6	173,07792	-11,07792	11,08	171,7931	-9,7931	9,79	171,67273
112	112	1041419	2	1	29/jul/01	14/nov/19	219	18	1	10	14	10	0	0	6	14	248,54545	-29,54545	29,55	248,32653	-29,32653	29,33	248,32653
113	113	1046665	1	1	24-Dec-00	14-Sep-15	176	14	0	6	6	6	0,786	0,65	2	6	173,07792	2,92208	2,92	171,7931	4,2069	4,21	171,67273
114	114	1047928	1	0	03/jul/03	18/jul/18	180	15	0	7	9	7	0,389	0,419	3	9	188,71429	-8,71429	8,71	186,56	-6,56	6,56	186,56
115	115	1049618	1	1	19-Dec-03	29-Sep-17	165	13	0	5	5	5	0,892	0,932	2	5	161,55319	3,44681	3,45	160,80702	4,19298	4,19	160,70455
116	116	1049618	2	1	19-Dec-03	16/jan/18	168	14	0	6	6	6	0,827	0,83	2	6	173,07792	-5,07792	5,08	171,7931	-3,7931	3,79	171,67273
117	117	1053227	1	1	11-Sep-04	29-Sep-16	144	12	0	5	5	5	0,804	0,885	2	5	161,55319	-17,55319	17,55	160,80702	-16,80702	16,81	160,70455
118	118	1053679	1	1	08-Sep-03	11/jan/19	184	15	0	7	9	7	0,222	0,285	4	9	188,71429	-4,71429	4,71	186,56	-2,56	2,56	186,56
11																							

Validação do Método de Nolla e de Moorrees na Estimativa da Idade Dentária numa População Portuguesa dos 17
aos 23 anos

129	129	1090961	1	0	25/jun/04	24/jul/17	156	13	0	3	4	3	1.033	1.232	2	4	159,08333	-3,08333	3,08	159,625	-3,625	3,62	159,625
130	130	1091719	1	1	09/jun/04	24-Feb-17	152	12	0	3	4	3	1.03	0,918	2	4	159,08333	-7,08333	7,08	159,625	-7,625	7,62	159,625
131	131	1091719	2	1	09/jun/04	03-Apr-19	177	14	0	6	6	6	0,439	0,444	3	6	173,07792	3,92208	3,92	171,7931	5,2069	5,21	171,67273
132	132	1104160	1	0	08-Aug-04	01-Sep-17	156	13	0	6	6	6	0,592	0,548	2	6	173,07792	-17,07792	17,08	171,7931	-15,7931	15,79	171,67273
133	133	1106976	1	1	10-Sep-04	22/jan/18	160	13	0	5	5	5	1,004	0,891	2	5	161,55319	-1,55319	1,55	160,80702	-0,80702	0,81	160,70455
134	134	1108380	1	1	15-Sep-04	17-Dec-19	183	15	0	6	6	6	0,814	0,699	2	6	173,07792	9,92208	9,92	171,7931	11,2069	11,21	171,67273
135	135	1109765	1	0	25/jun/04	26/jan/17	151	12	0	5	5	5	0,866	1,019	2	5	161,55319	-10,55319	10,55	160,80702	-9,80702	9,81	160,70455
136	136	1110697	1	1	24-Sep-04	21/jul/19	177	14	0	7	8	7	0,27	0,442	3	8	188,71429	-11,71429	11,71	186,55556	-9,55556	9,56	194,41837
137	137	1121970	1	1	24-Aug-93	29-Apr-16	272	22	1	10	14	10	0	0	6	14	248,54545	23,45455	23,45	248,32653	23,67347	23,67	248,32653
138	138	1129532	1	0	18-Dec-04	23/jan/18	157	13	0	6	6	6	0,833	0,761	2	6	173,07792	-16,07792	16,08	171,7931	-14,7931	14,79	171,67273
139	139	1135450	1	0	17/mar/04	04/jul/19	183	15	0	7	9	7	0,403	0,453	3	9	188,71429	-5,71429	5,71	186,56	-3,56	3,56	186,56
140	140	1135450	2	0	17/mar/04	19-Dec-19	189	15	0	7	9	7	0,342	0,385	3	9	188,71429	0,28571	0,29	186,56	2,44	2,44	186,56
141	141	1135510	1	0	11/jan/05	04-Apr-18	158	13	0	6	7	6	0,41	0,422	3	7	173,07792	-15,07792	15,08	177	-19	19	175,5102
142	142	1135510	2	0	11/jan/05	20/mar/19	170	14	0	7	9	7	0,308	0,29	4	9	188,71429	-18,71429	18,71	186,56	-16,56	16,56	186,56
143	143	1136767	1	0	18-May-03	23-May-19	192	16	0	9	13	9	0,133	0,081	5	13	214	-22	22	216,28571	-24,28571	24,29	214,2963
144	144	1143553	1	1	10/nov/04	28-Feb-18	159	13	0	5	5	5	1,145	1,159	2	5	161,55319	-2,55319	2,55	160,80702	-1,80702	1,81	160,70455
145	145	1143553	2	1	10/nov/04	02/jul/19	175	14	0	6	6	6	1,034	0,985	2	6	173,07792	1,92208	1,92	171,7931	3,2069	3,21	171,67273
146	146	1152460	1	0	05-May-04	20/jun/18	169	14	0	7	9	7	0,225	0,103	4	9	188,71429	-19,71429	19,71	186,56	-17,56	17,56	186,56
147	147	1162594	1	1	16-Oct-01	06-Aug-18	201	16	0	6	6	6	0,625	0,587	2	6	173,07792	27,92208	27,92	171,7931	29,2069	29,21	171,67273
148	148	1171816	1	1	10-Aug-93	14-May-09	189	15	0	8	11	8	0,179	0,283	5	11	196,5625	-7,5625	7,56	198,05882	-9,05882	9,06	196,5625
149	149	1171816	2	1	10-Aug-93	18-Oct-12	230	19	1	10	14	10	0	0	6	14	248,54545	-18,54545	18,55	248,32653	-18,32653	18,33	248,32653
150	150	1172942	1	0	12/mar/00	21-Dec-18	225	18	1	6	7	6	0,849	0,703	2	7	173,07792	51,92208	51,92	177	48	48	175,5102
151	151	1173413	1	1	01/nov/98	05/jan/18	230	19	1	10	14	10	0,163	0,134	5	14	248,54545	-18,54545	18,55	248,32653	-18,32653	18,33	248,32653
152	152	1175504	1	1	21/jun/05	30-May-18	155	12	0	3	4	1000	1,055	1	1000	159,08333	-4,08333	4,08	159,625	-4,625	4,62	159,625	
153	153	1175504	2	1	21/jun/05	04/jul/18	156	13	0	4	5	1000	1,038	1	1000	161,15385	-5,15385	5,15	160,80702	-4,80702	4,81	161,15385	
154	154	1175504	3	1	21/jun/05	16/jul/19	168	14	0	6	6	1000	0,852	1	1000	173,07792	-5,07792	5,08	171,7931	-3,7931	3,79	171,67273	
155	155	1178662	1	0	03/jun/03	19-Apr-16	154	12	0	3	3	3	0,982	1,156	2	3	159,08333	-5,08333	5,08	155	-1	1	158
156	156	1178662	2	0	03/jun/03	22-Feb-17	164	13	0	4	5	4	0,93	0,988	2	5	161,15385	2,84615	2,85	160,80702	3,19298	3,19	161,15385
157	157	1178662	3	0	03/jun/03	25/jan/18	175	14	0	6	6	6	0,806	0,758	2	6	173,07792	1,92208	1,92	171,7931	3,2069	3,21	171,67273
158	158	1181283	1	1	23-Oct-01	19-Feb-14	147	12	0	5	5	5	0,696	0,927	2	5	161,55319	-14,55319	14,55	160,80702	-13,80702	13,81	160,70455
159	159	1181283	2	1	23-Oct-01	20-May-15	162	13	0	6	6	6	0,594	0,692	2	6	173,07792	-11,07792	11,08	171,7931	-9,7931	9,79	171,67273
160	160	1181283	3	1	23-Oct-01	19/jan/18	194	16	0	7	9	7	0,139	0,177	5	9	188,71429	5,28571	5,29	186,56	7,44	7,44	186,56
161	161	1187115	1	1	16-Oct-03	12/mar/19	184	15	0	6	8	6	0,271	0,393	3	8	173,07792	10,92208	10,92	186,55556	-2,55556	2,56	180,26531
162	162	1197193	1	0	11-Apr-03	17-May-17	169	14	0	6	8	6	0,52	0,47	3	8	173,07792	-4,07792	4,08	186,55556	-17,55556	17,56	180,26531
163	163	1197193	2	0	11-Apr-03	12/mar/19	191	15	0	7	9	7	0,297	0,274	4	9	188,71429	2,28571	2,29	186,56	4,44	4,44	186,56
164	164	1198283	1	1	16-Feb-00	15-Dec-16	201	16	0	6	8	6	0,406	0,351	3	8	173,07792	27,92208	27,92	186,55556	14,44444	14,44	180,26531
165	165	1198283	2	1	16-Feb-00	09-Feb-18	215	17	1	7	9	7	0,183	0,288	4	9	188,71429	26,28571	26,29	186,56	28,44	28,44	186,56
166	166	1210363	1	1	06/jul/05	24-Sep-18	158	13	0	3	3	1000	0,954	1	1000	159,08333	-1,08333	1,08	155	3	3	158	
167	167	1215196	1	1	15-Aug-05	11/jan/18	148	12	0	5	5	5	0,88	0,782	2	5	161,55319	-13,55319	13,55	160,80702	-12,80702	12,81	160,70455
168	168	1227021	1	1	05/mar/06	10/jul/18	148	12	0	5	5	5	0,978	0,892	2	5	161,55319	-13,55319	13,55	160,80702	-12,80702	12,81	160,70455
169	169	1230447	1	1	07/jan/06	27/mar/19	158	13	0	3	3	3	1,386	1,435	1	3	159,08333	-1,08333	1,08	155	3	3	158
170	170	1234856	1	1	29/mar/05	16-Oct-18	162	13	0	5	5	5	1,117	0,946	2	5	161,55319	0,44681	0,45	160,80702	1,19298	1,19	160,70455
171	171	1250747	1	0	01-Oct-96	01-Dec-15	230	19	1	10	14	10	0,031	0,028	5	14	248,54545	-18,54545	18,55	248,32653	-18,32653	18,33	248,32653
172	172	1250747	2	0	01-Oct-96	31-Aug-18	262	21	1	10	14	10	0	0	6	14	248,54545	13,45455	13,45	248,32653	13,67347	13,67	248,32653
173	173	1267486	1	0	18-May-97	07/jan/20	271	22	1	1000	1000	10	0	0	6	14							
174	174	1279787	1	1	19-May-03	27/jul/18	181	15	0	5	5	5	0,837	0,848	2	5	161,55319	19,44681	19,45	160,80702	20,19298	20,19	160,70455
175	175	1282209	1	1	15-Dec-05	04-May-18	148	12	0	5	5	5	0,959	0,991	2	5	161,55319	-13,55319	13,55	160,80702	-12,80702	12,81	160,70455
176	176	1292483	1	0	26-Oct-06	29-Oct-18	144	12	0	5	5	5	0,873	0,759	2	5	161,55319	-17,55319	17,55	160,80702	-16,80702	16,81	160,70455
177	177	1292483	2	0	26-Oct-06	29/jan/19	147	12	0	5	5	5	0,928	0,751	2	5	161,55319	-14,55319	14,55	160,80702	-13,80702	13,81	160,70455
178	178	1292483	3	0	26-Oct-06	31-May-19	151	12	0	5	5	5	0,98	0,736	2	5	161,55319	-10,55319	10,55	160,80702	-9,80702	9,81	160,70455
179	179	1292483	4	0	26-Oct-06	11-Oct-19	155	12	0	5	5	5	0,928	0,693	2	5	161,55319	-6,55319	6,55	160,80702	-5,80702	5,81	160,70455
180	180	1293704	1	1	31-Oct-06	11-Dec-18	145	12	0	1000	1000	1000	1,239	1	2	1000							
181	181	1303051	1	1	05-Dec-06	28/jan/19	145	12	0	6	6	6	0,826	0,89	2	6	173,07792	-28,07792	28,08	171,7931	-26,7931	26,79	171,67273
182	182	1303051	2	1	05-Dec-06	07/jan/20	157	13	0	6	6	6	0,78	0,837	2	6	173,07792	-16,07792	16,08	171,7931	-14,7931	14,79	171,67273
183	183	1319029	1	0	01-Feb-07	10/jul/19	149	12	0	6	6	6	0,886	0,945	2	6	173,07792	-24,07792	24,08	171,7931	-22,7931	22,79	171,67273
184	184	1334855	1	0	08/mar/07	09-Apr-19	145	12	0	2	3	2	1,249	1,607	1	3	153,28571	-8,28571	8,29	155	-10	10	152
185	185	1338747	1	1	16-Apr-93	27/nov																	

Validação do Método de Nolla e de Moorrees na Estimativa da Idade Dentária numa População Portuguesa dos 17 aos 23 anos

196	196	1432890	1	1	16-Feb-04	09-Sep-16	150	12	0	4	5	4	0,979	1,034	1	5	161,15385	-11,15385	11,15	160,80702	-10,80702	10,81	161,15385
197	197	1432890	2	1	16-Feb-04	29-Sep-17	173	13	0	4	5	4	0,894	1	1	5	161,15385	1,84615	1,85	160,80702	2,19298	2,19	161,15385
198	198	1432890	3	1	16-Feb-04	17/jan/19	169	14	0	6	6	6	0,83	1,009	2	6	173,07792	5,92208	5,92	171,7931	7,2069	7,21	171,67273
199	199	1432933	1	1	06/nov/03	18-Dec-15	145	12	0	5	5	5	1,165	1,042	2	5	161,55319	-16,55319	16,55	160,80702	-15,80702	15,81	160,70455
200	200	1433423	1	1	15/mar/06	23/jul/18	148	12	0	6	6	6	0,704	0,765	2	6	173,07792	-25,07792	25,08	171,7931	-23,7931	23,79	171,67273
201	201	1433423	2	1	15/mar/06	17/jul/19	160	13	0	7	7	6	0,656	0,652	2	6	188,71429	-28,71429	28,71	177	-17	17	189,66327
202	202	1449558	1	1	07-Dec-97	25-Oct-18	250	20	1	10	14	10	0	0	6	14	248,54545	1,45455	1,45	248,32653	1,67347	1,67	248,32653
203	203	1644188	1	1	22-Sep-97	16-Apr-19	258	21	1	10	14	10	0	0	6	14	248,54545	9,45455	9,45	248,32653	9,67347	9,67	248,32653
204	204	1669957	1	1	03-Apr-03	17/jun/16	158	13	0	6	6	6	0,991	0,822	2	6	173,07792	-15,07792	15,08	171,7931	-13,7931	13,79	171,67273
205	205	1673747	1	1	18/mar/04	01-Apr-19	180	15	0	6	7	6	0,511	0,538	3	7	173,07792	6,92208	6,92	177	3	3	175,5102
206	206	1674493	1	1	06/jun/96	02-Sep-17	254	21	1	10	14	10	0,023	0,023	5	14	248,54545	5,45455	5,45	248,32653	5,67347	5,67	248,32653
207	207	1674493	2	1	06/jun/96	31-Oct-19	280	23	1	10	14	10	0	0	6	14	248,54545	31,45455	31,45	248,32653	31,67347	31,67	248,32653
208	208	1685662	1	0	24-Oct-03	27-Feb-19	184	15	0	7	10	7	0,241	0,245	4	10	188,71429	-4,71429	4,71	196	-12	12	196
209	209	1705520	1	0	22-Aug-04	23/nov/16	147	12	0	5	5	5	1,036	1,258	2	5	161,55319	-14,55319	14,55	160,80702	-13,80702	13,81	160,70455
210	210	1705520	2	0	22-Aug-04	06/jun/18	165	13	0	6	6	6	0,737	0,915	2	6	173,07792	-8,07792	8,08	171,7931	-6,7931	6,79	171,67273
211	211	1714120	1	1	30-Apr-04	01/jul/16	146	12	0	5	5	5	1,067	1,003	2	5	161,55319	-15,55319	15,55	160,80702	-14,80702	14,81	160,70455
212	212	1714887	1	1	10/nov/06	11/mar/19	148	12	0	5	5	5	0,958	0,866	2	5	161,55319	-13,55319	13,55	160,80702	-12,80702	12,81	160,70455
213	213	1731957	1	0	03/jun/04	06/jul/18	169	14	0	6	7	6	0,589	0,504	2	7	173,07792	-4,07792	4,08	177	-8	8	175,5102
214	214	1743437	1	0	23-Apr-06	06/jul/18	146	12	0	6	6	6	0,7	0,648	2	6	173,07792	-27,07792	27,08	171,7931	-25,7931	25,79	171,67273
215	215	1743437	2	0	23-Apr-06	19/jun/19	157	13	0	6	7	6	0,33	0,433	3	7	173,07792	-16,07792	16,08	177	-20	20	175,5102
216	216	1751920	1	1	28-Oct-03	20/jul/16	152	12	0	6	6	6	0,765	0,75	2	6	173,07792	-21,07792	21,08	171,7931	-19,7931	19,79	171,67273
217	217	1773694	1	1	02/jan/00	06-May-19	232	19	1	10	14	10	0	0	6	14	248,54545	-16,54545	16,55	248,32653	-16,32653	16,33	248,32653
218	218	1778900	1	0	02/mar/93	03/nov/15	272	22	1	10	14	10	0,129	0	5	14	248,54545	23,45455	23,45	248,32653	23,67347	23,67	248,32653
219	219	1802578	1	0	01-Aug-06	08-Apr-19	152	12	0	6	6	6	0,929	0,798	2	6	173,07792	-21,07792	21,08	171,7931	-19,7931	19,79	171,67273
220	220	1803099	1	0	30/nov/99	14-Oct-19	238	19	1	10	14	10	0	0	6	14	248,54545	-10,54545	10,55	248,32653	-10,32653	10,33	248,32653
221	221	1812779	1	1	21-May-01	25-Oct-17	197	16	0	7	9	7	0,352	0,313	4	9	188,71429	8,28571	8,29	186,56	10,44	10,44	186,56
222	222	1812779	2	1	21-May-01	21/jan/20	224	18	1	9	13	9	0,136	0,119	5	13	214	30	10	216,28571	7,71429	7,71	214,2963
223	223	1855957	1	0	20-Aug-03	03-Apr-18	175	14	0	6	7	6	0,648	0,832	3	7	173,07792	1,92208	1,92	177	-2	2	175,5102
224	224	1867027	1	1	20-Aug-95	14/mar/11	186	15	0	7	9	7	0,162	0,231	3	9	188,71429	-2,71429	2,71	186,56	-0,56	0,56	186,56
225	225	1867027	2	1	20-Aug-95	19-Aug-13	215	17	1	9	13	9	0,088	0,089	5	13	214	1	1	216,28571	-1,28571	1,29	214,2963
226	226	1867027	3	1	20-Aug-95	03-Aug-16	251	20	1	10	14	10	0	0	6	14	248,54545	2,45455	2,45	248,32653	2,67347	2,67	248,32653
227	227	1867027	4	1	20-Aug-95	30-May-19	285	23	1	10	14	10	0	0	6	14	248,54545	36,45455	36,45	248,32653	36,67347	36,67	248,32653
228	228	1868770	1	0	29/mar/00	14/mar/13	155	12	0	6	6	6	0,968	0,897	2	6	173,07792	-18,07792	18,08	171,7931	-16,7931	16,79	171,67273
229	229	1868770	2	0	29/mar/00	27-Dec-17	212	17	1	10	14	10	0,037	0,022	5	14	248,54545	-36,54545	36,55	248,32653	-36,32653	36,33	248,32653
230	230	1876401	1	1	11/jan/98	31/jul/17	234	19	1	7	10	7	0,318	0,206	4	10	188,71429	45,28571	45,29	196	38	38	196
231	231	1888861	1	0	18-Oct-01	11/mar/19	208	17	1	5	5	6	0,846	0,603	2	6	161,55319	46,44681	46,45	160,80702	47,19298	47,19	160,70455
232	232	1891312	1	0	30-Sep-04	03/mar/17	149	12	0	6	6	6	0,819	1,015	2	6	173,07792	-24,07792	24,08	171,7931	-22,7931	22,79	171,67273
233	233	1894955	1	0	09-Sep-98	16-Oct-17	229	19	1	10	14	10	0	0	6	14	248,54545	-19,54545	19,55	248,32653	-19,32653	19,33	248,32653
234	234	1912577	1	0	16/jun/06	13-Feb-19	151	12	0	6	7	6	0,434	0,344	3	7	173,07792	-22,07792	22,08	177	-26	26	175,5102
235	235	1936363	1	0	16/jun/06	15/mar/19	152	12	0	6	6	6	0,909	0,762	2	6	173,07792	-21,07792	21,08	171,7931	-19,7931	19,79	171,67273
236	236	1941121	1	0	12-Dec-95	18/mar/11	183	15	0	7	9	7	0,269	0,209	4	9	188,71429	-5,71429	5,71	186,56	-3,56	3,56	186,56
237	237	1948734	1	0	25/mar/98	18/jul/11	159	13	0	7	9	7	0,258	0,384	3	9	188,71429	-29,71429	29,71	186,56	-27,56	27,56	186,56
238	238	1949481	1	0	29/mar/99	05-May-16	205	17	1	9	13	9	0,109	0,061	5	13	214	-9	9	216,28571	-11,28571	11,29	214,2963
239	239	1960809	1	1	30/jul/04	19-Oct-18	170	14	0	6	6	6	0,936	0,856	2	6	173,07792	-3,07792	3,08	171,7931	-1,7931	1,79	171,67273
240	240	1970507	1	0	20/jan/07	30-Aug-19	151	12	0	4	5	4	0,81	0,849	1	5	161,15385	-10,15385	10,15	160,80702	-9,80702	9,81	161,15385
241	241	1975914	1	1	01-May-93	19/jul/12	230	19	1	9	13	9	0,094	0,146	5	13	214	16	16	216,28571	13,71429	13,71	214,2963
242	242	1975914	2	1	01-May-93	11-Oct-12	233	19	1	9	13	9	0,041	0,13	5	13	214	19	19	216,28571	16,71429	16,71	214,2963
243	243	1975914	3	1	01-May-93	11-Apr-13	239	19	1	9	13	9	0,036	0,062	5	13	214	25	25	216,28571	22,71429	22,71	214,2963
244	244	1975914	4	1	01-May-93	21/nov/13	246	20	1	10	14	10	0	0	6	14	248,54545	-2,54545	2,55	248,32653	-2,32653	2,33	248,32653
245	245	1975914	5	1	01-May-93	11-Dec-14	259	21	1	10	14	10	0	0	6	14	248,54545	10,45455	10,45	248,32653	10,67347	10,67	248,32653
246	246	1995991	1	0	05-Oct-06	13-Feb-19	148	12	0	6	6	6	1,013	0,955	2	6	173,07792	-25,07792	25,08	171,7931	-23,7931	23,79	171,67273
247	247	1998864	1	1	30-Sep-03	12-Apr-18	174	14	0	8	11	8	0,079	0,114	5	11	196,5625	-22,5625	22,56	198,05882	-24,05882	24,06	196,5625
248	248	1998864	2	1	30-Sep-03	25/mar/19	185	15	0	9	13	9	0	0	6	13	214	-29	29	216,28571	-31,28571	31,29	214,2963
249	249	1998864	3	1	30-Sep-03	03-Feb-20	196	16	0	10	14	10	0	0	6	14	248,54545	-52,54545	52,55	248,32653	-52,32653	52,33	248,32653
250	250	1999750	1	0	28/nov/02	08-Aug-18	188	15	0	8	11	8	0,196	0,188	4	11	196,5625	-8,5625	8,56	198,05882	-10,05882	10,06	196,5625
251	251	2016324	1	0	07/jun/92	16/jul/14	265	22	1	1000	1000	1000	0	0	6	1000							
252	252	2027091	1	1	11/jun/04	19																	

Validação do Método de Nolla e de Moorrees na Estimativa da Idade Dentária numa População Portuguesa dos 17 aos 23 anos

263	263	2104240	1	0	27-Feb-96	09-Dec-19	285	23	1	10	14	10	0	0	6	14	248,54545	36,45455	36,45	248,32653	36,67347	36,67	248,32653
264	264	2110108	1	0	03/nov/97	04-Feb-14	195	16	0	6	6	5	0,396	1,108	3	5	173,07792	21,92208	21,92	171,7931	23,2069	23,21	171,67273
265	265	2113837	1	1	29/jun/04	17/jan/18	161	13	0	1000	1000	1000	1,279		1	1000							
266	266	2127417	1	1	03/jul/02	18-Dec-14	149	12	0	2	3	2	1,18	1,719	1	3	153,28571	-4,28571	4,29	155	-6	6	152
267	267	2127417	2	1	03/jul/02	15/jun/15	155	12	0	2	3	2	1,241	1,832	2	3	153,28571	1,71429	1,71	155	0	0	152
268	268	2127417	3	1	03/jul/02	16/jan/17	174	14	0	6	6	6	0,469	1,243	3	6	173,07792	0,92208	0,92	171,7931	2,2069	2,21	171,67273
269	269	2130574	1	0	21/nov/99	07-Feb-14	170	14	0	7	9	7	0,206	0,205	5	9	188,71429	-18,71429	18,71	186,56	-16,56	16,56	186,56
270	270	2130574	2	0	21/nov/99	21-Oct-15	191	15	0	9	13	9	0,067	0,121	5	13	214	-23	23	216,28571	-25,28571	25,29	214,2963
271	271	2130574	3	0	21/nov/99	08-Feb-17	206	17	1	10	14	10	0,036	0,045	5	14	248,54545	-42,54545	42,55	248,32653	-42,32653	42,33	248,32653
272	272	2130574	4	0	21/nov/99	26/mar/18	220	18	1	10	14	10	0	0	6	14	248,54545	-28,54545	28,55	248,32653	-28,32653	28,33	248,32653
273	273	2132663	1	0	11/jul/05	21/mar/19	164	13	0	6	7	6	0,669	0,35	2	7	173,07792	-9,07792	9,08	177	-13	13	175,5102
274	274	2139021	1	0	19/nov/01	30/jan/14	146	12	0	2	2	2	2,145	2,465	1	2	153,28571	-7,28571	7,29	155	-9	9	155
275	275	2139021	2	0	19/nov/01	22/jan/15	158	13	0	3	4	3	1,233	1,686	2	4	159,08333	-1,08333	1,08	159,625	-1,625	1,62	159,625
276	276	2139021	3	0	19/nov/01	12-Feb-18	194	16	0	5	5	5	0,754	1,076	2	5	161,55319	32,44681	32,45	160,80702	33,19298	33,19	160,70455
277	277	2139021	4	0	19/nov/01	20/jun/18	199	16	0	5	5	5	0,73	0,935	2	5	161,55319	37,44681	37,45	160,80702	38,19298	38,19	160,70455
278	278	2139021	5	0	19/nov/01	18-Feb-19	206	17	1	6	6	6	0,465	0,888	3	6	173,07792	32,92208	32,92	171,7931	34,2069	34,21	171,67273
279	279	2151869	1	0	02/jan/05	11-Apr-19	171	14	0	6	6	6	0,822	0,448	2	6	173,07792	-2,07792	2,08	171,7931	-0,7931	0,79	171,67273
280	280	2173243	1	0	29/nov/99	12-Feb-14	170	14	0	5	5	5	1,097	1	2	5	161,55319	8,44681	8,45	160,80702	9,19298	9,19	160,70455
281	281	2173243	2	0	29/nov/99	25-May-16	197	16	0	6	6	6	0,553	0,324	3	8	173,07792	23,92208	23,92	171,7931	25,2069	25,21	171,67273
282	282	2213275	1	0	06/jan/95	22/jul/14	234	19	1	1000	1000	1000	0,11		5	1000							
283	283	2237224	1	0	11-May-98	29-Sep-14	196	16	0	6	6	6	0,896	0,832	2	6	173,07792	22,92208	22,92	171,7931	24,2069	24,21	171,67273
284	284	2239167	1	1	24-Oct-04	04-May-18	162	13	0	3	3	3	1,782	1,394	1	3	159,08333	2,91667	2,92	155	7	7	158
285	285	2239167	2	1	24-Oct-04	16/jan/19	170	14	0	3	4	3	1,192	1,103	2	4	159,08333	10,91667	10,92	159,625	10,375	10,38	159,625
286	286	2243370	1	0	19/jun/01	28-Oct-14	160	13	0	6	7	6	0,872	0,773	2	7	173,07792	-13,07792	13,08	177	-17	17	175,5102
287	287	2243370	2	0	19/jun/01	05-Feb-19	211	17	1	9	13	9	0,094	0,087	5	13	214	-3	3	216,28571	-5,28571	5,29	214,2963
288	288	2247884	1	0	07-Dec-96	04-Dec-18	263	23	1	10	14	10	0	0	6	14	248,54545	14,45455	14,45	248,32653	14,67347	14,67	248,32653
289	289	2255592	1	1	16/jul/01	23/jul/18	204	17	1	7	9	7	0,315	0,343	3	9	188,71429	15,28571	15,29	186,56	17,44	17,44	186,56
290	290	2255592	2	1	16/jul/01	28/nov/19	220	18	1	8	11	8	0,281	0,261	4	11	196,5625	23,4375	23,44	198,05882	21,94118	21,94	196,5625
291	291	2265076	1	0	04/jan/97	04-Apr-19	267	22	1	9	13	9	0	0	6	13	214	53	53	216,28571	50,71429	50,71	214,2963
292	292	2285480	1	1	14-Sep-95	04/jun/15	236	19	1	10	14	10	0	0	6	14	248,54545	-12,54545	12,55	248,32653	-12,32653	12,33	248,32653
293	293	2285480	2	1	14-Sep-95	02/jun/17	260	21	1	10	14	10	0	0	6	14	248,54545	11,45455	11,45	248,32653	11,67347	11,67	248,32653
294	294	2303816	1	1	06-Feb-96	03-Dec-17	261	21	1	1000	1000	1000	0	0	6	1000							
295	295	2326368	1	1	28-Apr-04	26/jun/17	157	13	0	7	9	7	0,403	0,248	4	9	188,71429	-31,71429	31,71	186,56	-29,56	29,56	186,56
296	296	2331646	1	1	14-Dec-00	11-May-16	184	15	0	6	6	6	0,634	0,508	3	6	173,07792	10,92208	10,92	171,7931	12,2069	12,21	171,67273
297	297	2338372	1	0	07/jul/04	10-Oct-16	147	12	0	5	5	5	1,136	1,058	2	5	161,55319	-14,55319	14,55	160,80702	-13,80702	13,81	160,70455
298	298	2338372	2	0	07/jul/04	04-Oct-18	170	14	0	6	6	6	0,562	0,465	3	6	173,07792	-3,07792	3,08	171,7931	-1,7931	1,79	171,67273
299	299	2338372	3	0	07/jul/04	14-Oct-19	183	15	0	7	8	7	0,284	0,336	4	8	188,71429	-5,71429	5,71	186,55556	-3,55556	3,56	194,41837
300	300	2339409	1	1	03/nov/92	08/jul/16	284	23	1	10	14	10	0	0	6	14	248,54545	35,45455	35,45	248,32653	35,67347	35,67	248,32653
301	301	2352786	1	1	14-Feb-05	12-Feb-19	167	13	0	6	6	6	0,84	0,846	2	6	173,07792	-6,07792	6,08	171,7931	-4,7931	4,79	171,67273
302	302	2355602	1	0	12-May-04	20-Feb-19	177	14	0	5	5	6	1,047	0,878	2	6	161,55319	15,44681	15,45	160,80702	16,19298	16,19	160,70455
303	303	2356226	1	0	13-May-04	16/nov/16	150	12	0	5	5	6	0,769	0,916	2	6	161,55319	-11,55319	11,55	160,80702	-10,80702	10,81	160,70455
304	304	2362319	1	0	22-Sep-02	12-Aug-16	166	13	0	6	7	6	0,553	0,486	3	7	173,07792	-7,07792	7,08	177	-11	11	175,5102
305	305	2362319	2	0	22-Sep-02	12-Dec-19	206	17	1	10	14	10	0,037	0,031	5	14	248,54545	-42,54545	42,55	248,32653	-42,32653	42,33	248,32653
306	306	2362718	1	1	28/mar/98	09/nov/16	223	18	1	1000	1000	1000	0	0	6	1000							
307	307	2370011	1	0	23-Aug-93	11/jul/16	274	22	1	10	14	10	0	0	6	14	248,54545	25,45455	25,45	248,32653	25,67347	25,67	248,32653
308	308	2370011	2	0	23-Aug-93	10-Oct-16	277	23	1	10	14	10	0	0	6	14	248,54545	28,45455	28,45	248,32653	28,67347	28,67	248,32653
309	309	2370011	3	0	23-Aug-93	01/jun/17	285	23	1	10	14	10	0	0	6	14	248,54545	36,45455	36,45	248,32653	36,67347	36,67	248,32653
310	310	2386270	1	1	16-Aug-95	19-Oct-16	254	21	1	10	14	10	0	0	6	14	248,54545	5,45455	5,45	248,32653	5,67347	5,67	248,32653
311	311	2394241	1	1	12/jul/04	06/jun/19	178	14	0	5	5	5	1,052	0,907	2	5	161,55319	16,44681	16,45	160,80702	17,19298	17,19	160,70455
312	312	2394241	2	1	12/jul/04	19-Sep-19	182	15	0	6	6	6	0,784	0,776	2	6	173,07792	8,92208	8,92	171,7931	10,2069	10,21	171,67273
313	313	2399826	1	0	01-Apr-04	04-Dec-18	176	14	0	7	9	7	0,29	0,437	4	9	188,71429	-12,71429	12,71	186,56	-10,56	10,56	186,56
314	314	2404383	1	0	04-Feb-02	02-May-19	206	17	1	9	13	9	0,109	0,05	5	13	214	-8	8	216,28571	-10,28571	10,29	214,2963
315	315	2416210	1	0	11-Aug-04	13/mar/19	175	14	0	6	8	6	0,35	0,506	3	8	173,07792	1,92208	1,92	186,55556	-11,55556	11,56	180,26531
316	316	2429914	1	1	22/jan/95	12/mar/17	265	22	1	10	14	10	0	0	6	14	248,54545	16,45455	16,45	248,32653	16,67347	16,67	248,32653
317	317	2429914	2	1	23/jan/95	09/jan/19	287	23	1	10	14	10	0	0	6	14	248,54545	38,45455	38,45	248,32653	38,67347	38,67	248,32653
318	318	2433452	1	0	19-Sep-99	27-Feb-19	233	19	1	10	14	10	0,014	0,02	5	14	248,54545	-15,54545	15,55	248,32653	-15,32653	15,33	248,32653
319	319	2435005	1	0	08-Apr-98	14-May-18	241	20	1	7	9	7	0,27	0,624	3	9	188,71429	52,28571	52,29	186,56	5		

Validação do Método de Nolla e de Moorrees na Estimativa da Idade Dentária numa População Portuguesa dos 17 aos 23 anos

330	330	2497029	2	1	17-Dec-95	18-Feb-19	278	23	1	10	14	1000	0	0	6	1000	248,54545	29,45455	29,45	248,32653	29,67347	29,67	248,32653
331	331	2519938	1	0	06/jan/06	07-Feb-19	157	13	0	6	6	6	0,708	0,713	2	6	173,07792	-16,07792	16,08	171,7931	-14,7931	14,79	171,67273
332	332	2522222	1	0	19/mar/04	26-Apr-18	169	14	0	7	10	7	0,384	0,411	3	10	188,71429	-19,71429	19,71	196	-27	27	196
333	333	2525751	1	1	06-May-96	07-Sep-18	268	22	1	10	14	10	0	0	6	14	248,54545	19,45455	19,45	248,32653	19,67347	19,67	248,32653
334	334	2532360	1	1	06-Sep-96	02/jan/19	267	22	1	1000	1000	1000	0	0	6	1000							
335	335	2545272	1	0	12/nov/97	08/jul/18	247	20	1	9	13	9	0,102	0,067	5	13	214	33	33	216,28571	30,71429	30,71	214,2963
336	336	2553325	1	1	15/nov/99	22/jan/19	230	19	1	10	14	10	0,031	0,024	5	14	248,54545	-18,54545	18,55	248,32653	-18,32653	18,33	248,32653
337	337	2553325	2	1	15/nov/99	16-Apr-19	233	19	1	10	14	10	0	0	6	14	248,54545	-15,54545	15,55	248,32653	-15,32653	15,33	248,32653
338	338	2572492	1	1	26/mar/06	02/jan/20	165	13	0	8	11	8	0,314	0,247	4	11	196,5625	-31,5625	31,56	198,05882	-33,05882	33,06	196,5625
339	339	2573585	1	1	24-Dec-02	12/jun/19	197	16	0	7	10	7	0,266	0,214	4	10	188,71429	8,28571	8,29	196	1	1	196
340	340	2573666	1	1	17/jul/01	10-Apr-19	212	17	1	8	11	8	0,129	0,112	5	11	196,5625	15,4375	15,44	198,05882	13,94118	13,94	196,5625
341	341	2575043	1	0	11-Apr-97	31-Oct-18	258	21	1	10	14	10	0	0	6	14	248,54545	9,45455	9,45	248,32653	9,67347	9,67	248,32653
342	342	2589367	1	0	17/jul/03	31/jan/19	186	15	0	8	11	8	0,195	0,15	4	11	196,5625	-10,5625	10,56	198,05882	-12,05882	12,06	196,5625
343	343	2594371	1	1	06/jul/97	04-Feb-19	258	21	1	10	14	1000	0	0	6	1000	248,54545	9,45455	9,45	248,32653	9,67347	9,67	248,32653
344	344	2601054	1	1	09-Oct-02	03-Apr-19	197	16	0	8	11	8	0,136	0,172	4	11	196,5625	0,4375	0,44	198,05882	-1,05882	1,06	196,5625
345	345	2612960	1	1	10/nov/98	19/mar/19	244	20	1	10	14	10	0	0	6	14	248,54545	-4,54545	4,55	248,32653	-4,32653	4,33	248,32653
346	346	2625459	1	0	30/nov/01	08-May-19	209	17	1	10	14	10	0	0	6	14	248,54545	-39,54545	39,55	248,32653	-39,32653	39,33	248,32653
347	347	2675681	1	0	22-Dec-95	14-Oct-19	285	23	1	10	14	1000	0	0	6	1000	248,54545	36,45455	36,45	248,32653	36,67347	36,67	248,32653
348	348	2686228	1	0	09-Aug-99	18/nov/19	243	20	1	10	14	10	0,134	0,123	5	14	248,54545	-5,54545	5,55	248,32653	-5,32653	5,33	248,32653

Validação do Método de Nolla e de Moorrees na Estimativa da Idade Dentária numa População Portuguesa dos 17 aos 23 anos

Erro de estimação Nolla-Moorrees	Erro em termos absolutos de estimação Nolla-Moorrees	Estimativa Demirjian	Erro de estimação Demirjian	Erro em termos absolutos de estimação Demirjian	Estimativa I3M (incluindo I3M=0)	Erro de estimação I3M (incluindo I3M=0)	Erro em termos absolutos de estimação I3M (incluindo I3M=0)	Estimativa I3M (regressão sem I3M=0)	Erro de estimação I3M (regressão sem I3M=0)	Erro em termos absolutos de estimação I3M (regressão sem I3M=0)	Dente 38 - estágio de Nolla - 2.ª medição	Dente 38 - estágio de Moorrees - 2.ª medição	Dente 48 - estágio de Nolla - 2.ª medição	Dente 48 - estágio de Moorrees - 2.ª medição	Dente38_Nolla=Calcif. icação inicial	Dente38_Nolla=1/3 da coroa formada	Dente38_Nolla=2/3 da coroa formada	Dente38_Nolla=Coroa quase formada	Dente38_Nolla=Formação completa da coroa	Dente38_Nolla=1/3 da raiz formada
20,67347	20,67	252,55556	16,44444	16,44	232,24921	36,75079	36,75	252,55556	16,44444	16,44					0	0	0	0	0	0
2,7037	2,7	252,55556	-35,55556	35,56	232,24921	-15,24921	15,25	252,55556	-35,55556	35,56					0	0	0	0	0	0
21,67347	21,67	252,55556	17,44444	17,44	232,24921	37,75079	37,75	252,55556	17,44444	17,44					0	0	0	0	0	0
-7,32653	7,33	252,55556	-11,55556	11,56	232,24921	8,75079	8,75	252,55556	-11,55556	11,56					0	0	0	0	0	0
-36,32653	36,33	252,55556	-40,55556	40,56	232,24921	-20,24921	20,25	252,55556	-40,55556	40,56					0	0	0	0	0	0
38,7037	38,7	252,55556	0,44444	0,44	232,24921	20,75079	20,75	252,55556	0,44444	0,44					0	0	0	0	0	0
42,4375	42,44	218,23077	20,76923	20,77	212,4326	26,5674	26,57	197,05476	41,94524	41,95					0	0	0	0	0	0
27,67347	27,67	252,55556	23,44444	23,44	232,24921	43,75079	43,75	252,55556	23,44444	23,44					0	0	0	0	0	0
-8,70455	8,7	164,00943	-12,00943	12,01	162,89762	-10,89762	10,9	164,58015	-12,58015	12,58					0	0	0	1	0	0
-1,67273	1,67	179,95349	-9,95349	9,95	191,42689	-21,42689	21,43	183,28364	-13,28364	13,28					0	0	0	0	1	0
42,32727	42,33	179,95349	34,04651	34,05	186,26061	27,73939	27,74	179,89668	34,10332	34,1					0	0	0	0	1	0
17,67347	17,67	218,23077	47,76923	47,77	218,26568	47,73432	47,73	200,87887	65,12113	65,12					0	0	0	0	0	0
42,32727	42,33	179,95349	34,04651	34,05	187,00999	26,99001	26,99	180,38796	33,61204	33,61					0	0	0	0	1	0
39,33673	39,34	193,81081	35,18919	35,19	201,53734	27,46266	27,46	189,91195	39,08805	39,09					0	0	0	0	0	1
64,4375	64,44	252,55556	8,44444	8,44	232,24921	28,75079	28,75	252,55556	8,44444	8,44					0	0	0	0	0	0
0	0	252,55556	17,44444	17,44	232,24921	37,75079	37,75	252,55556	17,44444	17,44	10	14	10	14	0	0	0	0	0	0
-11,5625	11,56	193,81081	-8,81081	8,81	216,33332	-31,33332	31,33	199,61203	-14,61203	14,61					0	0	0	0	0	0
3,67347	3,67	218,23077	33,76923	33,77	220,17027	31,82973	31,83	202,1275	49,8725	49,87					0	0	0	0	0	0
-42,32653	42,33	252,55556	-46,55556	46,56	232,24921	-26,24921	26,25	252,55556	-46,55556	46,56					0	0	0	0	0	0
1,4898	1,49	179,95349	-2,95349	2,95	203,7693	-26,7693	26,77	191,3752	-14,3752	14,38					0	0	0	0	1	0
-24,32653	24,33	252,55556	-28,55556	28,56	232,24921	-8,24921	8,25	252,55556	-28,55556	28,56					0	0	0	0	0	0
2,67347	2,67	252,55556	-1,55556	1,56	232,24921	18,75079	18,75	252,55556	-1,55556	1,56					0	0	0	0	0	0
0	0	218,23077	3,76923	3,77	220,35725	1,64275	1,64	202,25008	19,74992	19,75					0	0	0	0	0	0
-25,32653	25,33	218,23077	4,76923	4,77	223,86602	-0,86602	0,87	204,55039	18,44961	18,45	9	13	9	13	0	0	0	0	0	0
9	9	218,23077	-3,23077	3,23	211,65093	3,34907	3,35	196,54231	18,45769	18,46					0	0	0	0	0	0
14,67347	14,67	252,55556	10,44444	10,44	232,24921	30,75079	30,75	252,55556	10,44444	10,44					0	0	0	0	0	0
-2,2963	2,3	218,23077	-6,23077	6,23	232,24921	42,75079	42,75	252,55556	22,44444	22,44					0	0	0	0	0	0
-2,32653	2,33	252,55556	-6,55556	6,56	232,24921	13,75079	13,75	252,55556	-6,55556	6,56					0	0	0	0	0	0
5,67347	5,67	252,55556	1,44444	1,44	232,24921	21,75079	21,75	252,55556	1,44444	1,44					0	0	0	0	0	0
7,67347	7,67	252,55556	3,44444	3,44	232,24921	23,75079	23,75	252,55556	3,44444	3,44					0	0	0	0	0	0
-11,32653	11,33	252,55556	-15,55556	15,56	232,24921	4,75079	4,75	252,55556	-15,55556	15,56					0	0	0	0	0	0
-5,32653	5,33	252,55556	-9,55556	9,56	232,24921	10,75079	10,75	252,55556	-9,55556	9,56					0	0	0	0	0	0
-26,32653	26,33	252,55556	-30,55556	30,56	232,24921	-10,24921	10,25	252,55556	-30,55556	30,56					0	0	0	0	0	0
-10,32653	10,33	252,55556	-14,55556	14,56	232,24921	5,75079	5,75	252,55556	-14,55556	14,56					0	0	0	0	0	0
27,67347	27,67	252,55556	23,44444	23,44	232,24921	43,75079	43,75	252,55556	23,44444	23,44	10	14	10	14	0	0	0	0	0	0
26,44	26,44	179,95349	33,04651	33,05	219,52432	-6,52432	6,52	201,70402	11,29598	11,3					0	0	0	0	0	1
8,67347	8,67	252,55556	4,44444	4,44	232,24921	24,75079	24,75	252,55556	4,44444	4,44					0	0	0	0	0	0
12,29545	12,3	164,00943	8,99057	8,99	145,0814	27,9186	27,92	152,90002	20,09998	20,1					0	0	0	1	0	0
26,32727	26,33	164,00943	33,99057	33,99	178,64478	19,35522	19,36	174,90382	23,09618	23,1					0	0	0	0	1	0
20,7037	20,7	218,23077	16,76923	16,77	225,44898	9,55102	9,55	205,58817	29,41183	29,41					0	0	0	0	0	0
-26,32653	26,33	252,55556	-30,55556	30,56	232,24921	-10,24921	10,25	252,55556	-30,55556	30,56					0	0	0	0	0	0
-12,32653	12,33	252,55556	-16,55556	16,56	232,24921	3,75079	3,75	252,55556	-16,55556	16,56					0	0	0	0	0	0
-13,67273	13,67	179,95349	-21,95349	21,95	203,50426	-45,50426	45,5	191,20144	-33,20144	33,2					0	0	0	0	1	0
-17,32653	17,33	252,55556	-21,55556	21,56	232,24921	-1,24921	1,25	252,55556	-21,55556	21,56					0	0	0	0	0	0
1,73469	1,73	193,81081	-11,81081	11,81	208,04368	-26,04368	26,04	194,17743	-12,17743	12,18					0	0	0	0	1	0
-6,70455	6,7	164,00943	-10,00943	10,01	180,39462	-26,39462	26,39	176,051	-22,051	22,05					0	0	0	1	0	0
9,7037	9,7	218,23077	5,76923	5,77	223,87816	0,12184	0,12	204,55836	19,44164	19,44					0	0	0	0	0	0
35,67347	35,67	252,55556	31,44444	31,44	232,24921	51,75079	51,75	252,55556	31,44444	31,44					0	0	0	0	0	0
18,67347	18,67	252,55556	14,44444	14,44	232,24921	34,75079	34,75	252,55556	14,44444	14,44					0	0	0	0	0	0
32,67347	32,67	252,55556	28,44444	28,44	232,24921	48,75079	48,75	252,55556	28,44444	28,44					0	0	0	0	0	0
-33,32653	33,33	252,55556	-37,55556	37,56	232,24921	-17,24921	17,25	252,55556	-37,55556	37,56					0	0	0	0	0	0
-10,70455	10,7	164,00943	-14,00943	14,01	152,71593	-2,71593	2,72	157,90514	-7,90514	7,91					0	0	0	1	0	0
8,32727	8,33	179,95349	0,04651	0,05	201,96097	-21,96097	21,96	190,18967	-10,18967	10,19					0	0	0	0	1	0
-17,5102	17,51	179,95349	-21,95349	21,95	204,99484	-46,99484	46,99	192,17865	-34,17865	34,18					0	0	0	0	0	0
-41,32653	41,33	252,55556	-45,55556	45,56	232,24921	-25,24921	25,25	252,55556	-45,55556	45,56	10	14	10	14	0	0	0	0	0	0
-11,56	11,56	193,81081	-18,81081	18,81	195,78277	-20,78277	20,78	186,13931	-11,13931	11,14					0	0	0	0	0	1
-7,2963	7,3	218,23077	-11,23077	11,23	223,93674	-16,93674	16,94	204,59676	2,40324	2,4					0	0	0	0	0	0
20,67347	20,67	252,55556	16,44444	16,44	232,24921	36,75079	36,75	252,55556	16,44444	16,44					0	0	0	0	0	0

Validação do Método de Nolla e de Moorrees na Estimativa da Idade Dentária numa População Portuguesa dos 17 aos 23 anos

4,84615	4,85	164,00943	1,99057	1,99	175,96215	-9,96215	9,96	173,14512	-7,14512	7,15					0	0	1	0	0	0
-9,2963	9,3	193,81081	11,18919	11,19	220,58513	-15,58513	15,59	202,39948	2,60052	2,6					0	0	0	0	0	0
-5,2963	5,3	193,81081	15,18919	15,19	225,77539	-16,77539	16,78	205,80216	3,19784	3,2					0	0	0	0	0	0
-31,32653	31,33	218,23077	-1,23077	1,23	226,5839	-9,5839	9,58	206,33221	10,66779	10,67					0	0	0	0	0	0
7	7	155,63158	3,36842	3,37	117,65279	41,34721	41,35	134,9181	24,0819	24,08					1	0	0	0	0	0
25,32727	25,33	164,00943	32,99057	32,99	166,41321	30,58679	30,59	166,88493	30,11507	30,12					0	0	0	0	1	0
-21,2963	21,3	218,23077	-25,23077	25,23	225,01837	-32,01837	32,02	205,30586	-12,30586	12,31	9	13	9	13	0	0	0	0	0	0
-40,5625	40,56	218,23077	-62,23077	62,23	219,62644	-63,62644	63,63	201,77097	-45,77097	45,77					0	0	0	0	0	0
-0,5102	0,51	179,95349	-4,95349	4,95	202,7698	-27,7698	27,77	190,71993	-15,71993	15,72					0	0	0	0	1	0
17,84615	17,85	193,81081	24,18919	24,19	215,85124	2,14876	2,15	199,29599	18,70401	18,7					0	0	1	0	0	0
27,58163	27,58	164,00943	14,99057	14,99	166,15453	12,84547	12,85	166,71535	12,28465	12,28					0	0	0	0	0	0
-8,625	8,63	193,81081	28,18919	28,19	219,31221	2,68779	2,69	201,56497	20,43503	20,44					0	0	0	0	0	1
-14	14	155,63158	-4,63158	4,63	157,05286	-6,05286	6,05	160,74838	-9,74838	9,75	5	5	5	5	0	1	0	0	0	0
-3	3	164,00943	-4,00943	4,01	158,95374	1,04626	1,05	161,99458	-1,99458	1,99					0	0	0	1	0	0
8,32727	8,33	164,00943	6,99057	6,99	184,28679	-13,28679	13,29	178,60267	-7,60267	7,6					0	0	0	1	0	0
27,32727	27,33	164,00943	15,99057	15,99	171,81845	8,18155	8,18	170,42855	9,57145	9,57					0	0	0	0	1	0
40,4898	40,49	164,00943	34,99057	34,99	183,30458	15,69542	15,7	177,95874	21,04126	21,04					0	0	0	0	1	0
-86,32653	86,33	218,23077	-2,23077	2,23	223,11223	-7,11223	7,11	204,05622	11,94378	11,94					0	0	0	0	1	0
11,84615	11,85	164,00943	-2,00943	2,01	194,84744	-32,84744	32,85	185,52611	-23,52611	23,53					0	0	0	0	0	0
17	17	164,00943	8,99057	8,99	203,3019	-30,3019	30,3	191,06877	-18,06877	18,07	6	6	6	6	0	0	1	0	0	0
2,4898	2,49	164,00943	26,99057	26,99	209,8655	-18,8655	18,87	195,3718	-4,3718	4,37					0	0	0	1	0	0
22,375	22,37	164,00943	13,99057	13,99	157,7733	20,2267	20,23	161,2207	16,7793	16,78					0	0	0	0	1	0
24,32727	24,33	179,95349	2,04651	2,05	197,07298	-15,07298	15,07	186,98516	-4,98516	4,99					0	1	0	0	0	0
33,4898	33,49	193,81081	2,18919	2,19	214,79245	-18,79245	18,79	198,60186	-2,60186	2,6					0	0	0	0	1	0
-26,67273	26,67	218,23077	-9,23077	9,23	223,62115	-14,62115	14,62	204,38987	4,61013	4,61					0	0	0	0	1	0
-6,32653	6,33	164,00943	-19,00943	19,01	157,78486	-12,78486	12,78	161,22827	-16,22827	16,23					0	0	0	0	1	0
-5,32653	5,33	252,55556	-10,55556	10,56	232,24921	9,75079	9,75	252,55556	-10,55556	10,56					0	0	0	0	0	0
4,29545	4,3	218,23077	24,76923	24,77	228,49834	14,50166	14,5	207,5873	35,4127	35,41					0	0	0	0	0	0
2,32727	2,33	164,00943	0,99057	0,99	180,16704	-15,16704	15,17	175,9018	-10,9018	10,9					0	0	0	1	0	0
-8,41837	8,42	164,00943	9,99057	9,99	188,98699	-14,98699	14,99	181,68407	-7,68407	7,68					0	0	0	0	1	0
2,4375	2,44	179,95349	6,04651	6,05	209,96401	-23,96401	23,96	195,43638	-9,43638	9,44	7	9	7	9	0	0	0	0	0	1
8,84615	8,85	193,81081	5,18919	5,19	218,01758	-19,01758	19,02	200,71622	-1,71622	1,72					0	0	0	0	0	0
-14,15385	14,15	164,00943	5,99057	5,99	145,95012	24,04988	24,05	153,46954	16,53046	16,53					0	0	1	0	0	0
-2,15385	2,15	164,00943	-17,00943	17,01	155,7238	-8,7238	8,72	159,87707	-12,87707	12,88					0	0	1	0	0	0
-15,56	15,56	179,95349	-20,95349	20,95	191,79516	-32,79516	32,8	183,52507	-24,52507	24,53					0	0	1	0	0	0
-22,2963	22,3	179,95349	-8,95349	8,95	207,73077	-36,73077	36,73	193,97229	-22,97229	22,97					0	0	0	0	0	1
5,44	5,44	193,81081	-1,81081	1,81	217,35558	-25,35558	25,36	200,28222	-8,28222	8,28					0	0	0	0	0	0
-32,56	32,56	193,81081	-1,81081	1,81	217,03805	-25,03805	25,04	200,07405	-8,07405	8,07					0	0	0	0	0	1
14,44	14,44	193,81081	-39,81081	39,81	211,56918	-57,56918	57,57	196,48872	-42,48872	42,49					0	0	0	0	0	1
21,67347	21,67	218,23077	-17,23077	17,23	228,5772	-27,5772	27,58	207,639	-6,639	6,64					0	0	0	0	0	1
-14,32653	14,33	252,55556	17,44444	17,44	232,24921	37,75079	37,75	252,55556	17,44444	17,44					0	0	0	0	0	0
-9	9	218,23077	15,76923	15,77	225,38049	8,61951	8,62	205,54327	28,45673	28,46					0	0	0	0	0	0
1,29545	1,3	193,81081	3,18919	3,19	218,42104	-21,42104	21,42	200,98072	-3,98072	3,98					0	0	0	0	0	0
9,32727	9,33	164,00943	-2,00943	2,01	165,40693	-3,40693	3,41	166,22522	-4,22522	4,23					0	0	0	1	0	0
23,44	23,44	179,95349	1,04651	1,05	188,1023	-7,1023	7,1	181,10408	-0,10408	0,1					0	0	0	0	1	0
3,7037	3,7	193,81081	16,18919	16,19	214,05631	-4,05631	4,06	198,11926	11,88074	11,88					0	0	0	0	0	1
-5,32653	5,33	218,23077	-0,23077	0,23	221,15678	-3,15678	3,16	202,77424	15,22576	15,23					0	0	0	0	0	0
8,29545	8,3	252,55556	-9,55556	9,56	232,24921	10,75079	10,75	252,55556	-9,55556	9,56					0	0	0	0	0	0
-9,67273	9,67	164,00943	4,99057	4,99	173,14534	-4,14534	4,15	171,29845	-2,29845	2,3					0	0	0	1	0	0
-29,32653	29,33	179,95349	-17,95349	17,95	195,09445	-33,09445	33,09	185,68805	-23,68805	23,69					0	0	0	0	1	0
4,32727	4,33	252,55556	-33,55556	33,56	232,24921	-13,24921	13,25	252,55556	-33,55556	33,56	10	14	10	14	0	0	0	0	0	0
-6,56	6,56	164,00943	11,99057	11,99	173,23689	2,76311	2,76	171,35846	4,64154	4,64					0	0	0	0	1	0
4,29545	4,3	179,95349	0,04651	0,05	203,03731	-23,03731	23,04	190,89531	-10,89531	10,9					0	0	0	0	0	1
-3,67273	3,67	164,00943	0,99057	0,99	165,32322	-0,32322	0,32	166,17034	-1,17034	1,17					0	0	0	1	0	0
-16,70455	16,7	164,00943	3,99057	3,99	170,14952	-2,14952	2,15	169,33442	-1,33442	1,33					0	0	0	0	1	0
-2,56	2,56	164,00943	-20,00943	20,01	171,86063	-27,86063	27,86	170,45621	-26,45621	26,46					0	0	0	1	0	0
-2,5625	2,56	193,81081	-9,81081	9,81	215,55738	-31,55738	31,56	199,10334	-15,10334	15,1					0	0	0	0	0	1
-23,5625	23,56	193,81081	0,18919	0,19	217,80548	-23,80548	23,81	200,57717	-6,57717	6,58					0	0	0	0	0	0
-27,2963	27,3	193,81081	-20,81081	20,81	220,09793	-47,09793	47,1	202,08007	-29,08007	29,08					0	0	0	0	0	0
-13,15385	13,15	218,23077	-31,23077	31,23	227,08665	-40,08665	40,09	206,66181	-19,66181	19,66					0	0	0	0	0	0
10,4375	10,44	164,00943	-16,00943	16,01	162,26042	-14,26042	14,26	164,1624	-16,1624	16,16					0	0	1	0	0	0
25,67347	25,67	193,81081	13,18919	13,19	206,86647	0,13353	0,13	193,40567	13,59433	13,59	7	9	7	9	0	0	0	0	0	0
18,29545	18,3	252,55556	21,44444	21,44	232,24921	41,75079	41,75	252,55556	21,44444	21,44					0	0	0	0	0	0
-19,5102	19,51	164,00943	14,99057	14,99	186,07652	-7,07652	7,08	179,77599	-0,77599	0,78					0	0	0	1	0	0
38,67347	38,67	179,95349	-23,95349	23,95	204,31685	-48,31685	48,32	191,73416	-35,73416	35,73					0	0	0	0	1	0
2,29545	2,3	252,55556	34,44444	34,44	232,24921	54,75079	54,75	252,55556	34,44444	34,44					0	0	0	0	0	0

Validação do Método de Nolla e de Moorrees na Estimativa da Idade Dentária numa População Portuguesa dos 17 aos 23 anos

-3,625	3,63	164,00943	-8,00943	8,01	154,7368	1,2632	1,26	159,27999	-3,22999	3,23						0	1	0	0	0	0
-7,625	7,63	164,00943	-12,00943	12,01	154,92381	-2,92381	2,92	159,3526	-7,3526	7,35						0	1	0	0	0	0
5,32727	5,33	179,95349	-2,95349	2,95	199,3125	-22,3125	22,31	188,45336	-11,45336	11,45						0	0	0	1	0	0
-15,67273	15,67	164,00943	-8,00943	8,01	187,78529	-31,78529	31,79	180,89625	-24,89625	24,9						0	0	0	0	1	0
-9,70455	0,7	164,00943	-4,00943	4,01	156,90838	3,09162	3,09	160,65366	-0,65366	0,65						0	0	0	1	0	0
11,32727	11,33	164,00943	18,99057	18,99	171,14292	11,85708	11,86	169,98568	13,01432	13,01						0	0	0	0	1	0
-9,70455	9,7	164,00943	-13,00943	13,01	167,20983	-16,20983	16,21	167,40719	-16,40719	16,41	4	5	4	5		0	0	0	1	0	0
-17,41837	17,42	179,95349	-2,95349	2,95	211,94615	-34,94615	34,95	196,73585	-19,73585	19,74						0	0	0	0	0	1
23,67347	23,67	252,55556	19,44444	19,44	232,24921	39,75079	39,75	252,55556	19,44444	19,44						0	0	0	0	0	0
-14,67273	14,67	164,00943	-7,00943	7,01	169,69815	-12,69815	12,7	169,03851	-12,03851	12,04						0	0	0	0	1	0
-3,56	3,56	179,95349	3,04651	3,05	202,02193	-19,02193	19,02	190,22964	-7,22964	7,23						0	0	0	0	0	1
2,44	2,44	179,95349	9,04651	9,05	206,54055	-17,54055	17,54	193,192	-4,192	4,19						0	0	0	0	0	1
-17,5102	17,51	179,95349	-21,95349	21,95	201,43849	-43,43849	43,44	189,84714	-31,84714	31,85						0	0	0	0	1	0
-16,56	16,56	193,81081	-23,81081	23,81	209,12894	-39,12894	39,13	194,88892	-24,88892	24,89						0	0	0	0	0	1
-22,2963	22,3	218,23077	-26,23077	26,23	222,27559	-30,27559	30,28	203,50773	-11,50773	11,51						0	0	0	0	0	0
-1,70455	1,7	164,00943	-5,00943	5,01	146,27507	12,72493	12,72	153,68257	5,31743	5,32						0	0	1	0	0	0
3,32727	3,33	164,00943	10,99057	10,99	154,63892	20,36108	20,36	159,16583	15,83417	15,83						0	0	0	0	1	0
-17,56	17,56	193,81081	-24,81081	24,81	215,38831	-46,38831	46,39	198,9925	-29,9925	29,99						0	0	0	0	0	1
29,32727	29,33	164,00943	36,99057	36,99	185,34741	15,65259	15,65	179,298	21,702	21,7	5	5	5	5		0	0	0	0	1	0
-7,5625	7,56	218,23077	-29,23077	29,23	218,81363	-29,81363	29,81	201,2381	-12,2381	12,24						0	0	0	0	0	0
-18,32653	18,33	252,55556	-22,55556	22,56	232,24921	-2,24921	2,25	252,55556	-2,55556	22,56						0	0	0	0	0	0
49,4898	49,49	164,00943	60,99057	60,99	168,51161	56,48839	56,49	168,26062	56,73938	56,74						0	0	0	0	1	0
-18,32653	18,33	218,23077	11,76923	11,77	220,02728	9,97272	9,97	202,03376	27,96624	27,97						0	0	0	0	0	0
-4,625	4,63	155,63158	-0,63158	0,63	153,04647	1,95353	1,95	158,12183	-3,12183	3,12						0	1	0	0	0	0
-5,15385	5,15	164,00943	-8,00943	8,01	154,35539	1,64461	1,64	158,97995	-2,97995	2,98						0	0	1	0	0	0
-3,67273	3,67	164,00943	3,99057	3,99	168,28423	-0,28423	0,28	168,11155	-0,11155	0,11						0	0	0	0	1	0
-4	4	164,00943	-10,00943	10,01	158,5026	-4,5026	4,5	161,69881	-7,69881	7,7						0	1	0	0	0	0
2,84615	2,85	164,00943	-0,00943	0,01	162,41699	1,58301	1,58	164,26505	-0,26505	0,27						0	0	1	0	0	0
3,32727	3,33	164,00943	10,99057	10,99	171,74528	3,25472	3,25	170,38058	4,61942	4,62						0	0	0	0	1	0
-13,70455	13,7	164,00943	-17,00943	17,01	180,02423	-33,02423	33,02	175,80817	-28,80817	28,81						0	0	0	1	0	0
-9,67273	9,67	164,00943	-2,00943	2,01	187,6302	-25,6302	25,63	180,79457	-18,79457	18,79						0	0	0	0	1	0
7,44	7,44	218,23077	-24,23077	24,23	221,83623	-27,83623	27,84	203,21969	-9,21969	9,22						0	0	0	0	0	1
3,73469	3,73	179,95349	4,04651	4,05	211,92585	-27,92585	27,93	196,72254	-12,72254	12,72						0	0	0	0	1	0
-11,26531	11,27	179,95349	-10,95349	10,95	193,22629	-24,22629	24,23	184,4633	-15,4633	15,46						0	0	0	0	1	0
4,44	4,44	193,81081	-2,81081	2,81	209,91939	-18,91939	18,92	195,40713	-4,40713	4,41						0	0	0	0	0	1
20,73469	20,73	179,95349	21,04651	21,05	201,76798	-0,76798	0,77	190,06315	10,93685	10,94						0	0	0	0	1	0
28,44	28,44	193,81081	21,18919	21,19	218,48383	-3,48383	3,48	201,02189	13,97811	13,98						0	0	0	0	0	1
0	0	155,63158	2,36842	2,37	160,62772	-2,62772	2,63	163,09202	-5,09202	5,09						0	1	0	0	0	0
-12,70455	12,7	164,00943	-16,00943	16,01	166,20333	-18,20333	18,2	166,74734	-18,74734	18,75						0	0	1	0	0	0
-12,70455	12,7	164,00943	-16,00943	16,01	158,84882	-10,84882	10,85	161,92579	-13,92579	13,93						0	0	0	1	0	0
0	0	155,63158	2,36842	2,37	128,20818	29,79182	29,79	141,83811	16,16189	16,16						0	1	0	0	0	0
1,29545	1,3	164,00943	-2,00943	2,01	148,36699	13,63301	13,63	155,05401	6,94599	6,95						0	0	0	1	0	0
-18,32653	18,33	218,23077	11,76923	11,77	229,9021	0,0979	0,1	208,50759	21,49241	21,49						0	0	0	0	0	0
13,67347	13,67	252,55556	9,44444	9,44	232,24921	29,75079	29,75	252,55556	9,44444	9,44						0	0	0	0	0	0
		252,55556	18,44444	18,44	232,24921	38,75079	38,75	252,55556	18,44444	18,44											
20,29545	20,3	164,00943	16,99057	16,99	169,42127	11,57873	11,58	168,85698	12,14302	12,14						0	0	0	1	0	0
-12,70455	12,7	164,00943	-16,00943	16,01	160,24096	-12,24096	12,24	162,83847	-14,83847	14,84	3	4	3	4		0	0	0	1	0	0
-16,70455	16,7	164,00943	-20,00943	20,01	166,73684	-22,73684	22,74	167,0971	-23,0971	23,1						0	0	0	1	0	0
-13,70455	13,7	164,00943	-17,00943	17,01	162,55451	-15,55451	15,55	164,35521	-17,35521	17,36						0	0	0	1	0	0
-9,70455	9,7	164,00943	-13,00943	13,01	158,70047	-7,70047	7,7	161,82854	-10,82854	10,83						0	0	0	1	0	0
-5,70455	5,7	164,00943	-9,00943	9,01	162,61894	-7,61894	7,62	164,39745	-9,39745	9,4						0	0	0	1	0	0
		164,00943	-19,00943	19,01	139,27813	5,72187	5,72	149,09545	-4,09545	4,1											
-26,67273	26,67	164,00943	-19,00943	19,01	170,2773	-25,2773	25,28	169,41819	-24,41819	24,42						0	0	0	0	1	0
-14,67273	14,67	164,00943	-7,00943	7,01	173,69727	-16,69727	16,7	171,66029	-14,66029	14,66						0	0	0	0	1	0
-22,67273	22,67	155,63158	-6,63158	6,63	165,7715	-16,7715	16,77	166,46423	-17,46423	17,46						0	0	0	0	1	0
7	7	155,63158	-10,63158	10,63	138,51113	6,48887	6,49	148,59262	-3,59262	3,59	3	4	3	4		1	0	0	0	0	0
-25,32653	25,33	252,55556	-29,55556	29,56	232,24921	-9,24921	9,25	252,55556	-29,55556	29,56						0	0	0	0	0	0
12,67347	12,67	218,23077	42,76923	42,77	227,7023	33,2977	33,3	207,06542	53,93458	53,93						0	0	0	0	0	0
-10,32653	10,33	218,23077	19,76923	19,77	229,47671	8,52329	8,52	208,22871	29,77129	29,77						0	0	0	0	0	0
10,67347	10,67	252,55556	6,44444	6,44	232,24921	26,75079	26,75	252,55556	6,44444	6,44						0	0	0	0	0	0
-13,70455	13,7	164,00943	-17,00943	17,01	143,39716	3,60284	3,6	151,79585	-4,79585	4,8						0	0	0	1	0	0
-16,70455	16,7	164,00943	-20,00943	20,01	159,26444	-15,26444	15,26	162,19827	-18,19827	18,2						0	0	0	1	0	0
-7,70455	7,7	164,00943	-11,00943	11,01	152,58939	0,41061	0,41	157,82718	-4,82718	4,82						0	0	0	1	0	0
-18,67273	18,67	164,00943	-11,00943	11,01	172,59781	-19,59781	19,6	170,93949	-17,93949	17,94						0	0	0	0	1	0
-10	10	155,63158	-10,63158	10,63	143,3311	1,6689	1,67	151,75254	-6,75254	6,75						1	0	0			

Validação do Método de Nolla e de Moorrees na Estimativa da Idade Dentária numa População Portuguesa dos 17 aos 23 anos

-11,15385	11,15	155,63158	-5,63158	5,63	158,73434	-8,73434	8,73	161,85075	-11,85075	11,85					0	0	1	0	0	0
1,84615	1,85	155,63158	7,36842	7,37	165,11671	-2,11671	2,12	166,03496	-3,03496	3,03					0	0	1	0	0	0
7,32727	7,33	164,00943	14,99057	14,99	169,97348	9,02652	9,03	169,219	9,781	9,78					0	0	0	0	1	0
-15,70455	15,7	164,00943	-19,00943	19,01	144,77639	0,22361	0,22	152,70006	-7,70006	7,7					0	0	0	1	0	0
-23,67273	23,67	164,00943	-16,00943	16,01	179,41397	-31,41397	31,41	175,40809	-27,40809	27,41					0	0	0	0	1	0
-29,66327	29,66	164,00943	-4,00943	4,01	182,98399	-22,98399	22,98	177,74856	-17,74856	17,75	6	6	6	6	0	0	0	0	0	1
1,67347	1,67	252,55556	-2,55556	2,56	232,24921	17,75079	17,75	252,55556	-2,55556	2,56					0	0	0	0	0	0
9,67347	9,67	252,55556	5,44444	5,44	232,24921	25,75079	25,75	252,55556	5,44444	5,44					0	0	0	0	0	0
-13,67273	13,67	164,00943	-6,00943	6,01	157,82762	0,17238	0,17	161,2563	-3,2563	3,26					0	0	0	0	1	0
4,4898	4,49	179,95349	0,04651	0,05	193,90705	-13,90705	13,91	184,90961	-4,90961	4,91	6	7	6	7	0	0	0	0	1	0
5,67347	5,67	218,23077	35,76923	35,77	230,50272	23,49728	23,5	208,90135	45,09865	45,1					0	0	0	0	0	0
31,67347	31,67	252,55556	27,44444	27,44	232,24921	47,75079	47,75	252,55556	27,44444	27,44	10	14	10	14	0	0	0	0	0	0
-12	12	193,81081	-9,81081	9,81	214,12656	-30,12656	30,13	198,16531	-14,16531	14,17					0	0	0	0	0	1
-13,70455	13,7	164,00943	-17,00943	17,01	154,5159	-7,5159	7,52	159,08518	-12,08518	12,09					0	0	0	1	0	0
-6,67273	6,67	164,00943	0,99057	0,99	176,94871	-11,94871	11,95	173,7919	-8,7919	8,79					0	0	0	0	1	0
-14,70455	14,7	164,00943	-18,00943	18,01	152,16242	-6,16242	6,16	157,54226	-11,54226	11,54					0	0	0	1	0	0
-12,70455	12,7	164,00943	-16,00943	16,01	160,36554	-12,36554	12,37	162,92014	-14,92014	14,92					0	0	0	1	0	0
-6,5102	6,51	164,00943	4,99057	4,99	188,06068	-19,06068	19,06	181,07678	-12,07678	12,08	6	6	6	7	0	0	0	0	1	0
-25,67273	25,67	164,00943	-18,00943	18,01	179,71364	-33,71364	33,71	175,60455	-29,60455	29,6					0	0	0	0	1	0
-18,5102	18,51	179,95349	-22,95349	22,95	207,47521	-50,47521	50,48	193,80475	-36,80475	36,8					0	0	0	0	1	0
-19,67273	19,67	164,00943	-12,00943	12,01	174,82776	-22,82776	22,83	172,40142	-20,40142	20,4					0	0	0	0	1	0
-16,32653	16,33	252,55556	-20,55556	20,56	232,24921	-0,24921	0,25	252,55556	-20,55556	20,56	10	14	10	14	0	0	0	0	0	0
23,67347	23,67	218,23077	53,76923	53,77	222,53486	49,46514	49,47	202,6777	68,3223	68,32					0	0	0	0	0	0
-19,67273	19,67	164,00943	-12,00943	12,01	162,48567	-10,48567	10,49	164,31008	-12,31008	12,31					0	0	0	0	1	0
-10,32653	10,33	252,55556	-14,55556	14,56	232,24921	5,75079	5,75	252,55556	-14,55556	14,56					0	0	0	0	0	0
10,44	10,44	193,81081	3,18919	3,19	205,80979	-8,80979	8,81	192,71292	4,28708	4,29					0	0	0	0	0	1
9,7037	9,7	218,23077	5,76923	5,77	222,03487	1,96513	1,97	203,34992	20,65008	20,65					0	0	0	0	0	0
-0,5102	0,51	179,95349	-4,95349	4,95	183,58016	-8,58016	8,58	178,1394	-3,1394	3,14					0	0	0	0	1	0
-0,56	0,56	179,95349	6,04651	6,05	220,09395	-34,09395	34,09	202,07747	-16,07747	16,08					0	0	0	0	0	1
0,7037	0,7	218,23077	-3,23077	3,23	225,648	-10,648	10,65	205,71864	9,28136	9,28					0	0	0	0	0	0
2,67347	2,67	252,55556	-1,55556	1,56	232,24921	18,75079	18,75	252,55556	-1,55556	1,56					0	0	0	0	0	0
36,67347	36,67	252,55556	32,44444	32,44	232,24921	52,75079	52,75	252,55556	32,44444	32,44	10	14	10	14	0	0	0	0	0	0
-16,67273	16,67	164,00943	-9,00943	9,01	159,57992	-4,57992	4,58	162,4051	-7,4051	7,41					0	0	0	0	1	0
-36,32653	36,33	218,23077	-6,23077	6,23	229,44398	-17,44398	17,44	208,20725	3,79275	3,79					0	0	0	0	0	0
38	38	193,81081	40,18919	40,19	208,3687	25,6313	25,63	194,39051	39,60949	39,61					0	0	0	0	0	1
47,29545	47,3	164,00943	43,99057	43,99	168,74795	39,25205	39,25	168,41556	39,58444	39,58					0	0	0	1	0	0
-22,67273	22,67	164,00943	-15,00943	15,01	170,79239	-21,79239	21,79	169,75588	-20,75588	20,76					0	0	0	0	1	0
-19,32653	19,33	252,55556	-23,55556	23,56	232,24921	-3,24921	3,25	252,55556	-23,55556	23,56					0	0	0	0	0	0
-24,5102	24,51	179,95349	-28,95349	28,95	199,65011	-48,65011	48,65	188,6747	-37,6747	37,67					0	0	0	0	1	0
-19,67273	19,67	164,00943	-12,00943	12,01	163,99419	-11,99419	11,99	165,29904	-13,29904	13,3					0	0	0	0	1	0
-3,56	3,56	193,81081	-10,81081	10,81	212,08678	-29,08678	29,09	196,82805	-13,82805	13,83					0	0	0	0	0	1
-27,56	27,56	179,95349	-20,95349	20,95	212,89746	-53,89746	53,9	197,35952	-38,35952	38,36					0	0	0	0	0	1
-9,2963	9,3	218,23077	-13,23077	13,23	224,08604	-19,08604	19,09	204,69464	0,30536	0,31					0	0	0	0	0	0
-1,67273	1,67	164,00943	5,99057	5,99	162,0051	7,9949	7,99	163,99502	6,00498	6					0	0	0	0	1	0
-10,15385	10,15	155,63158	-4,63158	4,63	171,44425	-20,44425	20,44	170,18323	-19,18323	19,18					0	0	1	0	0	0
15,7037	15,7	218,23077	11,76923	11,77	225,22207	4,77793	4,78	205,43941	24,56059	24,56					0	0	0	0	0	0
18,7037	18,7	218,23077	14,76923	14,77	229,19837	3,80163	3,8	208,04623	24,95377	24,95					0	0	0	0	0	0
24,7037	24,7	218,23077	20,76923	20,77	229,54496	9,45504	9,46	208,27345	30,72655	30,73					0	0	0	0	0	0
-2,32653	2,33	252,55556	-6,55556	6,56	232,24921	13,75079	13,75	252,55556	-6,55556	6,56					0	0	0	0	0	0
10,67347	10,67	252,55556	6,44444	6,44	232,24921	26,75079	26,75	252,55556	6,44444	6,44	10	14	10	14	0	0	0	0	0	0
-23,67273	23,67	164,00943	-16,00943	16,01	156,17738	-8,17738	8,18	160,17443	-12,17443	12,17					0	0	0	0	1	0
-22,5625	22,56	218,23077	-44,23077	44,23	226,333	-52,333	52,33	206,16773	-32,16773	32,17					0	0	0	0	0	0
-29,2963	29,3	252,55556	-67,55556	67,56	232,24921	-47,24921	47,25	252,55556	-67,55556	67,56					0	0	0	0	0	0
-52,32653	52,33	252,55556	-56,55556	56,56	232,24921	-36,24921	36,25	252,55556	-56,55556	56,56					0	0	0	0	0	0
-8,5625	8,56	193,81081	-5,81081	5,81	217,53367	-29,53367	29,53	200,39897	-12,39897	12,4					0	0	0	0	0	0
		252,55556	12,44444	12,44	232,24921	32,75079	32,75	252,55556	12,44444	12,44					0	0	0	0	0	0
-0,67273	0,67	164,00943	6,99057	6,99	172,26085	-1,26085	1,26	170,71858	0,28142	0,28	6	6	6	6	0	0	0	0	1	0
-4,70455	4,7	164,00943	-8,00943	8,01	174,6343	-18,6343	18,63	172,27459	-16,27459	16,27					0	0	0	1	0	0
-3,70455	3,7	164,00943	-7,00943	7,01	164,06607	-7,06607	7,07	165,34617	-8,34617	8,35					0	0	0	1	0	0
3,32727	3,33	179,95349	-4,95349	4,95	189,20579	-14,20579	14,21	181,82751	-6,82751	6,83					0	0	0	0	1	0
-9,32653	9,33	252,55556	-13,55556	13,56	232,24921	6,75079	6,75	252,55556	-13,55556	13,56					0	0	0	0	0	0
38,67347	38,67	252,55556	34,44444	34,44	232,24921	54,75079	54,75	252,55556	34,44444	34,44					0	0	0	0	0	0
-4,70455	4,7	155,63158	0,36842	0,37	151,53154	4,46846	4,47	157,12866	-1,12866	1,13					0	0	0	1	0	0
-35,2963	35,3	218,23077	-39,23077	39,23	220,41584	-41,41584	41,42	202,2885	-23,2885	23,29					0	0	0	0	0	0
-39,32653	39,33	218,23077	-9,23077	9,23	229,79011	-20,79011	20,79	208,43417	0,56583	0,57					0	0	0	0	0	0
-6,625	6,63	155,63158	-2,63158	2,63	149,21277	3,78723	3,79	155,6085	-2,6085											

Validação do Método de Nolla e de Moorrees na Estimativa da Idade Dentária numa População Portuguesa dos 17 aos 23 anos

36,67347	36,67	252,55556	32,44444	32,44	232,24921	52,75079	52,75	252,55556	32,44444	32,44						0	0	0	0	0	0
23,32727	23,33	179,95349	15,04651	15,05	202,50499	-7,50499	7,5	190,54633	4,45367	4,45						0	0	0	0	1	0
		155,63158	5,36842	5,37	136,26448	24,73552	24,74	147,11973	13,88027	13,88											
-3	3	155,63158	-6,63158	6,63	143,67163	5,32837	5,33	151,97579	-2,97579	2,98						1	0	0	0	0	0
3	3	164,00943	-9,00943	9,01	139,11144	15,88856	15,89	148,98617	6,01383	6,01						1	0	0	0	0	0
2,32727	2,33	179,95349	-5,95349	5,95	197,05176	-23,05176	23,05	186,97125	-12,97125	12,97						0	0	0	0	1	0
-16,56	16,56	218,23077	-48,23077	48,23	216,82029	-46,82029	46,82	199,93129	-29,93129	29,93						0	0	0	0	0	1
-23,2963	23,3	218,23077	-27,23077	27,23	227,18515	-36,18515	36,19	206,72639	-15,72639	15,73	9	13	9	13		0	0	0	0	0	0
-42,32653	42,33	218,23077	-12,23077	12,23	229,56899	-23,56899	23,57	208,2892	-2,2892	2,29						0	0	0	0	0	0
-28,32653	28,33	252,55556	-32,55556	32,56	232,24921	-12,24921	12,25	252,55556	-32,55556	32,56						0	0	0	0	0	0
-11,5102	11,51	164,00943	-0,00943	0,01	182,01776	-18,01776	18,02	177,11511	-13,11511	13,12						0	0	0	0	1	0
-9	9	155,63158	-9,63158	9,63	71,26712	74,73288	74,73	104,50814	41,49186	41,49						1	0	0	0	0	0
-1,625	1,63	164,00943	-6,00943	6,01	139,70553	18,29447	18,29	149,37565	8,62435	8,62						1	1	0	0	0	0
33,29545	33,3	164,00943	29,99057	29,99	175,6654	18,3346	18,33	172,95057	21,04943	21,05						0	0	1	0	0	0
38,29545	38,3	164,00943	34,99057	34,99	177,46427	21,53573	21,54	174,12989	24,87011	24,87						0	0	0	1	0	0
34,32727	34,33	179,95349	26,04651	26,05	197,37807	8,62193	8,62	187,18517	18,81483	18,81						0	0	0	1	0	0
-0,67273	0,67	164,00943	6,99057	6,99	170,54187	0,45813	0,46	169,59163	1,40837	1,41						0	0	0	0	1	0
9,29545	9,3	164,00943	5,99057	5,99	149,93083	20,06917	20,07	156,07925	13,92075	13,92	5	5	5	5		0	0	0	1	0	0
25,32727	25,33	179,95349	17,04651	17,05	190,76971	6,23029	6,23	182,8528	14,1472	14,15						0	0	0	1	0	0
		218,23077	15,76923	15,77	224,02399	9,97601	9,98	204,65396	29,34604	29,35						0	0	0	0	0	0
24,32727	24,33	164,00943	31,99057	31,99	164,96802	31,03198	31,03	165,93748	30,06252	30,06						0	0	0	1	0	0
4	4	155,63158	6,36842	6,37	98,4823	63,5177	63,52	122,35013	39,64987	39,65						0	1	0	0	0	0
10,375	10,37	164,00943	5,99057	5,99	142,76773	27,23227	27,23	151,3832	18,6168	18,62						0	1	0	0	0	0
-15,5102	15,51	164,00943	-4,00943	4,01	166,78473	-6,78473	6,78	167,12849	-7,12849	7,13						0	0	0	0	1	0
-3,2963	3,3	218,23077	-7,23077	7,23	225,15814	-14,15814	14,16	205,3975	5,6025	5,6						0	0	0	0	0	0
14,67347	14,67	252,55556	10,44444	10,44	232,24921	30,75079	30,75	252,55556	10,44444	10,44	10	14	10	14		0	0	0	0	0	0
17,44	17,44	179,95349	24,04651	24,05	208,59119	-4,59119	4,59	194,53638	9,46362	9,46						0	0	0	0	0	1
23,4375	23,44	193,81081	26,18919	26,19	211,14498	8,85502	8,86	196,21062	23,78938	23,79						0	0	0	0	0	0
52,7037	52,7	252,55556	14,44444	14,44	232,24921	34,75079	34,75	252,55556	14,44444	14,44						0	0	0	0	0	0
-12,32653	12,33	252,55556	-16,55556	16,56	232,24921	3,75079	3,75	252,55556	-16,55556	16,56	10	14	10	14		0	0	0	0	0	0
11,67347	11,67	252,55556	7,44444	7,44	232,24921	27,75079	27,75	252,55556	7,44444	7,44						0	0	0	0	0	0
		252,55556	8,44444	8,44	232,24921	28,75079	28,75	252,55556	8,44444	8,44											
-29,56	29,56	193,81081	-36,81081	36,81	201,9711	-44,9711	44,97	190,19632	-33,19632	33,2						0	0	0	0	0	1
12,32727	12,33	179,95349	4,04651	4,05	184,66162	-0,66162	0,66	178,8484	5,1516	5,15						0	0	0	1	0	0
-13,70455	13,7	164,00943	-17,00943	17,01	146,99246	0,00754	0,01	154,15289	-7,15289	7,15	5	5	5	5		0	0	0	1	0	0
-1,67273	1,67	179,95349	-9,95349	9,95	190,05124	-20,05124	20,05	182,38178	-12,38178	12,38						0	0	0	1	0	0
-11,41837	11,42	193,81081	-10,81081	10,81	210,90659	-27,90659	27,91	196,05433	-13,05433	13,05						0	0	0	0	0	1
35,67347	35,67	252,55556	31,44444	31,44	232,24921	51,75079	51,75	252,55556	31,44444	31,44						0	0	0	0	0	0
-4,67273	4,67	164,00943	2,99057	2,99	169,18143	-2,18143	2,18	168,69975	-1,69975	1,7						0	0	0	0	1	0
16,29545	16,3	164,00943	12,99057	12,99	153,62374	23,37626	23,38	158,50029	18,49971	18,5						0	0	0	1	0	0
-10,70455	10,7	164,00943	-14,00943	14,01	174,54007	-24,54007	24,54	172,21282	-22,21282	22,21						0	0	0	1	0	0
-9,5102	9,51	179,95349	-13,95349	13,95	190,71448	-24,71448	24,71	182,81659	-16,81659	16,82	7	9	7	9		0	0	0	0	1	0
-42,32653	42,33	218,23077	-12,23077	12,23	229,48729	-23,48729	23,49	208,23564	-2,23564	2,24						0	0	0	0	0	0
		252,55556	-29,55556	29,56	232,24921	-9,24921	9,25	252,55556	-29,55556	29,56											
25,67347	25,67	252,55556	21,44444	21,44	232,24921	41,75079	41,75	252,55556	21,44444	21,44						0	0	0	0	0	0
28,67347	28,67	252,55556	24,44444	24,44	232,24921	44,75079	44,75	252,55556	24,44444	24,44	10	14	10	14		0	0	0	0	0	0
36,67347	36,67	252,55556	32,44444	32,44	232,24921	52,75079	52,75	252,55556	32,44444	32,44						0	0	0	0	0	0
5,67347	5,67	252,55556	1,44444	1,44	232,24921	21,75079	21,75	252,55556	1,44444	1,44						0	0	0	0	0	0
17,29545	17,3	164,00943	13,99057	13,99	153,29826	24,70174	24,7	158,28691	19,71309	19,71						0	0	0	1	0	0
10,32727	10,33	164,00943	17,99057	17,99	173,37192	8,62808	8,63	171,44699	10,55301	10,55						0	0	0	0	1	0
-10,56	10,56	193,81081	-17,81081	17,81	210,44363	-34,44363	34,44	195,75081	-19,75081	19,75						0	0	0	0	0	1
-8,2963	8,3	218,23077	-12,23077	12,23	224,05879	-18,05879	18,06	204,67677	-13,2323	13,2	9	13	9	13		0	0	0	0	0	0
-5,26531	5,27	179,95349	-4,95349	4,95	205,95899	-30,95899	30,96	192,81073	-17,81073	17,81						0	0	0	0	1	0
16,67347	16,67	252,55556	12,44444	12,44	232,24921	32,75079	32,75	252,55556	12,44444	12,44						0	0	0	0	0	0
38,67347	38,67	252,55556	34,44444	34,44	232,24921	54,75079	54,75	252,55556	34,44444	34,44						0	0	0	0	0	0
-15,32653	15,33	218,23077	14,76923	14,77	231,1988	1,8012	1,8	209,35769	23,64231	23,64						0	0	0	0	0	0
54,44	54,44	179,95349	61,04651	61,05	211,9829	29,0171	29,02	196,75995	44,24005	44,24						0	0	0	0	0	1
39,29545	39,3	164,00943	35,99057	35,99	135,86023	64,13977	64,14	146,85471	53,14529	53,15						0	0	0	1	0	0
23,67347	23,67	252,55556	19,44444	19,44	232,24921	39,75079	39,75	252,55556	19,44444	19,44						0	0	0	0	0	0
27,67347	27,67	252,55556	23,44444	23,44	232,24921	43,75079	43,75	252,55556	23,44444	23,44						0	0	0	0	0	0
-10,32653	10,33	252,55556	-14,55556	14,56	232,24921	5,75079	5,75	252,55556	-14,55556	14,56						0	0	0	0	0	0
-2,32653	2,33	252,55556	-6,55556	6,56	232,24921	13,75079	13,75	252,55556	-6,55556	6,56	10	14	10	14		0	0	0	0	0	0
0,67347	0,67	252,55556	-3,55556	3,56	232,24921	16,75079	16,75	252,55556	-3,55556	3,56						0	0	0	0	0	0
12,67347	12,67	252,55556	8,44444	8,44	232,24921	28,75079	28,75	252,55556	8,44444	8,44						0	0	0	0	0	0
-18,67273	18,67	164,00943	-11,00943	11,01	156,																

Validação do Método de Nolla e de Moorrees na Estimativa da Idade Dentária numa População Portuguesa dos 17
aos 23 anos

29,67347	29,67	252,55556	25,44444	25,44	232,24921	45,75079	45,75	252,55556	25,44444	25,44					0	0	0	0	0	0
-14,67273	14,67	164,00943	-7,00943	7,01	179,10794	-22,10794	22,11	175,20747	-18,20747	18,21					0	0	0	0	1	0
-27	27	179,95349	-10,95349	10,95	203,45954	-34,45954	34,46	191,17212	-22,17212	22,17					0	0	0	0	0	1
19,67347	19,67	252,55556	15,44444	15,44	232,24921	35,75079	35,75	252,55556	15,44444	15,44					0	0	0	0	0	0
		252,55556	14,44444	14,44	232,24921	34,75079	34,75	252,55556	14,44444	14,44										
32,7037	32,7	218,23077	28,76923	28,77	224,60164	22,39836	22,4	205,03266	41,96734	41,97					0	0	0	0	0	0
-18,32653	18,33	218,23077	11,76923	11,77	229,94671	0,05329	0,05	208,53684	21,46316	21,46					0	0	0	0	0	0
-15,32653	15,33	252,55556	-19,55556	19,56	232,24921	0,75079	0,75	252,55556	-19,55556	19,56					0	0	0	0	0	0
-31,5625	31,56	193,81081	-28,81081	28,81	208,71303	-43,71303	43,71	194,61625	-29,61625	29,62					0	0	0	0	0	0
1	1	193,81081	3,18919	3,19	212,30965	-15,30965	15,31	196,97416	0,02584	0,03					0	0	0	0	0	1
15,4375	15,44	218,23077	-6,23077	6,23	222,54401	-10,54401	10,54	203,6837	8,3163	8,32					0	0	0	0	0	0
9,67347	9,67	252,55556	5,44444	5,44	232,24921	25,75079	25,75	252,55556	5,44444	5,44	10	14	10	14	0	0	0	0	0	0
-10,5625	10,56	193,81081	-7,81081	7,81	217,62307	-31,62307	31,62	200,45758	-14,45758	14,46					0	0	0	0	0	0
9,67347	9,67	252,55556	5,44444	5,44	232,24921	25,75079	25,75	252,55556	5,44444	5,44					0	0	0	0	0	0
0,4375	0,44	193,81081	3,18919	3,19	222,07264	-25,07264	25,07	203,37468	-6,37468	6,37					0	0	0	0	0	0
-4,32653	4,33	252,55556	-8,55556	8,56	232,24921	11,75079	11,75	252,55556	-8,55556	8,56					0	0	0	0	0	0
-39,32653	39,33	252,55556	-43,55556	43,56	232,24921	-23,24921	23,25	252,55556	-43,55556	43,56					0	0	0	0	0	0
36,67347	36,67	252,55556	32,44444	32,44	232,24921	52,75079	52,75	252,55556	32,44444	32,44					0	0	0	0	0	0
-5,32653	5,33	218,23077	24,76923	24,77	222,1853	20,8147	20,81	203,44853	39,55147	39,55					0	0	0	0	0	0

Validação do Método de Nolla e de Moorrees na Estimativa da Idade Dentária numa População Portuguesa dos 17 aos 23 anos

[illegible]

Validação do Método de Nolla e de Moorrees na Estimativa da Idade Dentária numa População Portuguesa dos 17 aos 23 anos

[illegible]

Validação do Método de Nolla e de Moorrees na Estimativa da Idade Dentária numa População Portuguesa dos 17 aos 23 anos

[illegible]

Validação do Método de Nolla e de Moorrees na Estimativa da Idade Dentária numa População Portuguesa dos 17 aos 23 anos

[illegible]

Validação do Método de Nolla e de Moorrees na Estimativa da Idade Dentária numa População Portuguesa dos 17 aos 23 anos

[illegible]

Validação do Método de Nolla e de Moorrees na Estimativa da Idade Dentária numa População Portuguesa dos 17
aos 23 anos

0	0	1	0	0	0	0	0	0	0	0	0	0	0	0	0
0	0	0	0	0	0	0	0	1	0	0	0	0	0	0	0
0	0	0	0	0	0	0	0	0	0	0	0	1	0	0	0
0	0	1	0	0	0	0	0	0	0	0	0	0	0	0	0
0	1	0	0	0	0	0	0	0	0	0	0	0	0	0	1
0	0	1	0	0	0	0	0	0	0	0	0	0	0	0	0
0	0	1	0	0	0	0	0	0	0	0	0	0	0	0	0
1	0	0	0	0	0	0	0	0	0	0	0	0	1	0	0
0	0	0	0	0	0	0	0	0	0	0	0	1	0	0	0
1	0	0	0	0	0	0	0	0	0	0	0	0	1	0	0
0	0	1	0	0	0	0	0	0	0	0	0	0	0	0	0
1	0	0	0	0	0	0	0	0	0	0	0	0	1	0	0
0	0	1	0	0	0	0	0	0	0	0	0	0	0	0	0
1	0	0	0	0	0	0	0	0	0	0	0	0	1	0	0
0	0	1	0	0	0	0	0	0	0	0	0	0	0	0	0
1	0	0	0	0	0	0	0	0	0	0	0	0	1	0	0
0	0	1	0	0	0	0	0	0	0	0	0	0	0	0	0
0	0	1	0	0	0	0	0	0	0	0	0	0	0	0	0
0	0	1	0	0	0	0	0	0	0	0	0	0	0	0	0
0	0	1	0	0	0	0	0	0	0	0	0	0	0	0	0
0	0	1	0	0	0	0	0	0	0	0	0	0	0	0	0
0	0	1	0	0	0	0	0	0	0	0	0	0	0	0	0

Validação do Método de Nolla e de Moorrees na Estimativa da Idade Dentária numa População Portuguesa dos 17 aos 23 anos

[illegible]

Validação do Método de Nolla e de Moorrees na Estimativa da Idade Dentária numa População Portuguesa dos 17 aos 23 anos

[illegible]

Validação do Método de Nolla e de Moorrees na Estimativa da Idade Dentária numa População Portuguesa dos 17 aos 23 anos

[illegible]

Validação do Método de Nolla e de Moorrees na Estimativa da Idade Dentária numa População Portuguesa dos 17 aos 23 anos

[illegible]

Validação do Método de Nolla e de Moorrees na Estimativa da Idade Dentária numa População Portuguesa dos 17 aos 23 anos

1	0	0	0	0	0	0	1	0
0	0	0	1	0	0	0	0	0
0	0	0	0	1	0	0	0	0
1	0	0	0	0	0	0	1	0
		0	0	0	0	0	1	0
0	0	0	0	0	0	1	0	0
1	0	0	0	0	0	1	0	0
1	0	0	0	0	0	0	1	0
0	0	0	0	0	1	0	0	0
0	0	0	0	0	1	0	0	0
0	0	0	0	0	0	1	0	0
1	0	0	0	0	0	0	1	0
0	0	0	0	0	1	0	0	0
0	0	0	0	0	1	0	0	0
1	0	0	0	0	0	0	1	0
0	0	0	0	0	1	0	0	0
1	0	0	0	0	1	0	0	0
0	0	0	0	0	1	0	0	0
1	0	0	0	0	0	0	1	0
0	0	0	0	0	1	0	0	0
1	0	0	0	0	0	0	1	0
1	0	0	0	0	0	0	1	0
1	0	0	0	0	0	0	1	0
1	0	0	0	0	0	0	1	0
1	0	0	0	0	0	0	1	0
1	0	0	0	0	0	1	0	0

Anexo 6 – Validação de dados

I – Validação intra-observador

I – Validação intra-observador

Kappa ponderado do Cohen

Classificações	Kappa ponderado ^b	Assintótico			95% Intervalo de Confiança Assintótica	
		Estatística do teste Padrão ^c	z ^d	Sig.	Limite inferior	Limite superior
Dente 38 - estágio de Nolla - Dente 38 - estágio de Nolla - 2.ª medição ^a	,848	,036	6,593	,000	,777	,919

- As categorias são determinadas por valores observados e valores para os quais os rótulos de valor são definidos.
- A estimação do kappa ponderado usa pesos lineares.
- O valor não depende de hipóteses nulas ou alternativas.
- Estima o erro padrão assintótico supondo que a hipótese nula que ponderou o kappa é zero.

Correlações

			Dente 38 - estágio de Nolla	Dente 38 - estágio de Nolla - 2.ª medição
rô de Spearman	Dente 38 - estágio de Nolla	Coeficiente de Correlação	1,000	,961**
		Sig. (2 extremidades)	.	,000
		N	336	33
	Dente 38 - estágio de Nolla - 2.ª medição	Coeficiente de Correlação	,961**	1,000
		Sig. (2 extremidades)	,000	.
		N	33	33

**. A correlação é significativa no nível 0,01 (2 extremidades).

Kappa ponderado do Cohen

Classificações	Kappa ponderado ^b	Assintótico			95% Intervalo de Confiança Assintótica	
		Estatística do teste Padrão ^c	z ^d	Sig.	Limite inferior	Limite superior
Dente 38 - estágio de Moorrees - Dente 38 - estágio de Moorrees - 2.ª medição ^a	,902	,023	6,381	,000	,857	,947

- As categorias são determinadas por valores observados e valores para os quais os rótulos de valor são definidos.
- A estimação do kappa ponderado usa pesos lineares.
- O valor não depende de hipóteses nulas ou alternativas.
- Estima o erro padrão assintótico supondo que a hipótese nula que ponderou o kappa é zero.

Correlações

			Dente 38 - estádio de Moorrees	Dente 38 - estádio de Moorrees - 2. ^a medição
rô de Spearman	Dente 38 - estágio de Moorrees	Coeficiente de Correlação	1,000	,958**
		Sig. (2 extremidades)	.	,000
		N	336	33
	Dente 38 - estágio de Moorrees - 2. ^a medição	Coeficiente de Correlação	,958**	1,000
		Sig. (2 extremidades)	,000	.
		N	33	33

**. A correlação é significativa no nível 0,01 (2 extremidades).

Kappa ponderado do Cohen

Classificações	Kappa ponderado ^b	Assintótico			95% Intervalo de Confiança Assintótica	
		Estatística do teste Padrão ^c	z ^d	Sig.	Limite inferior	Limite superior
Dente 48 - estágio de Nolla - Dente 48 - estágio de Nolla - 2. ^a medição ^a	,860	,036	6,646	,000	,790	,930

- As categorias são determinadas por valores observados e valores para os quais os rótulos de valor são definidos.
- A estimação do kappa ponderado usa pesos lineares.
- O valor não depende de hipóteses nulas ou alternativas.
- Estima o erro padrão assintótico supondo que a hipótese nula que ponderou o kappa é zero.

Correlações

			Dente 48 - estágio de Nolla	Dente 48 - estágio de Nolla - 2. ^a medição
rô de Spearman	Dente 48 - estágio de Nolla	Coeficiente de Correlação	1,000	,963**
		Sig. (2 extremidades)	.	,000
		N	329	33
	Dente 48 - estágio de Nolla - 2. ^a medição	Coeficiente de Correlação	,963**	1,000
		Sig. (2 extremidades)	,000	.
		N	33	33

**. A correlação é significativa no nível 0,01 (2 extremidades).

Kappa ponderado do Cohen

Classificações	Kappa ponderado ^b	Assintótico			95% Intervalo de Confiança Assintótica	
		Estatística do teste Padrão ^c	z ^d	Sig.	Limite inferior	Limite superior
Dente 48 - estágio de Moorrees - Dente 48 - estágio de Moorrees - 2. ^a medição ^a	,923	,023	6,531	,000	,878	,967

- As categorias são determinadas por valores observados e valores para os quais os rótulos de valor são definidos.
- A estimação do kappa ponderado usa pesos lineares.
- O valor não depende de hipóteses nulas ou alternativas.
- Estima o erro padrão assintótico supondo que a hipótese nula que ponderou o kappa é zero.

Correlações

			Dente 48 - estágio de Moorrees	Dente 48 - estágio de Moorrees - 2. ^a medição
rô de Spearman	Dente 48 - estágio de Moorrees	Coeficiente de Correlação	1,000	,960**
		Sig. (2 extremidades)	.	,000
		N	329	33
	Dente 48 - estágio de Moorrees - 2. ^a medição	Coeficiente de Correlação	,960**	1,000
		Sig. (2 extremidades)	,000	.
		N	33	33

**. A correlação é significativa no nível 0,01 (2 extremidades).

Anexo 7 – Caracterização da amostra

I – Caracterização da amostra por Pacientes

II – Caracterização da amostra por idade (meses) e Género

III – Caracterização da amostra por idades (anos) e OPG

I – Caracterização da amostra por paciente

Género do paciente

		Frequência	Porcentagem	Porcentagem válida	Porcentagem acumulativa
Válido	Feminino	179	51,4	51,4	51,4
	Masculino	169	48,6	48,6	100,0
	Total	348	100,0	100,0	

II – Caracterização da amostra por idade (meses) e Género

Idade (em meses) na data do Rx panorâmico Género do paciente

	Feminino	Masculino	Total
Contagem	179	169	348
Mínimo	144,0	144,0	144,0
Percentil 25	164,0	162,0	162,5
Mediana	195,0	186,0	191,5
Percentil 75	236,0	233,0	234,0
Máximo	287,0	287,0	287,0
Média	201,1	198,9	200,0
Desvio padrão	42,9	40,6	41,8

III – Caracterização da amostra por idades (anos) e OPG

Tabulação cruzada Idade (em anos) na data do Rx panorâmico * Género do paciente				
Contagem				
		Género do paciente		Total
		Feminino	Masculino	
Idade (em anos) na data do Rx panorâmico	12	30	22	52
	13	19	27	46
	14	24	23	47
	15	13	16	29
	16	12	13	25
	17	22	8	30
	18	8	10	18
	19	13	15	28
	20	5	11	16
	21	10	10	20
	22	13	8	21
	23	10	6	16
Total		179	169	348

Anexo 8 – Estimação da idade pelo estágio de Nolla

- I – Tabulação cruzada Dente 38 e 48 - estádios de Nolla, Género do paciente
- II – Características da Idade por estágio de Nolla
- III – Regressão linear e variáveis artificiais (dummy)

I – Tabulação cruzada Dente 38 e 48 - estádios de Nolla, Género do paciente

Tabulação cruzada Dente 38 - estádios de Nolla * Género do paciente				
Contagem				
		Género do paciente		Total
		Feminino	Masculino	
Dente 38 - Estádios de Nolla	Mineralização inicial	5	2	7
	1/3 da coroa formada	6	6	12
	2/3 da coroa formada	7	6	13
	Coroa quase formada	22	25	47
	Formação completa da coroa	40	37	77
	1/3 da raiz formada	21	14	35
	2/3 da raiz formada	6	10	16
	raiz quase formada- apex aberto	16	14	30
	Encerramento apical/ raiz formada	50	49	99
Total		173	163	336
Tabulação cruzada Dente 48 - estádios de Nolla * Género do paciente				
Contagem				
		Género do paciente		Total
		Feminino	Masculino	
Dente 48 - Estádios de Nolla	Mineralização inicial	4	2	6
	1/3 da coroa formada	7	4	11
	2/3 da coroa formada	7	5	12
	Coroa quase formada	20	24	44
	Formação completa da coroa	42	37	79
	1/3 da raiz formada	20	14	34
	2/3 da raiz formada	7	9	16
	raiz quase formada- apex aberto	15	14	29
	Encerramento apical/ raiz formada	51	47	98
Total		173	156	329

Tabulação cruzada Dente 38 - estádios de Nolla * Dente 48 - estádios de Nolla

Contagem											
		Dente 48 - estádios de Nolla									Total
		Calcificação inicial	1/3 da coroa formada	2/3 da coroa formada	Coroa quase formada	Formação completa da coroa	1/3 da raiz formada	2/3 da raiz formada	raiz quase formada-apex aberto	Encerramento apical/ raiz formada	
Dente 38 - Estádios de Nolla	Mineralização inicial	6	1	0	0	0	0	0	0	0	7
	1/3 da coroa formada	0	10	0	0	0	0	0	0	0	10
	2/3 da coroa formada	0	0	12	0	0	0	0	0	0	12
	Coroa quase formada	0	0	0	43	4	0	0	0	0	47
	Formação completa da coroa	0	0	0	1	74	1	0	0	0	76
	1/3 da raiz formada	0	0	0	0	1	33	0	0	0	34
	2/3 da raiz formada	0	0	0	0	0	0	15	1	0	16
	raiz quase formada-apex aberto	0	0	0	0	0	0	0	28	2	30
	Encerramento apical/ raiz formada	0	0	0	0	0	0	1	0	93	94
Total		6	11	12	44	79	34	16	29	95	326

II – Características da idade por estágio de Nolla

	Dente 38 - estádios de Nolla										
	Ausência de gérmen	Presença de gérmen	Mineralização inicial	1/3 da coroa formada	2/3 da coroa formada	Coroa quase formada	Formação completa da coroa	1/3 da raiz formada	2/3 da raiz formada	raiz quase formada-apex aberto	Encerramento apical/ raiz formada
Contagem	0	0	7	12	13	47	77	35	16	30	99
Mínimo			145	151	147	144	145	154	156	179	162
Percentil 25			145	154	151	148	157	171	180	197	231
Mediana			149	157	163	156	171	184	192	212	251
Percentil 75			159	160	169	171	182	201	210	224	269
Máximo			174	182	179	208	225	241	261	267	287
Média			153,29	159,08	161,15	161,55	173,08	188,71	196,56	214,00	248,55
Desvio padrão			10,59	8,85	10,27	16,62	19,06	21,86	27,01	20,96	25,03
	Dente 48 - estádios de Nolla										
	Ausência de gérmen	Presença de gérmen	Calcificação inicial	1/3 da coroa formada	2/3 da coroa formada	Coroa quase formada	Formação completa da coroa	1/3 da raiz formada	2/3 da raiz formada	raiz quase formada-apex aberto	Encerramento apical/ raiz formada
Contagem	0	0	6	11	12	44	79	34	16	29	98
Mínimo			145	151	147	144	145	154	156	179	162
Percentil 25			145	153	151	148	157	174	180	197	230
Mediana			148	158	164	156	170	184	192	210	251
Percentil 75			155	162	170	171	182	197	216	224	270
Máximo			174	182	179	200	225	241	266	267	287
Média			152,33	159,55	161,58	161,09	172,78	188,15	200,75	212,03	248,02
Desvio padrão			11,27	9,17	10,60	16,20	19,31	20,97	32,12	20,11	25,13

Idade (em meses) na data do Rx panorâmico

III – Regressão linear e variáveis artificiais (dummy)

Modelo	Variáveis inseridas	Variáveis removidas	Método
1	Dente38_Nolla=Encerramento apical/ raiz formada, Dente38_Nolla=1/3 da coroa formada, Dente38_Nolla=2/3 da coroa formada, Dente38_Nolla=2/3 da raiz formada, Dente38_Nolla=raiz quase formada- apex aberto, Dente38_Nolla=1/3 da raiz formada, Dente38_Nolla=Coroa quase formada, Dente38_Nolla=Formação completa da coroa ^b		Inserir
a. Variável Dependente: Idade (em meses) na data do Rx panorâmico			
b. Todas as variáveis solicitadas inseridas.			

Resumo do modelo ^b				
Modelo	R	R quadrado	R quadrado ajustado	Erro padrão da estimativa
1	,864 ^a	0,746	0,739	21,017
a. Preditores: (Constante), Dente38_Nolla=Encerramento apical/ raiz formada, Dente38_Nolla=1/3 da coroa formada, Dente38_Nolla=2/3 da coroa formada, Dente38_Nolla=2/3 da raiz formada, Dente38_Nolla=raiz quase formada- apex aberto, Dente38_Nolla=1/3 da raiz formada, Dente38_Nolla=Coroa quase formada, Dente38_Nolla=Formação completa da coroa				
b. Variável Dependente: Idade (em meses) na data do Rx panorâmico				

ANOVA ^a						
Modelo		Soma dos Quadrados	df	Quadrado Médio	Z	Sig.
1	Regressão	423559,541	8	52944,943	119,867	,000 ^b
	Resíduo	144434,813	327	441,697		
	Total	567994,354	335			
a. Variável Dependente: Idade (em meses) na data do Rx panorâmico						
b. Preditores: (Constante), Dente38_Nolla=Encerramento apical/ raiz formada, Dente38_Nolla=1/3 da coroa formada, Dente38_Nolla=2/3 da coroa formada, Dente38_Nolla=2/3 da raiz formada, Dente38_Nolla=raiz quase formada- apex aberto, Dente38_Nolla=1/3 da raiz formada, Dente38_Nolla=Coroa quase formada, Dente38_Nolla=Formação completa da coroa						

Validação do Método de Nolla e de Moorrees na Estimativa da Idade Dentária numa População Portuguesa dos 17 aos 23 anos

Coeficientes ^a						
Modelo		Coeficientes não padronizados		Coeficientes padronizados	t	Sig.
		B	Erro Erro	Beta		
1	(Constante)	153,286	7,944		19,297	0,000
	Dente38_Nolla=1/3 da coroa formada	5,798	9,995	0,026	0,580	0,562
	Dente38_Nolla=2/3 da coroa formada	7,868	9,853	0,037	0,799	0,425
	Dente38_Nolla=Coroa quase formada	8,267	8,515	0,070	0,971	0,332
	Dente38_Nolla=Formação completa da coroa	19,792	8,297	0,202	2,386	0,018
	Dente38_Nolla=1/3 da raiz formada	35,429	8,702	0,263	4,071	0,000
	Dente38_Nolla=2/3 da raiz formada	43,277	9,524	0,224	4,544	0,000
	Dente38_Nolla=raiz quase formada- apex aberto	60,714	8,822	0,421	6,882	0,000
	Dente38_Nolla=Encerramento apical/ raiz formada	95,260	8,220	1,056	11,589	0,000
a. Variável Dependente: Idade (em meses) na data do Rx panorâmico						

Estatísticas de resíduos					
	Mínimo	Máximo	Média	Erro Desvio	N
Valor previsto	153,29	248,55	198,73	35,558	336
Resíduo	-86,545	64,438	0,000	20,764	336
Erro Valor previsto	-1,278	1,401	0,000	1,000	336
Erro Resíduo	-4,118	3,066	0,000	0,988	336

a. Variável Dependente: Idade (em meses) na data do Rx panorâmico

Anexo 9 – Estimação da idade pelo estágio de Moorrees

I – Tabulação cruzada Dente 38 e 48 - estádios de Moorrees, Género do paciente

II – Características da Idade por estágio de Moorrees

III – Regressão linear e variáveis artificiais (dummy)

I – Tabulação cruzada Dente 38 e 48 - estádios de Moorrees, Género do paciente

Tabulação cruzada Dente 38 - estágio de Moorrees * Género do paciente

		Género do paciente		Total
		Feminino	Masculino	
Dente 38 - estádio de Moorrees	Coalescência de cúspides	3	0	3
	Formação completa das cúspides	3	5	8
	1/2 da coroa formada	5	3	8
	3/4 da coroa formada	27	30	57
	Formação completa da coroa	30	28	58
	Formação inicial da raiz	11	8	19
	Formação inicial da fenda	4	5	9
	1/4 do comprimento da raiz	16	9	25
	1/2 do comprimento da raiz	2	2	4
	3/4 do comprimento da raiz	6	11	17
	Formação completa da raiz	1	1	2
	1/2 apex encerrado	15	13	28
	Encerramento de apex completo	50	48	98
Total		173	163	336

Tabulação cruzada Dente 48 - estágio de Moorrees * Género do paciente

		Género do paciente		Total
		Feminino	Masculino	
Dente 48 - estágio de Moorrees	Coalescência de cúspides	3	0	3
	Formação completa das cúspides	3	4	7
	1/2 da coroa formada	5	2	7
	3/4 da coroa formada	25	28	53
	Formação completa da coroa	31	28	59
	Formação inicial da raiz	11	7	18
	Formação inicial da fenda	4	5	9
	1/4 do comprimento da raiz	16	10	26
	1/2 do comprimento da raiz	2	2	4
	3/4 do comprimento da raiz	7	10	17
	Formação completa da raiz	1	1	2
	1/2 apex encerrado	14	13	27
	Encerramento de apex completo	51	46	97
Total		173	156	329

Tabulação cruzada Dente 38 - estádios de Moorrees * Dente 48 - estádios de Moorrees

		Dente 48 - estágio de Moeres												
		Coalescência de cúspides	Formação completa das cúspides	1/2 da coroa formada	3/4 da coroa formada	Formação completa da coroa	Formação inicial da raiz	Formação inicial da fenda	1/4 do comprimento da raiz	1/2 do comprimento da raiz	3/4 do comprimento da raiz	Formação completa da raiz	1/2 apêx encerrado	Encerramento de apêx completo
Dente 38 - estágio de Moorrees	Coalescência de cúspides	3	0	0	0	0	0	0	0	0	0	0	0	0
	Formação completa das cúspides	0	7	0	0	0	0	0	0	0	0	0	0	0
	1/2 da coroa formada	0	0	7	0	0	0	0	0	0	0	0	0	0
	3/4 da coroa formada	0	0	0	52	4	0	0	0	0	0	0	0	0
	Formação completa da coroa	0	0	0	1	54	0	2	0	0	0	0	0	0
	Formação inicial da raiz	0	0	0	0	1	18	0	0	0	0	0	0	0
	Formação inicial da fenda	0	0	0	0	0	0	7	1	0	0	0	0	0
	1/4 do comprimento da raiz	0	0	0	0	0	0	0	25	0	0	0	0	0
	1/2 do comprimento da raiz	0	0	0	0	0	0	0	0	4	0	0	0	0
	3/4 do comprimento da raiz	0	0	0	0	0	0	0	0	0	16	0	1	0
	Formação completa da raiz	0	0	0	0	0	0	0	0	0	0	2	0	0
	1/2 apêx encerrado	0	0	0	0	0	0	0	0	0	0	0	26	2
	Encerramento de apêx completo	0	0	0	0	0	0	0	0	0	1	0	0	92
Total		3	7	7	53	59	18	9	26	4	17	2	27	94

II – Características da Idade por estágio de Moorrees

	Dente 38 - estágio de Moorrees													
	Formação inicial da cúspide	Coalescência de cúspides	Formação completa das cúspides	1/2 da coroa formada	3/4 da coroa formada	Formação completa da coroa	Formação inicial da raiz	Formação inicial da fenda	1/4 do comprimento da raiz	1/2 do comprimento da raiz	3/4 do comprimento da raiz	Formação completa da raiz	1/2 apêndice	Encerramento de apêndice completo
Contagem	0	3	8	8	57	58	19	9	25	4	17	2	28	98
Mínimo		145	145	151	144	145	151	169	154	169	156	197	179	162
Percentil 25		145	152	153	148	157	158	177	171	177	185	197	199	231
Mediana		146	157	156	156	171	169	183	184	191	194	206	212	251
Percentil 75		174	159	164	169	182	180	186	197	216	212	215	232	269
Máximo		174	162	182	208	214	229	222	241	234	261	215	270	287
Média		155,00	155,00	159,63	160,81	171,79	177,00	186,56	186,56	196,00	198,06	206,00	216,29	248,33
Desvio padrão		16,46	5,61	10,84	15,23	18,38	24,43	15,96	20,28	27,80	26,87	12,73	23,87	25,06

	Dente 48 - estágio de Moorrees													
	Formação inicial da cúspide	Coalescência de cúspides	Formação completa das cúspides	1/2 da coroa formada	3/4 da coroa formada	Formação completa da coroa	Formação inicial da raiz	Formação inicial da fenda	1/4 do comprimento da raiz	1/2 do comprimento da raiz	3/4 do comprimento da raiz	Formação completa da raiz	1/2 apêndice	Encerramento de apêndice completo
Contagem	0	3	7	7	53	59	18	9	26	4	17	2	27	97
Mínimo		145	145	151	144	145	151	169	154	169	156	197	179	162
Percentil 25		145	149	152	148	156	158	175	171	177	185	197	193	230
Mediana		146	155	156	156	170	172	182	185	191	194	206	210	250
Percentil 75		174	159	170	169	181	180	184	197	216	220	215	230	269
Máximo		174	162	182	200	214	229	201	241	234	266	215	270	287
Média		155,00	154,57	160,29	160,47	171,02	177,94	182,44	186,54	196,00	202,00	206,00	214,26	247,79
Desvio padrão		16,46	5,91	11,53	14,88	18,58	24,78	10,58	19,87	27,80	31,53	12,73	23,39	25,16

III – Regressão linear e variáveis artificiais (dummy)

Regressão

Variáveis Inseridas/Removidas^a

Modelo	Variáveis inseridas	Variáveis removidas	Método
1	Dente38_Moorrees=Encerramento de apex completo, Dente38_Moorrees=Formação completa da raiz, Dente38_Moorrees=1/2 do comprimento da raiz, Dente38_Moorrees=1/2 da coroa formada, Dente38_Moorrees=Formação completa das cúspides, Dente38_Moorrees=Formação inicial da fenda, Dente38_Moorrees=3/4 do comprimento da raiz, Dente38_Moorrees=Formação inicial da raiz, Dente38_Moorrees=1/4 do comprimento da raiz, Dente38_Moorrees=1/2 apex encerrado, Dente38_Moorrees=3/4 da coroa formada, Dente38_Moorrees=Formação completa da coroa ^b		Inserir

a. Variável Dependente: Idade (em meses) na data do Rx panorâmico

b. Todas as variáveis solicitadas inseridas.

Resumo do modelo^b

Modelo	R	R quadrado	R quadrado ajustado	Erro padrão da estimativa
1	,861 ^a	0,742	0,732	21,320

a. Preditores: (Constante), Dente38_Moorrees=Encerramento de apex completo, Dente38_Moorrees=Formação

b. Variável Dependente: Idade (em meses) na data do Rx panorâmico

ANOVA^a

Modelo	Soma dos Quadrados	df	Quadrado Médio	Z	Sig.
1	Regressão	421171,496	12	35097,625	77,212
	Resíduo	146822,858	323	454,560	
	Total	567994,354	335		

a. Variável Dependente: Idade (em meses) na data do Rx panorâmico

b. Preditores: (Constante), Dente38_Moorrees=Encerramento de apex completo, Dente38_Moorrees=Formação completa da raiz, Dente38_Moorrees=1/2 do

Validação do Método de Nolla e de Moorrees na Estimativa da Idade Dentária numa População Portuguesa dos 17 aos 23 anos

Coeficientes ^a						
Modelo		Coeficientes não padronizados		Coeficientes padronizados	t	Sig.
		B	Erro Erro	Beta		
1	(Constante)	155,000	12,309		12,592	0,000
	Dente38_Moorrees=Formação completa das cúspides	1,064E-11	14,434	0,000	0,000	1,000
	Dente38_Moorrees=1/2 da coroa formada	4,625	14,434	0,017	0,320	0,749
	Dente38_Moorrees=3/4 da coroa formada	5,807	12,629	0,053	0,460	0,646
	Dente38_Moorrees=Formação completa da coroa	16,793	12,624	0,154	1,330	0,184
	Dente38_Moorrees=Formação inicial da raiz	22,000	13,246	0,124	1,661	0,098
	Dente38_Moorrees=Formação inicial da fenda	31,556	14,214	0,124	2,220	0,027
	Dente38_Moorrees=1/4 do comprimento da raiz	31,560	13,027	0,201	2,423	0,016
	Dente38_Moorrees=1/2 do comprimento da raiz	41,000	16,284	0,108	2,518	0,012
	Dente38_Moorrees=3/4 do comprimento da raiz	43,059	13,351	0,230	3,225	0,001
	Dente38_Moorrees=Formação completa da raiz	51,000	19,463	0,095	2,620	0,009
	Dente38_Moorrees=1/2 apex encerrado	61,286	12,952	0,412	4,732	0,000
	Dente38_Moorrees=Encerramento de apex completo	93,327	12,496	1,032	7,468	0,000

a. Variável Dependente: Idade (em meses) na data do Rx panorâmico

Estatísticas de resíduos ^a					
	Mínimo	Máximo	Média	Erro Desvio	N
Valor previsto	155,00	248,33	198,73	35,457	336
Resíduo	-86,327	62,941	0,000	20,935	336
Erro Valor previsto	-1,233	1,399	0,000	1,000	336
Erro Resíduo	-4,049	2,952	0,000	0,982	336

a. Variável Dependente: Idade (em meses) na data do Rx panorâmico

Anexo 10 – Estimação da idade pelo estágio de Nolla e pelo estágio de Moorrees

I – Tabulação cruzada Dente 38 - estágio de Moorrees * Dente 38 - estágio de Nolla

II – Correlações entre Dente 38 - estágio de Moorrees * Dente 38 - estágio de Nolla

III – Regressão linear e variáveis artificiais

I – Tabulação cruzada Dente 38 - estágio de Moorrees * Dente 38 - estágio de Nolla

		Dente 38 - estágio de Nolla								
		Mineralização inicial	1/3 da coroa formada	2/3 da coroa formada	Coroa quase formada	Formação completa da coroa	1/3 da raiz formada	2/3 da raiz formada	raiz quase formada-apex aberto	Encerramento apical/ raiz formada
Dente 38 - estágio de Moorrees	Coalescência de cúspides	3	0	0	0	0	0	0	0	0
	Formação completa das cúspides	4	4	0	0	0	0	0	0	0
	1/2 da coroa formada	0	8	0	0	0	0	0	0	0
	3/4 da coroa formada	0	0	13	44	0	0	0	0	0
	Formação completa da coroa	0	0	0	3	55	0	0	0	0
	Formação inicial da raiz	0	0	0	0	17	2	0	0	0
	Formação inicial da fenda	0	0	0	0	5	4	0	0	0
	1/4 do comprimento da raiz	0	0	0	0	0	25	0	0	0
	1/2 do comprimento da raiz	0	0	0	0	0	4	0	0	0
	3/4 do comprimento da raiz	0	0	0	0	0	0	16	1	0
	Formação completa da raiz	0	0	0	0	0	0	0	2	0
	1/2 apex encerrado	0	0	0	0	0	0	0	27	1
	Encerramento de apex completo	0	0	0	0	0	0	0	0	98
	Total	7	12	13	47	77	35	16	30	99

II – Correlações entre Dente 38 - estágio de Moorrees * Dente 38 - estágio de Nolla

Correlações				
			Dente 38 - estágio de Nolla	Dente 38 - estágio de Moorrees
rô de Spearman	Dente 38 - estágio de Nolla	Coefficiente de Correlação	1,000	,991**
		Sig. (2 extremidades)		0,000
		N	336	336
	Dente 38 - estágio de Moorrees	Coefficiente de Correlação	,991**	1,000
		Sig. (2 extremidades)	0,000	
		N	336	336

** . A correlação é significativa no nível 0,01 (2 extremidades).

III – Regressão linear e variáveis artificiais

Variáveis Inseridas/Removidas ^a			
Modelo	Variáveis inseridas	Variáveis removidas	Método
1	Dente38_Moorrees=Encerramento de apex completo, Dente38_Moorrees=Formação completa da raiz, Dente38_Moorrees=Coalescência de cúspides, Dente38_Moorrees=1/2 do comprimento da raiz, Dente38_Moorrees=1/2 da coroa formada, Dente38_Moorrees=Formação completa das cúspides, Dente38_Moorrees=Formação inicial da fenda, Dente38_Nolla=2/3 da coroa formada, Dente38_Nolla=2/3 da raiz formada, Dente38_Moorrees=Formação inicial da raiz, Dente38_Moorrees=1/4 do comprimento da raiz, Dente38_Moorrees=1/2 apex encerrado, Dente38_Nolla=Coroa quase formada, Dente38_Nolla=1/3 da coroa formada, Dente38_Nolla=1/3 da raiz formada, Dente38_Moorrees=Formação completa da coroa, Dente38_Nolla=raiz quase formada- apex aberto, Dente38_Moorrees=3/4 do comprimento da raiz ^b		Inserir

a. Variável Dependente: Idade (em meses) na data do Rx panorâmico

b. Tolerância = ,000 limite atingido.

Resumo do modelo ^b				
Modelo	R	R quadrado	R quadrado ajustado	Erro padrão da estimativa
1	,866 ^a	0,749	0,735	21,189

a. Preditores: (Constante), Dente38_Moorrees=Encerramento de apex completo, Dente38_Moorrees=Formação completa da raiz, Dente38_Moorrees=Coalescência de cúspides, Dente38_Moorrees=1/2 do comprimento da raiz, Dente38_Moorrees=1/2 da coroa formada, Dente38_Moorrees=Formação completa das cúspides, Dente38_Moorrees=Formação inicial da fenda, Dente38_Nolla=2/3 da coroa formada, Dente38_Nolla=2/3 da raiz formada, Dente38_Moorrees=Formação inicial da raiz, Dente38_Moorrees=1/4 do comprimento da raiz, Dente38_Moorrees=1/2 apex encerrado, Dente38_Nolla=Coroa quase formada, Dente38_Nolla=1/3 da coroa formada, Dente38_Nolla=1/3 da raiz formada, Dente38_Moorrees=Formação completa da coroa, Dente38_Nolla=raiz quase formada- apex aberto, Dente38_Moorrees=3/4 do comprimento da raiz

b. Variável Dependente: Idade (em meses) na data do Rx panorâmico

Validação do Método de Nolla e de Moorrees na Estimativa da Idade Dentária numa População Portuguesa dos 17 aos 23 anos

ANOVA ^a						
Modelo		Soma dos Quadrados	df	Quadrado Médio	Z	Sig.
1	Regressão	425665,598	18	23648,089	52,670	,000 ^b
	Resíduo	142328,756	317	448,987		
	Total	567994,354	335			

a. Variável Dependente: Idade (em meses) na data do Rx panorâmico

b. Preditores: (Constante), Dente38_Moorees=Encerramento de apex completo, Dente38_Moorees=Formação completa da raiz, Dente38_Moorees=Coalescência de cúspides, Dente38_Moorees=1/2 do comprimento da raiz, Dente38_Moorees=1/2 da coroa formada, Dente38_Moorees=Formação completa das cúspides, Dente38_Moorees=Formação inicial da fenda, Dente38_Nolla=2/3 da coroa formada, Dente38_Nolla=2/3 da raiz formada, Dente38_Moorees=Formação inicial da raiz, Dente38_Moorees=1/4 do comprimento da raiz, Dente38_Moorees=1/2 apex encerrado, Dente38_Nolla=Coroa quase formada, Dente38_Nolla=1/3 da coroa formada, Dente38_Nolla=1/3 da raiz formada, Dente38_Moorees=Formação completa da coroa, Dente38_Nolla=raiz quase formada- apex aberto, Dente38_Moorees=3/4 do comprimento da raiz

Validação do Método de Nolla e de Moorrees na Estimativa da Idade Dentária numa População Portuguesa dos 17 aos 23 anos

Coeficientes ^a						
Modelo		Coeficientes não padronizados		Coeficientes padronizados	t	Sig.
		B	Erro Erro	Beta		
1	(Constante)	158,377	12,963		12,218	0,000
	Dente38_Nolla=1/3 da coroa formada	6,000	14,983	0,027	0,400	0,689
	Dente38_Nolla=2/3 da coroa formada	2,777	14,233	0,013	0,195	0,845
	Dente38_Nolla=Coroa quase formada	2,327	12,563	0,020	0,185	0,853
	Dente38_Nolla=1/3 da raiz formada	14,153	10,579	0,105	1,338	0,182
	Dente38_Nolla=2/3 da raiz formada	-81,141	30,703	-0,420	-2,643	0,009
	Dente38_Nolla=raiz quase formada- apex aberto	-55,704	21,578	-0,386	-2,581	0,010
	Dente38_Moorrees=Coalescência de cúspides	-3,377	17,824	-0,008	-0,189	0,850
	Dente38_Moorrees=Formação completa das cúspides	-6,377	16,741	-0,024	-0,381	0,704
	Dente38_Moorrees=1/2 da coroa formada	-4,752	21,181	-0,018	-0,224	0,823
	Dente38_Moorrees=Formação completa da coroa	13,295	12,644	0,122	1,052	0,294
	Dente38_Moorrees=Formação inicial da raiz	17,133	13,889	0,096	1,234	0,218
	Dente38_Moorrees=Formação inicial da fenda	21,888	15,493	0,086	1,413	0,159
	Dente38_Moorrees=1/4 do comprimento da raiz	14,030	17,260	0,090	0,813	0,417
	Dente38_Moorrees=1/2 do comprimento da raiz	23,470	19,804	0,062	1,185	0,237
	Dente38_Moorrees=3/4 do comprimento da raiz	119,326	32,903	0,636	3,627	0,000
	Dente38_Moorrees=Formação completa da raiz	103,326	29,294	0,193	3,527	0,000
	Dente38_Moorrees=1/2 apex encerrado	111,623	24,840	0,750	4,494	0,000
	Dente38_Moorrees=Encerramento de apex completo	89,949	13,138	0,994	6,846	0,000

Validação do Método de Nolla e de Moorrees na Estimativa da Idade Dentária numa População Portuguesa dos 17 aos 23 anos

Variáveis excluídas ^a						
Modelo		Beta In	t	Sig.	Correlação parcial	Estatísticas de colinearidade
						Tolerância
1	Dente38_Nolla=Formação completa da coroa	.b				0,000
	Dente38_Nolla=Encerramento apical/ raiz formada	.b				0,000
	Dente38_Moorrees=3/4 da coroa formada	.b				0,000

a. Variável Dependente: Idade (em meses) na data do Rx panorâmico

b. Preditores no Modelo: (Constante), Dente38_Moorrees=Encerramento de apex completo, Dente38_Moorrees=Formação completa da raiz, Dente38_Moorrees=Coalescência de cúspides, Dente38_Moorrees=1/2 do comprimento da raiz, Dente38_Moorrees=1/2 da coroa formada, Dente38_Moorrees=Formação completa das cúspides, Dente38_Moorrees=Formação inicial da fenda, Dente38_Nolla=2/3 da coroa formada, Dente38_Nolla=2/3 da raiz formada, Dente38_Moorrees=Formação inicial da raiz, Dente38_Moorrees=1/4 do comprimento da raiz, Dente38_Moorrees=1/2 apex encerrado, Dente38_Nolla=Coroa quase formada, Dente38_Nolla=1/3 da coroa formada, Dente38_Nolla=1/3 da raiz formada, Dente38_Moorrees=Formação completa da coroa, Dente38_Nolla=raiz quase formada- apex aberto, Dente38_Moorrees=3/4 do comprimento da raiz

Estatísticas de resíduos ^a					
	Mínimo	Máximo	Média	Erro Desvio	N
Valor previsto	152,00	270,00	198,73	35,646	336
Resíduo	-86,327	64,438	0,000	20,612	336
Erro Valor previsto	-1,311	1,999	0,000	1,000	336
Erro Resíduo	-4,074	3,041	0,000	0,973	336

a. Variável Dependente: Idade (em meses) na data do Rx panorâmico

Anexo 11 – Comparação entre as estimativas de Nolla e as de Moorrees

V

	Erro de estimação Nolla	Erro em termos absolutos de estimação Nolla	Erro de estimação Moorrees	Erro em termos absolutos de estimação Moorrees	Erro de estimação Nolla+Moorrees	Erro em termos absolutos de estimação Nolla+Moorrees
Contagem	336	336	336	336	336	336
Mínimo	-86,54545	0,29	-86,32653	0,00	-86,32653	0,00
Percentil 25	-14,34965	5,71	-13,80006	6,44	-13,70455	5,69
Mediana	-2,54545	13,55	-2,16327	13,37	-2,31141	12,93
Percentil 75	11,65035	23,45	12,44018	24,00	12,07080	23,67
Máximo	64,43750	86,55	62,94118	86,33	64,43750	86,33
Média	0,00000	16,28	0,00000	16,42	0,00000	16,13
Desvio padrão	20,76412	12,86	20,93507	12,96	20,61218	12,80

Testes de Normalidade

	Kolmogorov-Smirnov ^a			Shapiro-Wilk		
	Estatística	gl	Sig.	Estatística	gl	Sig.
Idade (em meses) na data do Rx panorâmico	0,116	336	0,000	0,925	336	0,000
Estimativa Nolla	0,229	336	0,000	0,812	336	0,000
Estimativa Moorrees	0,211	336	0,000	0,819	336	0,000
Estimativa Nolla+Moorrees	0,213	336	0,000	0,823	336	0,000

a. Correlação de Significância de Lilliefors

Classificações Assinadas por Wilcoxon

Postos				
		N	Posto Médio	Soma de Classificações
Estimativa Nolla - Idade (em meses) na data do Rx panorâmico	Classificações Negativas	157 ^a	172,71	27116,00
	Classificações Positivas	179 ^b	164,80	29500,00
	Empates	0 ^c		
	Total	336		

a. Estimativa Nolla < Idade (em meses) na data do Rx panorâmico

b. Estimativa Nolla > Idade (em meses) na data do Rx panorâmico

c. Estimativa Nolla = Idade (em meses) na data do Rx panorâmico

Estatísticas de teste^a

	Estimativa Nolla - Idade (em meses) na data do Rx panorâmico
Z	-,669 ^b
Significância Sig. (bilateral)	0,504

a. Teste de Classificações Assinadas por Wilcoxon

b. Com base em postos negativos.

Classificações Assinadas por Wilcoxon

Postos				
		N	Posto Médio	Soma de Classificações
Estimativa Moorees - Idade (em meses) na data do Rx panorâmico	Classificações Negativas	150 ^a	179,03	26854,50
	Classificações Positivas	185 ^b	159,06	29425,50
	Empates	1 ^c		
	Total	336		

a. Estimativa Moorees < Idade (em meses) na data do Rx panorâmico

b. Estimativa Moorees > Idade (em meses) na data do Rx panorâmico

c. Estimativa Moorees = Idade (em meses) na data do Rx panorâmico

Estatísticas de teste^a

	Estimativa Moorrees - Idade (em meses) na data do Rx panorâmico
Z	-,725 ^b
Significância Sig. (bilateral)	0,469

a. Teste de Classificações Assinadas por Wilcoxon

b. Com base em postos negativos.

Classificações Assinadas por Wilcoxon

Postos

		N	Posto Médio	Soma de Classificações
Estimativa Nolla+Moorrees - Idade (em meses) na data do Rx panorâmico	Classificações Negativas	153 ^a	177,75	27195,50
	Classificações Positivas	183 ^b	160,77	29420,50
	Empates	0 ^c		
	Total	336		

a. Estimativa Nolla+Moorrees < Idade (em meses) na data do Rx panorâmico

b. Estimativa Nolla+Moorrees > Idade (em meses) na data do Rx panorâmico

c. Estimativa Nolla+Moorrees = Idade (em meses) na data do Rx panorâmico

Estatísticas de teste^a

	Estimativa Nolla+Moorrees - Idade (em meses) na data do Rx panorâmico
Z	-,624 ^b
Significância Sig. (bilateral)	0,532

a. Teste de Classificações Assinadas por Wilcoxon

b. Com base em postos negativos.

Classificações Assinadas por Wilcoxon

Postos

		N	Posto Médio	Soma de Classificações
Estimativa Moorees - Estimativa Nolla	Classificações Negativas	249 ^a	134,99	33612,00
	Classificações Positivas	87 ^b	264,41	23004,00
	Empates	0 ^c		
	Total	336		

a. Estimativa Moorees < Estimativa Nolla

b. Estimativa Moorees > Estimativa Nolla

c. Estimativa Moorees = Estimativa Nolla

Estatísticas de teste^a

	Estimativa Moorees - Estimativa Nolla
Z	-2,989 ^b
Significância Sig. (bilateral)	0,003

a. Teste de Classificações Assinadas por Wilcoxon

b. Com base em postos positivos.

Classificações Assinadas por Wilcoxon

Postos

		N	Posto Médio	Soma de Classificações
Estimativa Nolla+Moorees - Estimativa Nolla	Classificações Negativas	232 ^a	151,11	35057,00
	Classificações Positivas	88 ^b	185,26	16303,00
	Empates	16 ^c		
	Total	336		

a. Estimativa Nolla+Moorees < Estimativa Nolla

Classificações Assinadas por Wilcoxon

Postos				
		N	Posto Médio	Soma de Classificações
Estimativa Nolla+Moorees - Estimativa Moore	Classificações Negativas	193 ^a	199,07	38421,00
	Classificações Positivas	139 ^b	121,27	16857,00
	Empates	4 ^c		
	Total	336		

a. Estimativa Nolla+Moorees < Estimativa Moorees

b. Estimativa Nolla+Moorees > Estimativa Moorees

c. Estimativa Nolla+Moorees = Estimativa Moorees

Estatísticas de teste^a

	Estimativa Nolla+Moorees - Estimativa Moorees
Z	-6,187 ^b
Significância Sig. (bilateral)	0,000

a. Teste de Classificações Assinadas por Wilcoxon

b. Com base em postos positivos.

Anexo 12 – Estimação da idade de Nolla e de Moorrees, por sexo

Tabulação cruzada Dente 38 - estágio de Nolla * Género do paciente				
		Género do paciente		Total
		Feminino	Masculino	
Dente 38 - estágio de Nolla	Calcificação inicial	5	2	7
	1/3 da coroa formada	6	6	12
	2/3 da coroa formada	7	6	13
	Coroa quase formada	22	25	47
	Formação completa da coroa	40	37	77
	1/3 da raiz formada	21	14	35
	2/3 da raiz formada	6	10	16
	raiz quase formada- apex aberto	16	14	30
	Encerramento apical/ raiz formada	50	49	99
Total		173	163	336

Testes qui-quadrado			
	Valor	gl	Significância Assintótica (Bilateral)
Qui-quadrado de Pearson	3,920 ^a	8	0,864
Razão de verossimilhança	3,980	8	0,859
Associação Linear por Linear	0,117	1	0,732
N de Casos Válidos	336		

a. 2 células (11,1%) esperavam uma contagem menor que 5. A contagem mínima esperada é 3,40.

Medidas Simétricas			
		Valor	Significância Aproximada
Nominal por Nominal	Coefficiente de contingência	0,107	0,864
N de Casos Válidos		336	

Validação do Método de Nolla e de Moorrees na Estimativa da Idade Dentária numa População Portuguesa dos 17 aos 23 anos

Testes de Normalidade								
Dente 38 - estágio de Nolla			Kolmogorov-Smirnov ^a			Shapiro-Wilk		
			Estatística	gl	Sig.	Estatística	gl	Sig.
Mineralização inicial	Idade (em meses) na data do Rx panorâmico	Feminino	0,330	5	0,080	0,789	5	0,065
		Masculino	0,260	2				
1/3 da coroa formada	Idade (em meses) na data do Rx panorâmico	Feminino	0,368	6	0,011	0,697	6	0,006
		Masculino	0,240	6	,200*	0,931	6	0,589
2/3 da coroa formada	Idade (em meses) na data do Rx panorâmico	Feminino	0,139	7	,200*	0,976	7	0,940
		Masculino	0,166	6	,200*	0,925	6	0,541
Coroa quase formada	Idade (em meses) na data do Rx panorâmico	Feminino	0,229	22	0,004	0,825	22	0,001
		Masculino	0,172	25	0,056	0,925	25	0,068
Formação completa da coroa	Idade (em meses) na data do Rx panorâmico	Feminino	0,149	40	0,025	0,920	40	0,008
		Masculino	0,125	37	0,151	0,960	37	0,196
1/3 da raiz formada	Idade (em meses) na data do Rx panorâmico	Feminino	0,204	21	0,022	0,899	21	0,034
		Masculino	0,129	14	,200*	0,972	14	0,897
2/3 da raiz formada	Idade (em meses) na data do Rx panorâmico	Feminino	0,182	6	,200*	0,963	6	0,842
		Masculino	0,133	10	,200*	0,972	10	0,909
raiz quase formada- apex aberto	Idade (em meses) na data do Rx panorâmico	Feminino	0,226	16	0,028	0,890	16	0,056
		Masculino	0,152	14	,200*	0,925	14	0,257
Encerramento apical/ raiz formada	Idade (em meses) na data do Rx panorâmico	Feminino	0,112	50	0,154	0,931	50	0,006
		Masculino	0,095	49	,200*	0,948	49	0,032
Excluído	Idade (em meses) na data do Rx panorâmico	Feminino	0,306	6	0,083	0,802	6	0,061
		Masculino	0,225	6	,200*	0,882	6	0,279

*. Este é um limite inferior da significância verdadeira.

a. Correlação de Significância de Lilliefors

Teste Mann-Whitney		
Estatísticas de teste ^a		
Dente 38 - estágio de Nolla		Idade (em meses) na data do Rx panorâmico
Mineralização inicial	U de Mann-Whitney	4,000
	Wilcoxon W	19,000
	Z	-0,391
	Significância Sig. (bilateral)	0,696
	Sig exata [2*(Sig. de 1 extremidade)]	,857 ^b
1/3 da coroa formada	U de Mann-Whitney	13,000
	Wilcoxon W	34,000
	Z	-0,806
	Significância Sig. (bilateral)	0,420
	Sig exata [2*(Sig. de 1 extremidade)]	,485 ^b
2/3 da coroa formada	U de Mann-Whitney	19,000
	Wilcoxon W	40,000
	Z	-0,286
	Significância Sig. (bilateral)	0,775
	Sig exata [2*(Sig. de 1 extremidade)]	,836 ^b
Coroa quase formada	U de Mann-Whitney	255,500
	Wilcoxon W	580,500
	Z	-0,416
	Significância Sig. (bilateral)	0,677
Formação completa da coroa	U de Mann-Whitney	689,000
	Wilcoxon W	1509,000
	Z	-0,520
	Significância Sig. (bilateral)	0,603
1/3 da raiz formada	U de Mann-Whitney	103,500
	Wilcoxon W	334,500
	Z	-1,466
	Significância Sig. (bilateral)	0,143
	Sig exata [2*(Sig. de 1 extremidade)]	,145 ^b
2/3 da raiz formada	U de Mann-Whitney	24,000
	Wilcoxon W	79,000
	Z	-0,651
	Significância Sig. (bilateral)	0,515
	Sig exata [2*(Sig. de 1 extremidade)]	,562 ^b
raiz quase formada- apex aberto	U de Mann-Whitney	91,000
	Wilcoxon W	227,000
	Z	-0,873
	Significância Sig. (bilateral)	0,382
	Sig exata [2*(Sig. de 1 extremidade)]	,400 ^b
Encerramento apical/ raiz formada	U de Mann-Whitney	1170,500
	Wilcoxon W	2395,500
	Z	-0,382
	Significância Sig. (bilateral)	0,703
Excluído	U de Mann-Whitney	8,000
	Wilcoxon W	29,000
	Z	-1,604
	Significância Sig. (bilateral)	0,109
	Sig exata [2*(Sig. de 1 extremidade)]	,132 ^b

a. Variável de Agrupamento: Género do paciente

b. Não corrigido para vínculos.

Tabulação cruzada Dente 38 - estágio de Moorrees * Género do paciente				
		Género do paciente		Total
		Feminino	Masculino	
Dente 38 - estágio de Moorrees	Coalescência de cúspides	3	0	3
	Formação completa das cúspides	3	5	8
	1/2 da coroa formada	5	3	8
	3/4 da coroa formada	27	30	57
	Formação completa da coroa	30	28	58
	Formação inicial da raiz	11	8	19
	Formação inicial da fenda	4	5	9
	1/4 do comprimento da raiz	16	9	25
	1/2 do comprimento da raiz	2	2	4
	3/4 do comprimento da raiz	6	11	17
	Formação completa da raiz	1	1	2
	1/2 apex encerrado	15	13	28
	Encerramento de apex completo	50	48	98
Total		173	163	336

Testes qui-quadrado			
	Valor	gl	Significância Assintótica (Bilateral)
Qui-quadrado de Pearson	8,136 ^a	12	0,774
Razão de verossimilhança	9,349	12	0,673
Associação Linear por Linear	0,031	1	0,860
N de Casos Válidos	336		

a. 12 células (46,2%) esperavam uma contagem menor que 5. A contagem mínima esperada é ,97.

Medidas Simétricas			
		Valor	Significância Aproximada
Nominal por Nominal	Coefficiente de contingência	0,154	0,774
N de Casos Válidos		336	

Validação do Método de Nolla e de Moorrees na Estimativa da Idade Dentária numa População Portuguesa dos 17 aos 23 anos

Testes de Normalidade ^{c,d}								
Dente 38 - estágio de Moorrees			Kolmogorov-Smirnov ^a			Shapiro-Wilk		
			Estatística	gl	Sig.	Estatística	gl	Sig.
Coalescência de cúspides	Idade (em meses) na data do Rx panorâmico	Feminino	0,374	3		0,776	3	0,058
Formação completa das cúspides	Idade (em meses) na data do Rx panorâmico	Feminino	0,241	3		0,974	3	0,688
		Masculino	0,230	5	,200*	0,941	5	0,672
1/2 da coroa formada	Idade (em meses) na data do Rx panorâmico	Feminino	0,363	5	0,030	0,750	5	0,030
		Masculino	0,328	3		0,871	3	0,298
3/4 da coroa formada	Idade (em meses) na data do Rx panorâmico	Feminino	0,193	27	0,011	0,842	27	0,001
		Masculino	0,163	30	0,040	0,934	30	0,062
Formação completa da coroa	Idade (em meses) na data do Rx panorâmico	Feminino	0,144	30	0,116	0,918	30	0,023
		Masculino	0,087	28	,200*	0,978	28	0,800
Formação inicial da raiz	Idade (em meses) na data do Rx panorâmico	Feminino	0,276	11	0,019	0,796	11	0,008
		Masculino	0,273	8	0,082	0,835	8	0,066
Formação inicial da fenda	Idade (em meses) na data do Rx panorâmico	Feminino	0,321	4		0,834	4	0,179
		Masculino	0,300	5	0,161	0,878	5	0,300
1/4 do comprimento da raiz	Idade (em meses) na data do Rx panorâmico	Feminino	0,180	16	0,172	0,890	16	0,056
		Masculino	0,181	9	,200*	0,926	9	0,442
1/2 do comprimento da raiz	Idade (em meses) na data do Rx panorâmico	Feminino	0,260	2				
		Masculino	0,260	2				
3/4 do comprimento da raiz	Idade (em meses) na data do Rx panorâmico	Feminino	0,182	6	,200*	0,963	6	0,842
		Masculino	0,122	11	,200*	0,954	11	0,701
1/2 apex encerrado	Idade (em meses) na data do Rx panorâmico	Feminino	0,269	15	0,005	0,883	15	0,053
		Masculino	0,137	13	,200*	0,948	13	0,562
Encerramento de apex completo	Idade (em meses) na data do Rx panorâmico	Feminino	0,112	50	0,154	0,931	50	0,006
		Masculino	0,098	48	,200*	0,950	48	0,040
Excluído	Idade (em meses) na data do Rx panorâmico	Feminino	0,306	6	0,083	0,802	6	0,061
		Masculino	0,225	6	,200*	0,882	6	0,279

*. Este é um limite inferior da significância verdadeira.

a. Correlação de Significância de Lilliefors

c. Idade (em meses) na data do Rx panorâmico é constante quando Género do paciente = Feminino em um ou mais arquivos divididos. Foi omitida.

d. Idade (em meses) na data do Rx panorâmico é constante quando Género do paciente = Masculino em um ou mais arquivos divididos. Foi omitida.

Teste Mann-Whitney		
Estatísticas de teste ^a		
Dente 38 - estágio de Moorees		Idade (em meses) na data do Rx panorâmico
Formação completa das cúspides	U de Mann-Whitney	5,000
	Wilcoxon W	11,000
	Z	-0,750
	Significância Sig. (bilateral)	0,453
	Sig exata [2*(Sig. de 1 extremidade)]	,571 ^b
1/2 da coroa formada	U de Mann-Whitney	7,000
	Wilcoxon W	13,000
	Z	-0,149
	Significância Sig. (bilateral)	0,881
	Sig exata [2*(Sig. de 1 extremidade)]	1,000 ^b
3/4 da coroa formada	U de Mann-Whitney	369,000
	Wilcoxon W	834,000
	Z	-0,576
	Significância Sig. (bilateral)	0,565
Formação completa da coroa	U de Mann-Whitney	415,000
	Wilcoxon W	821,000
	Z	-0,078
	Significância Sig. (bilateral)	0,938
Formação inicial da raiz	U de Mann-Whitney	40,500
	Wilcoxon W	106,500
	Z	-0,289
	Significância Sig. (bilateral)	0,772
	Sig exata [2*(Sig. de 1 extremidade)]	,778 ^b
Formação inicial da fenda	U de Mann-Whitney	7,000
	Wilcoxon W	17,000
	Z	-0,735
	Significância Sig. (bilateral)	0,462
	Sig exata [2*(Sig. de 1 extremidade)]	,556 ^b
1/4 do comprimento da raiz	U de Mann-Whitney	38,000
	Wilcoxon W	174,000
	Z	-1,926
	Significância Sig. (bilateral)	0,054
	Sig exata [2*(Sig. de 1 extremidade)]	,057 ^b
1/2 do comprimento da raiz	U de Mann-Whitney	0,000
	Wilcoxon W	3,000
	Z	-1,549
	Significância Sig. (bilateral)	0,121
	Sig exata [2*(Sig. de 1 extremidade)]	,333 ^b
3/4 do comprimento da raiz	U de Mann-Whitney	28,000
	Wilcoxon W	94,000
	Z	-0,503
	Significância Sig. (bilateral)	0,615
	Sig exata [2*(Sig. de 1 extremidade)]	,660 ^b
Formação completa da raiz	U de Mann-Whitney	0,000
	Wilcoxon W	1,000
	Z	-1,000
	Significância Sig. (bilateral)	0,317
	Sig exata [2*(Sig. de 1 extremidade)]	1,000 ^b
1/2 apex encerrado	U de Mann-Whitney	70,500
	Wilcoxon W	190,500
	Z	-1,244
	Significância Sig. (bilateral)	0,213
	Sig exata [2*(Sig. de 1 extremidade)]	,217 ^b
Encerramento de apex completo	U de Mann-Whitney	1135,000
	Wilcoxon W	2311,000
	Z	-0,462
	Significância Sig. (bilateral)	0,644
Excluído	U de Mann-Whitney	8,000
	Wilcoxon W	29,000
	Z	-1,604
	Significância Sig. (bilateral)	0,109
	Sig exata [2*(Sig. de 1 extremidade)]	,132 ^b

a. Variável de Agrupamento: Género do paciente

b. Não corrigido para vínculos.

Anexo 13 – Estimação da idade de Nolla e de Moorrees, por faixa etária (12 aos 16 anos e 17 aos 23 anos)

Tabulação cruzada Género do paciente * Idade superior ou igual a 17 anos

		Idade superior ou igual a 17 anos		Total
		Dos 12 aos 16 anos	Dos 17 aos 23 anos	
Género do paciente	Feminino	98	81	179
	Masculino	101	68	169
Total		199	149	348

		Idade superior ou igual a 17 anos		
		Dos 12 aos 16 anos	Dos 17 aos 23 anos	Total
		Contagem	Contagem	Contagem
Dente 38 - estágio de Nolla	Ausência de gérmem	0	0	0
	Presença de gérmem	0	0	0
	Mineralização inicial	7	0	7
	1/3 da coroa formada	12	0	12
	2/3 da coroa formada	13	0	13
	Coroa quase formada	46	1	47
	Formação completa da coroa	71	6	77
	1/3 da raiz formada	27	8	35
	2/3 da raiz formada	11	5	16
	raiz quase formada- apex aberto	8	22	30
	Encerramento apical/ raiz formada	2	97	99
Dente 38 - estágio de Moorrees	Formação inicial da cúspide	0	0	0
	Coalescência de cúspides	3	0	3
	Formação completa das cúspides	8	0	8
	1/2 da coroa formada	8	0	8
	3/4 da coroa formada	56	1	57
	Formação completa da coroa	55	3	58
	Formação inicial da raiz	15	4	19
	Formação inicial da fenda	8	1	9
	1/4 do comprimento da raiz	20	5	25
	1/2 do comprimento da raiz	3	1	4
	3/4 do comprimento da raiz	11	6	17
	Formação completa da raiz	1	1	2
	1/2 apex encerrado	7	21	28
	Encerramento de apex completo	2	96	98

Validação do Método de Nolla e de Moorrees na Estimativa da Idade Dentária numa População Portuguesa dos 17 aos 23 anos

Idade superior ou igual a 17 anos		Kolmogorov-Smirnov ^a			Shapiro-Wilk		
		Estatística	gl	Sig.	Estatística	gl	Sig.
Erro de estimação Nolla	Dos 12 aos 16 anos	0,051	197	,200 [*]	0,965	197	0,000
	Dos 17 aos 23 anos	0,050	139	,200 [*]	0,985	139	0,141
Erro de estimação Moorrees	Dos 12 aos 16 anos	0,057	197	,200 [*]	0,965	197	0,000
	Dos 17 aos 23 anos	0,049	139	,200 [*]	0,984	139	0,113

*. Este é um limite inferior da significância verdadeira.

a. Correlação de Significância de Lilliefors

Teste-T

Estatísticas de grupo

Idade superior ou igual a 17 anos		N	Média	Erro Desvio	Erro padrão da média
Erro de estimação Nolla	Dos 12 aos 16 anos	197	-5,2870223	16,18028122	1,15279730
	Dos 17 aos 23 anos	139	7,4931180	24,04865961	2,03978069
Erro de estimação Moorrees	Dos 12 aos 16 anos	197	-5,4607017	16,10442213	1,14739257
	Dos 17 aos 23 anos	139	7,7392679	24,34501546	2,06491726

Teste de amostras independentes

		Teste de Levene para igualdade de		teste-t para Igualdade de Médias						
		Z	Sig.	t	df	Sig. (2 extremidades)	Diferença média	Erro padrão de diferença	95% Intervalo de Confiança	
Erro de estimação Nolla	Variâncias iguais assumidas	34,743	0,000	-5,823	334	0,000	-12,78014031	2,19480813	-17,09752974	-8,46275089
	Variâncias iguais não assumidas			-5,455	224,134	0,000	-12,78014031	2,34299955	-17,39726587	-8,16301476
Erro de estimação Moorrees	Variâncias iguais assumidas	38,086	0,000	-5,980	334	0,000	-13,19996960	2,20731911	-17,54196928	-8,85796992
	Variâncias iguais não assumidas			-5,588	221,505	0,000	-13,19996960	2,36228555	-17,85540017	-8,54453902

Testes de NPar

Teste Mann-Whitney

Postos

Idade superior ou igual a 17 anos		N	Posto Médio	Soma de Classificações
Erro de estimação Nolla	Dos 12 aos 16 anos	197	144,59	28485,00
	Dos 17 aos 23 anos	139	202,38	28131,00
	Total	336		
Erro de estimação Moorrees	Dos 12 aos 16 anos	197	144,84	28534,00
	Dos 17 aos 23 anos	139	202,03	28082,00
	Total	336		

Estatísticas de teste^a

	Erro de estimação Nolla	Erro de estimação Moorrees
U de Mann-Whitney	8982,000	9031,000
Wilcoxon W	28485,000	28534,000
Z	-5,371	-5,315
Significância Sig. (bilateral)	0,000	0,000

a. Variável de Agrupamento: Idade superior ou igual a 17 anos

Anexo 14 - Comparação das estimativas de Nolla e Moorrees com as obtidas com os estádios de Demirjian

	Erro de estimação Nolla	Erro em termos absolutos de estimação Nolla	Erro de estimação Moorrees	Erro em termos absolutos de estimação Moorrees	Erro de estimação Demirjian	Erro em termos absolutos de estimação Demirjian
Contagem	348	348	348	348	348	348
Mínimo	-86,54545	0,29	-86,32653	0,00	-67,55556	0,01
Percentil 25	-14,34965	5,71	-13,80006	6,44	-12,23077	6,05
Mediana	-2,54545	13,55	-2,16327	13,37	-1,55556	12,99
Percentil 75	11,65035	23,45	12,44018	24,00	13,99057	21,56
Máximo	64,43750	86,55	62,94118	86,33	61,04651	67,56
Média	0,00000	16,28	0,00000	16,42	0,00000	15,75
Desvio padrão	20,76412	12,86	20,93507	12,96	20,13067	12,50

			Erro de estimação Nolla	Erro em termos absolutos de estimação Nolla	Erro de estimação Moorrees	Erro em termos absolutos de estimação Moorrees	Erro de estimação Demirjian	Erro em termos absolutos de estimação Demirjian
Idade superior ou igual a 17 anos	Dos 12 aos 16 anos	Contagem	199	199	199	199	199	199
		Mínimo	-86,54545	0,29	-86,32653	0,00	-67,55556	0,01
		Percentil 25	-15,07792	4,92	-14,79310	4,44	-16,00943	4,95
		Mediana	-5,55319	10,92	-5,80702	10,81	-5,81081	10,63
		Percentil 75	3,44681	18,71	3,20690	18,19	3,99057	17,95
		Máximo	38,44681	86,55	39,19298	86,33	36,99057	67,56
		Média	-5,28702	13,03	-5,46070	12,99	-5,47232	13,15
		Desvio padrão	16,18028	10,92	16,10442	10,94	16,58945	11,47
	Dos 17 aos 23 anos	Contagem	149	149	149	149	149	149
		Mínimo	-42,54545	0,45	-42,32653	0,67	-46,55556	0,23
		Percentil 25	-9,54545	9,45	-10,32653	9,67	-8,39316	9,23
		Mediana	9,45455	18,55	9,00000	18,33	10,44444	16,32
		Percentil 75	25,45455	32,45	26,44000	32,00	23,44444	28,50
		Máximo	64,43750	64,44	62,94118	62,94	61,04651	61,05
		Média	7,49312	20,88	7,73927	21,27	7,35805	19,26
		Desvio padrão	24,04866	13,99	24,34502	14,05	22,09299	13,01

Validação do Método de Nolla e de Moorrees na Estimativa da Idade Dentária numa População Portuguesa dos 17 aos 23 anos

Testes de Normalidade						
	Kolmogorov-Smirnov ^a			Shapiro-Wilk		
	Estatística	gl	Sig.	Estatística	gl	Sig.
Erro de estimação Nolla	0,059	336	0,007	0,987	336	0,004
Erro de estimação Moorrees	0,064	336	0,002	0,985	336	0,001
Erro de estimação Demirjian	0,049	336	0,049	0,991	336	0,032

a. Correlação de Significância de Lilliefors

Testes de NPar

Classificações Assinadas por Wilcoxon

Postos				
		N	Posto Médio	Soma de Classificações
Erro de estimação Moorrees - Erro de estimação Nolla	Classificações Negativas	87 ^a	264,41	23004,00
	Classificações Positivas	249 ^b	134,99	33612,00
	Empates	0 ^c		
	Total	336		
Erro de estimação Demirjian - Erro de estimação Nolla	Classificações Negativas	234 ^d	136,53	31948,00
	Classificações Positivas	102 ^e	241,84	24668,00
	Empates	0 ^f		
	Total	336		
Erro de estimação Demirjian - Erro de estimação Moorrees	Classificações Negativas	227 ^g	134,82	30604,00
	Classificações Positivas	109 ^h	238,64	26012,00
	Empates	0 ⁱ		
	Total	336		

a. Erro de estimação Moorrees < Erro de estimação Nolla

b. Erro de estimação Moorrees > Erro de estimação Nolla

c. Erro de estimação Moorrees = Erro de estimação Nolla

d. Erro de estimação Demirjian < Erro de estimação Nolla

e. Erro de estimação Demirjian > Erro de estimação Nolla

f. Erro de estimação Demirjian = Erro de estimação Nolla

g. Erro de estimação Demirjian < Erro de estimação Moorrees

h. Erro de estimação Demirjian > Erro de estimação Moorrees

i. Erro de estimação Demirjian = Erro de estimação Moorrees

Validação do Método de Nolla e de Moorrees na Estimativa da Idade Dentária numa População Portuguesa dos 17 aos 23 anos

Estatísticas de teste ^a			
	Erro de estimação Moorrees - Erro de estimação Nolla	Erro de estimação Demirjian - Erro de estimação Nolla	Erro de estimação Demirjian - Erro de estimação Moorrees
Z	-2,989 ^b	-2,048 ^c	-1,291 ^c
Significância Sig. (bilateral)	0,003	0,041	0,197

a. Teste de Classificações Assinadas por Wilcoxon

b. Com base em postos negativos.

c. Com base em postos positivos.

Testes de Normalidade							
Idade superior ou igual a 17 anos		Kolmogorov-Smirnov ^a			Shapiro-Wilk		
		Estatística	gl	Sig.	Estatística	gl	Sig.
Erro de estimação Nolla	Dos 12 aos 16 anos	0,051	197	,200 [*]	0,965	197	0,000
	Dos 17 aos 23 anos	0,050	139	,200 [*]	0,985	139	0,141
Erro de estimação Moorrees	Dos 12 aos 16 anos	0,057	197	,200 [*]	0,965	197	0,000
	Dos 17 aos 23 anos	0,049	139	,200 [*]	0,984	139	0,113
Erro de estimação Demirjian	Dos 12 aos 16 anos	0,065	197	0,044	0,968	197	0,000
	Dos 17 aos 23 anos	0,054	139	,200 [*]	0,989	139	0,363

*. Este é um limite inferior da significância verdadeira.

a. Correlação de Significância de Lilliefors

Classificações Assinadas por Wilcoxon

Estatísticas de teste ^a				
Idade superior ou igual a 17 anos		Erro de estimação Moorrees - Erro de estimação Nolla	Erro de estimação Demirjian - Erro de estimação Nolla	Erro de estimação Demirjian - Erro de estimação Moorrees
Dos 12 aos 16 anos	Z	-2,039 ^b	-,573 ^b	-,764 ^b
	Significância Sig. (bilateral)	0,041	0,567	0,445
Dos 17 aos 23 anos	Z	-3,042 ^b	-3,973 ^c	-3,643 ^c
	Significância Sig. (bilateral)	0,002	0,000	0,000

a. Teste de Classificações Assinadas por Wilcoxon

b. Com base em postos negativos.

c. Com base em postos positivos.

Validação do Método de Nolla e de Moorrees na Estimativa da Idade Dentária numa População Portuguesa dos 17 aos 23 anos

Teste-T

Teste-t										
Teste de amostras emparelhadas										
Idade superior ou igual a 17 anos			Diferenças emparelhadas					t	df	Sig. (2 extremidades)
			Média	Erro Desvio	Erro padrão da média	95% Intervalo de Confiança da Diferença				
						Inferior	Superior			
Dos 12 aos 16 anos	Par 1	Erro de estimação Nolla - Erro de estimação Moorees	0,17367938	3,32103546	0,23661398	-0,29295681	0,64031556	0,734	196	0,464
	Par 2	Erro de estimação Nolla - Erro de estimação Demirjian	0,17160631	10,77904926	0,76797546	-1,34294975	1,68616238	0,223	196	0,823
	Par 3	Erro de estimação Moorees - Erro de estimação Demirjian	-0,00207307	10,50775429	0,74864650	-1,47850968	1,47436355	-0,003	196	0,998
Dos 17 aos 23 anos	Par 1	Erro de estimação Nolla - Erro de estimação Moorees	-0,24614991	3,55138660	0,30122468	-0,84176253	0,34946272	-0,817	138	0,415
	Par 2	Erro de estimação Nolla - Erro de estimação Demirjian	0,58537280	15,46467792	1,31169686	-2,00825005	3,17899565	0,446	138	0,656
	Par 3	Erro de estimação Moorees - Erro de estimação Demirjian	0,83152271	15,59229348	1,32252107	-1,78350289	3,44654831	0,629	138	0,531

Anexo 15 - Comparação das estimativas de Nolla e Moorrees com as obtidas pelo índice de maturidade do terceiro molar

	Erro de estimação Nolla	Erro em termos absolutos de estimação Nolla	Erro de estimação Moorrees	Erro em termos absolutos de estimação Moorrees	Erro de estimação Demirjian	Erro em termos absolutos de estimação Demirjian	Erro de estimação I3M (incluindo I3M=0)	Erro em termos absolutos de estimação I3M (incluindo I3M=0)	Erro de estimação I3M (regressão sem I3M=0)	Erro em termos absolutos de estimação I3M (regressão sem I3M=0)
Contagem	348	348	348	348	348	348	348	348	348	348
Percentil 25	-14,34965	5,71	-13,80006	6,44	-12,23077	6,05	-19,06068	8,62	-14,55556	7,44
Mínimo	-86,54545	0,29	-86,32653	0,00	-67,55556	0,01	-63,62644	0,01	-67,55556	0,03
Mediana	-2,54545	13,55	-2,16327	13,37	-1,55556	12,99	-2,14952	19,02	-2,97579	14,56
Percentil 75	11,65035	23,45	12,44018	24,00	13,99057	21,56	18,75079	30,75	15,22576	23,69
Máximo	64,43750	86,55	62,94118	86,33	61,04651	67,56	74,73288	74,73	68,32230	68,32
Média	0,00000	16,28	0,00000	16,42	0,00000	15,75	0,00000	21,18	0,00000	17,35
Desvio padrão	20,76412	12,86	20,93507	12,96	20,13067	12,50	26,28029	15,52	21,58981	12,81

Validação do Método de Nolla e de Moorrees na Estimativa da Idade Dentária numa População Portuguesa dos 17 aos 23 anos

			Erro de estimaco Nolla	Erro em termos absolutos de estimaco Nolla	Erro de estimaco Moorrees	Erro em termos absolutos de estimaco Moores	Erro de estimaco Demirjian	Erro em termos absolutos de estimaco Demirjian	Erro de estimaco I3M (incluindo I3M=0)	Erro em termos absolutos de estimaco I3M (incluindo I3M=0)	Erro de estimaco I3M (regresso sem I3M=0)	Erro em termos absolutos de estimaco I3M (regresso sem I3M=0)
Idade superior ou igual a 17 anos	Dos 12 aos 16 anos	Contagem	199	199	199	199	199	199	199	199	199	199
		Percentil 25	-15,07792	4,92	-14,79310	4,44	-16,00943	4,95	-27,57720	8,18	-16,81659	6,95
		Mnimo	-86,54545	0,29	-86,32653	0,00	-67,55556	0,01	-63,62644	0,01	-67,55556	0,03
		Mediana	-5,55319	10,92	-5,80702	10,81	-5,81081	10,63	-13,90705	19,02	-8,79190	12,72
		Percentil 75	3,44681	18,71	3,20690	18,19	3,99057	17,95	1,26320	29,81	-0,77599	19,75
		Mximo	38,44681	86,55	39,19298	86,33	36,99057	67,56	74,73288	74,73	53,14529	67,56
		Mdia	-5,28702	13,03	-5,46070	12,99	-5,47232	13,15	-11,32389	20,85	-7,61012	15,00
		Desvio padro	16,18028	10,92	16,10442	10,94	16,58945	11,47	23,28023	15,30	17,23367	11,36
	Dos 17 aos 23 anos	Contagem	149	149	149	149	149	149	149	149	149	149
		Percentil 25	-9,54545	9,45	-10,32653	9,67	-8,39316	9,23	-1,74921	8,69	-1,89560	9,51
		Mnimo	-42,54545	0,45	-42,32653	0,67	-46,55556	0,23	-26,24921	0,05	-46,55556	0,31
		Mediana	9,45455	18,55	9,00000	18,33	10,44444	16,32	12,75079	18,92	12,66791	18,58
		Percentil 75	25,45455	32,45	26,44000	32,00	23,44444	28,50	33,02425	33,02	24,50252	29,87
		Mximo	64,43750	64,44	62,94118	62,94	61,04651	61,05	56,48839	56,49	68,32230	68,32
		Mdia	7,49312	20,88	7,73927	21,27	7,35805	19,26	15,22605	21,63	10,23253	20,52
		Desvio padro	24,04866	13,99	24,34502	14,05	22,09299	13,01	22,10475	15,85	22,65543	13,96

Testes de Normalidade						
	Kolmogorov-Smirnov ^a			Shapiro-Wilk		
	Estatstica	gl	Sig.	Estatstica	gl	Sig.
Erro de estimaco Nolla	0,059	336	0,007	0,987	336	0,004
Erro de estimaco Moorrees	0,064	336	0,002	0,985	336	0,001
Erro de estimaco Demirjian	0,049	336	0,049	0,991	336	0,032
Erro de estimaco I3M (incluindo I3M=0)	0,061	336	0,005	0,985	336	0,002
Erro de estimaco I3M (regresso sem I3M=0)	0,067	336	0,001	0,990	336	0,021

a. Correlaco de Significncia de Lilliefors

assificaes Assinadas por Wilcoxon

Estatsticas de teste ^a							
	Erro de estimaco I3M (incluindo I3M=0) - Erro de estimaco Nolla	Erro de estimaco I3M (incluindo I3M=0) - Erro de estimaco Moores	Erro de estimaco I3M (incluindo I3M=0) - Erro de estimaco Demirjian	Erro de estimaco I3M (regresso sem I3M=0) - Erro de estimaco Nolla	Erro de estimaco I3M (regresso sem I3M=0) - Erro de estimaco Moorrees	Erro de estimaco I3M (regresso sem I3M=0) - Erro de estimaco Demirjian	Erro de estimaco I3M (regresso sem I3M=0) - Erro de estimaco I3M (incluindo I3M=0)
Z	-.446 ^b	-.474 ^b	-.191 ^b	-3,358 ^b	-3,581 ^b	-.403 ^b	-.819 ^b
Significncia Sig. (bilateral)	0,656	0,636	0,849	0,001	0,000	0,687	0,413

a. Teste de Classificaes Assinadas por Wilcoxon

b. Com base em postos positivos.

Testes de Normalidade							
Idade superior ou igual a 17 anos		Kolmogorov-Smirnov ^a			Shapiro-Wilk		
		Estatstica	gl	Sig.	Estatstica	gl	Sig.
Erro de estimaco Nolla	Dos 12 aos 16 anos	0,051	197	,200 [*]	0,965	197	0,000
	Dos 17 aos 23 anos	0,050	139	,200 [*]	0,985	139	0,141
Erro de estimaco Moorrees	Dos 12 aos 16 anos	0,057	197	,200 [*]	0,965	197	0,000
	Dos 17 aos 23 anos	0,049	139	,200 [*]	0,984	139	0,113
Erro de estimaco Demirjian	Dos 12 aos 16 anos	0,065	197	0,044	0,968	197	0,000
	Dos 17 aos 23 anos	0,054	139	,200 [*]	0,989	139	0,363
Erro de estimaco I3M (incluindo I3M=0)	Dos 12 aos 16 anos	0,062	197	0,067	0,964	197	0,000
	Dos 17 aos 23 anos	0,069	139	,200 [*]	0,967	139	0,002
Erro de estimaco I3M (regresso sem I3M=0)	Dos 12 aos 16 anos	0,108	197	0,000	0,965	197	0,000
	Dos 17 aos 23 anos	0,063	139	,200 [*]	0,985	139	0,146

*. Este  um limite inferior da significncia verdadeira.

a. Correlaco de Significncia de Lilliefors

Validação do Método de Nolla e de Moorrees na Estimativa da Idade Dentária numa População Portuguesa dos 17 aos 23 anos

Classificações Assinadas por Wilcoxon

Estatísticas de teste ^a								
Idade superior ou igual a 17 anos		Erro de estimação I3M (incluindo I3M=0) - Erro de estimação Nolla	Erro de estimação I3M (incluindo I3M=0) - Erro de estimação Moorees	Erro de estimação I3M (incluindo I3M=0) - Erro de estimação Demirjian	Erro de estimação I3M (regressão sem I3M=0) - Erro de estimação Nolla	Erro de estimação I3M (regressão sem I3M=0) - Erro de estimação Moorees	Erro de estimação I3M (regressão sem I3M=0) - Erro de estimação Demirjian	Erro de estimação I3M (regressão sem I3M=0) - Erro de estimação I3M (incluindo I3M=0)
Dos 12 aos 16 anos	Z	-5,055 ^b	-5,263 ^b	-5,404 ^b	-3,629 ^b	-3,761 ^b	-3,766 ^b	-4,894 ^c
	Significância Sig. (bilateral)	0,000	0,000	0,000	0,000	0,000	0,000	0,000
Dos 17 aos 23 anos	Z	-5,611 ^c	-5,851 ^c	-5,820 ^c	-,897 ^b	-,965 ^b	-4,410 ^c	-4,992 ^b
	Significância Sig. (bilateral)	0,000	0,000	0,000	0,370	0,335	0,000	0,000

a. Teste de Classificações Assinadas por Wilcoxon

b. Com base em postos positivos.

c. Com base em postos negativos.

Teste-T

Teste de amostras emparelhadas										
Idade superior ou igual a 17 anos			Diferenças emparelhadas					t	df	Sig. (2 extremidades)
			Média	Erro Desvio	Erro padrão da média	95% Intervalo de Confiança da Diferença				
						Inferior	Superior			
Dos 12 aos 16 anos	Par 1	Erro de estimação Nolla - Erro de estimação I3M (incluindo I3M=0)	6,30644030	19,01186249	1,35453912	3,63509787	8,97778273	4,656	196	0,000
	Par 2	Erro de estimação Moorees - Erro de estimação I3M (incluindo I3M=0)	6,13276092	18,41159142	1,31177157	3,54576213	8,71975972	4,675	196	0,000
	Par 3	Erro de estimação Demirjian - Erro de estimação I3M (incluindo I3M=0)	5,85157734	17,42875816	1,23549191	3,41516570	8,28798898	4,736	198	0,000
	Par 4	Erro de estimação Nolla - Erro de estimação I3M (regressão sem I3M=0)	2,45002811	12,13317867	0,86445319	0,74520435	4,15485187	2,834	196	0,005
	Par 5	Erro de estimação Moorees - Erro de estimação I3M (regressão sem I3M=0)	2,27634873	11,64748459	0,82984892	0,63976948	3,91292799	2,743	196	0,007
	Par 6	Erro de estimação Demirjian - Erro de estimação I3M (regressão sem I3M=0)	2,13780538	10,42810201	0,73922855	0,68003375	3,59557700	2,892	198	0,004
	Par 7	Erro de estimação I3M (incluindo I3M=0) - Erro de estimação I3M (regressão sem I3M=0)	-3,71377196	9,81839415	0,69600751	-5,08631093	-2,34123299	-5,336	198	0,000
Dos 17 aos 23 anos	Par 1	Erro de estimação Nolla - Erro de estimação I3M (incluindo I3M=0)	-7,34827130	16,82384082	1,42697955	-10,16984303	-4,52669957	-5,150	138	0,000
	Par 2	Erro de estimação Moorees - Erro de estimação I3M (incluindo I3M=0)	-7,10212139	16,70069635	1,41653458	-9,90304023	-4,30120256	-5,014	138	0,000
	Par 3	Erro de estimação Demirjian - Erro de estimação I3M (incluindo I3M=0)	-7,86799926	16,32053735	1,34153991	-10,51919511	-5,21680341	-5,865	147	0,000
	Par 4	Erro de estimação Nolla - Erro de estimação I3M (regressão sem I3M=0)	-2,50494435	18,50718278	1,56975876	-5,60883390	0,59894520	-1,596	138	0,113
	Par 5	Erro de estimação Moorees - Erro de estimação I3M (regressão sem I3M=0)	-2,25879444	18,73924072	1,58944165	-5,40160305	0,88401417	-1,421	138	0,158
	Par 6	Erro de estimação Demirjian - Erro de estimação I3M (regressão sem I3M=0)	-2,87448155	7,48334841	0,61512745	-4,09011691	-1,65884620	-4,673	147	0,000
	Par 7	Erro de estimação I3M (incluindo I3M=0) - Erro de estimação I3M (regressão sem I3M=0)	4,99351771	18,83805593	1,54847866	1,93336260	8,05367281	3,225	147	0,002